

Università degli Studi di Trieste Dipartimento di Ingegneria e Architettura Corso di Laurea Triennale in Ingegneria Industriale

Macchine Elettriche

Anno accademico 2021-2022

A. Tessarolo

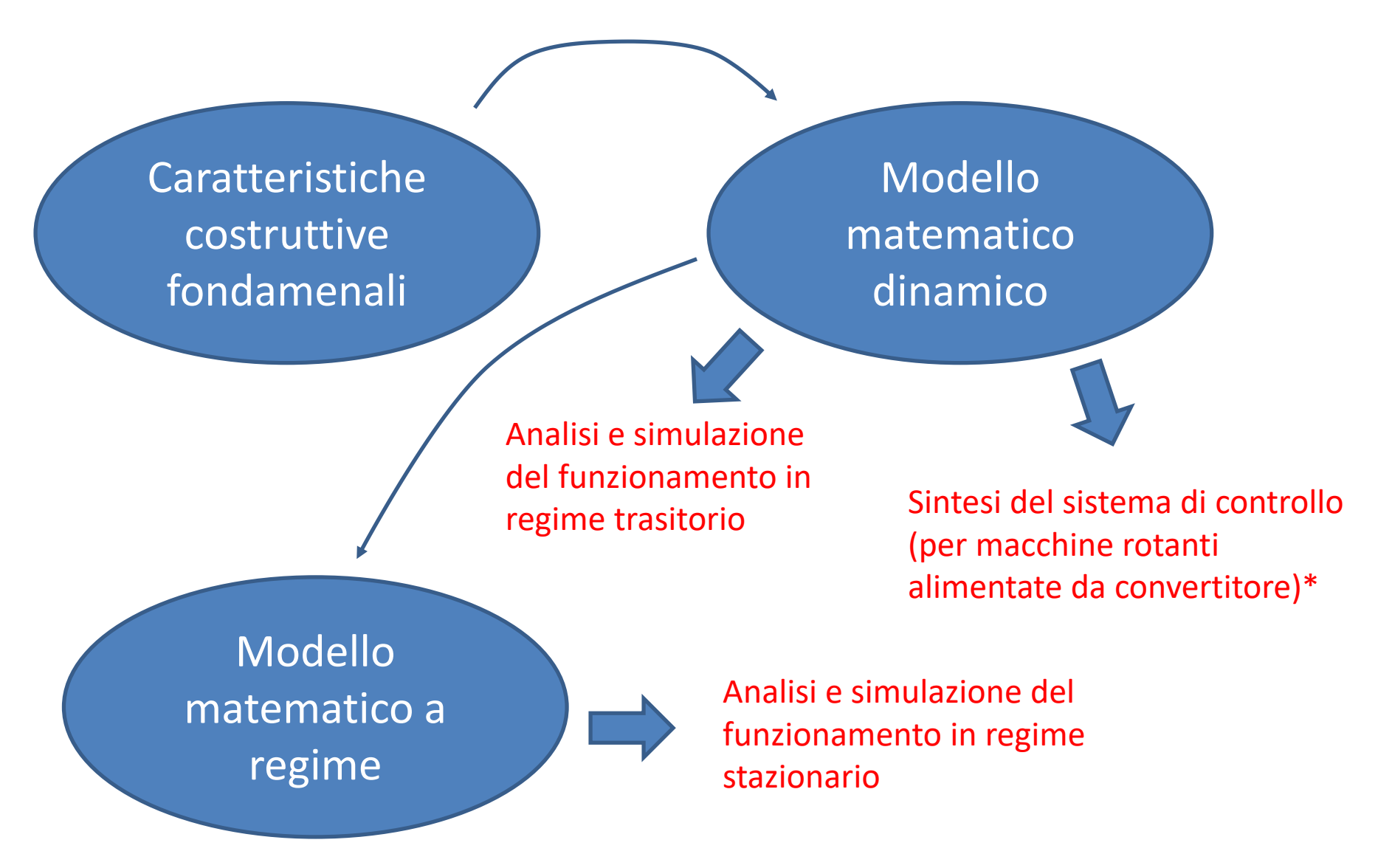
Tipi di macchine trattati nel corso

- Trasformatori
- Macchine a corrente continua
- Macchine asincrone
- Macchine sincrone con rotore avvolto
- Macchine sincrone a magneti permanenti
- Macchine a riluttanza
- Macchine speciali

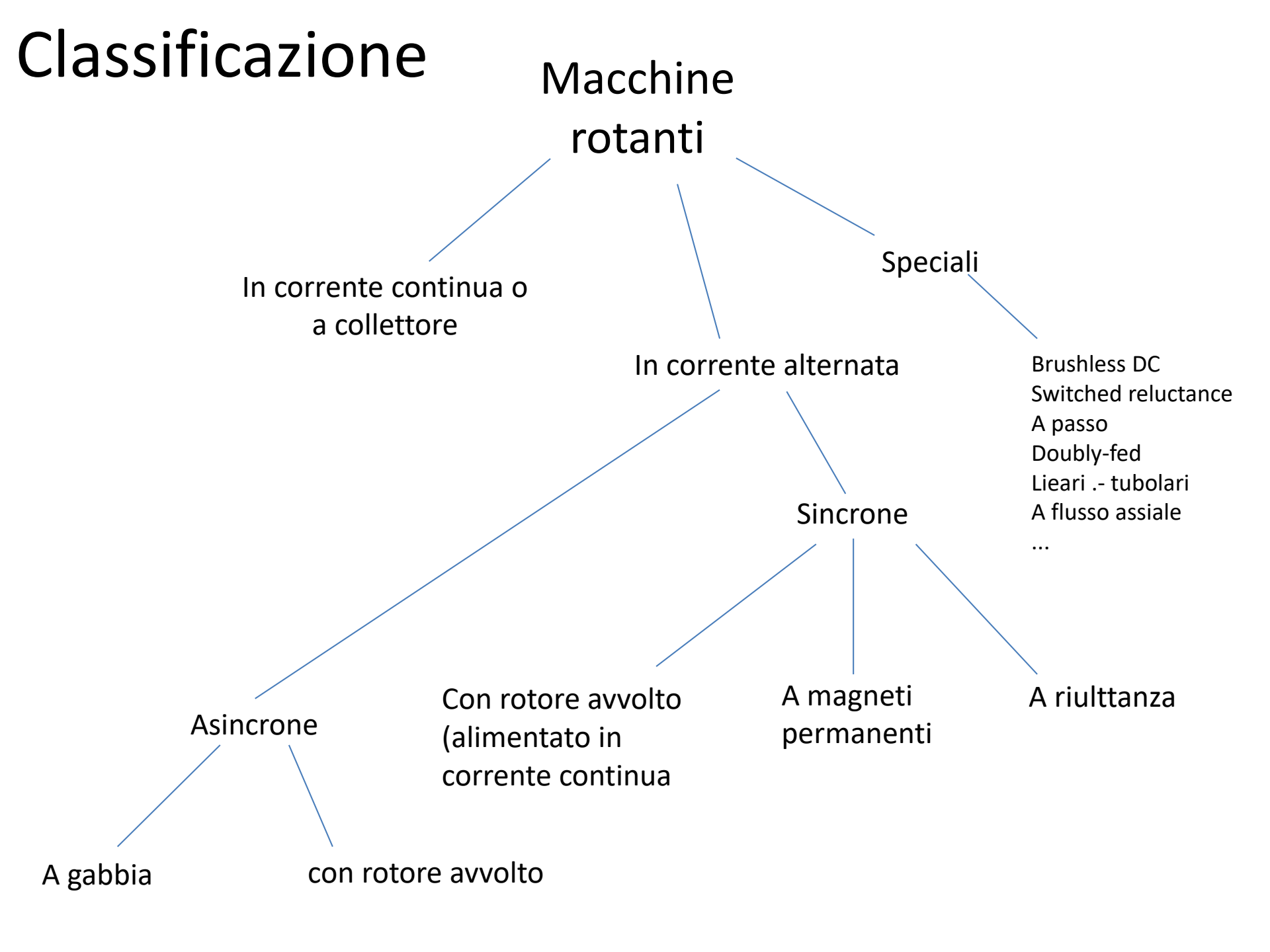
Macchine elettriche rotanti

Motori brushless-DC, motori e generatori switched reluctance, motori a passo, motori e generatori asincroni «doubly-fed», motori e generatori lineari e tubolari, a flusso assiale, ecc.

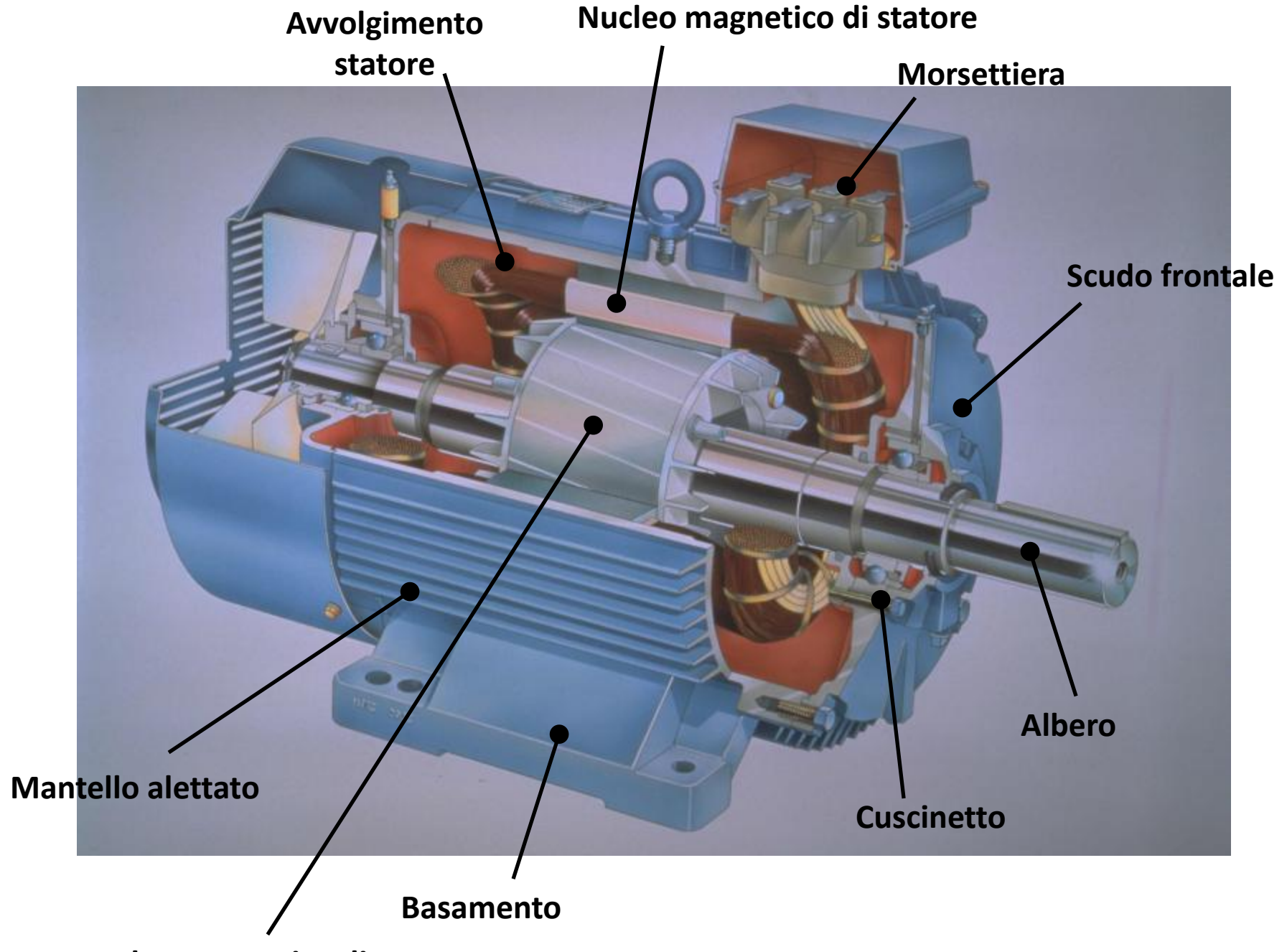
Per ogni tipologia di macchine elettriche



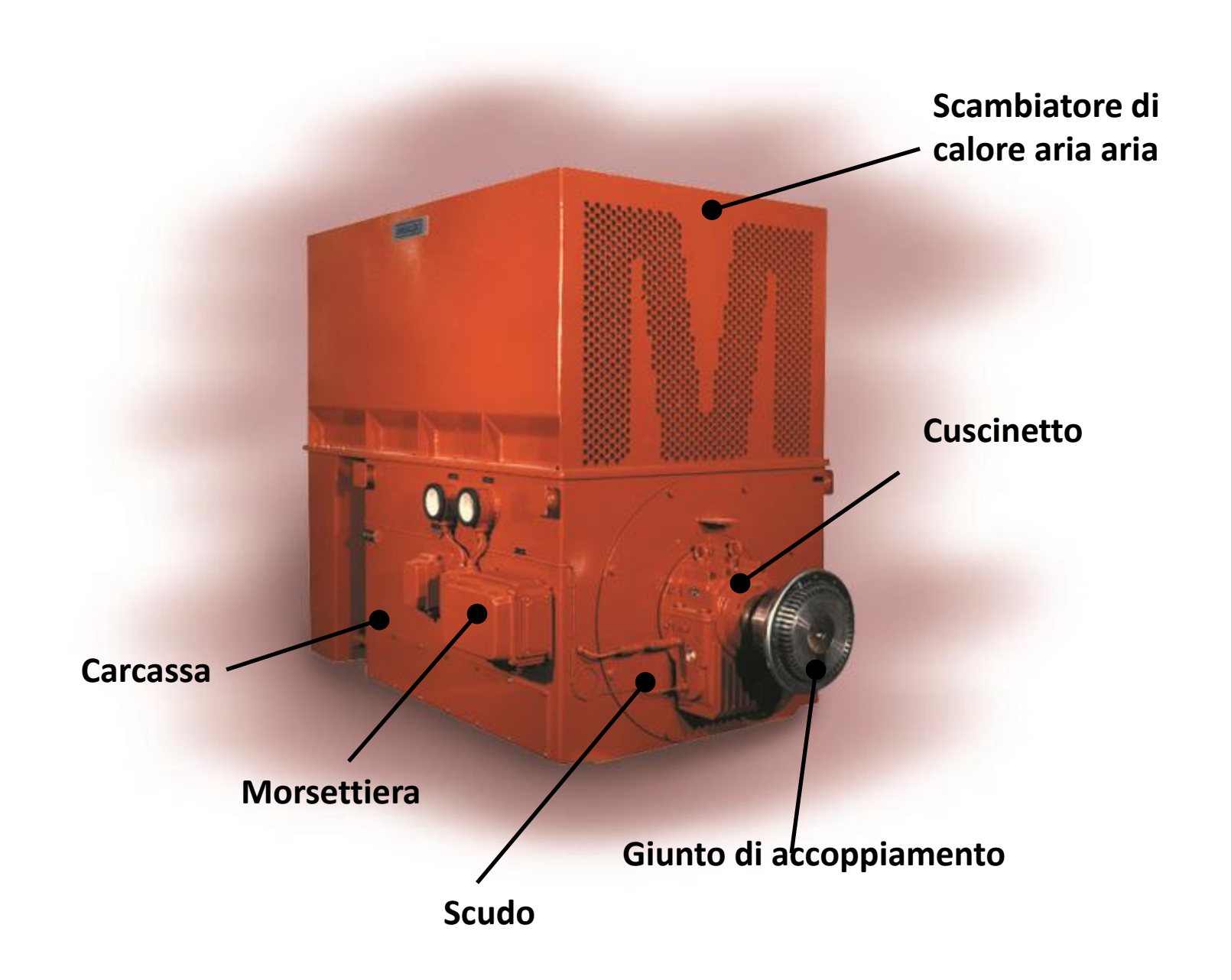
^{*} Corso automatica e azionamenti elettrici



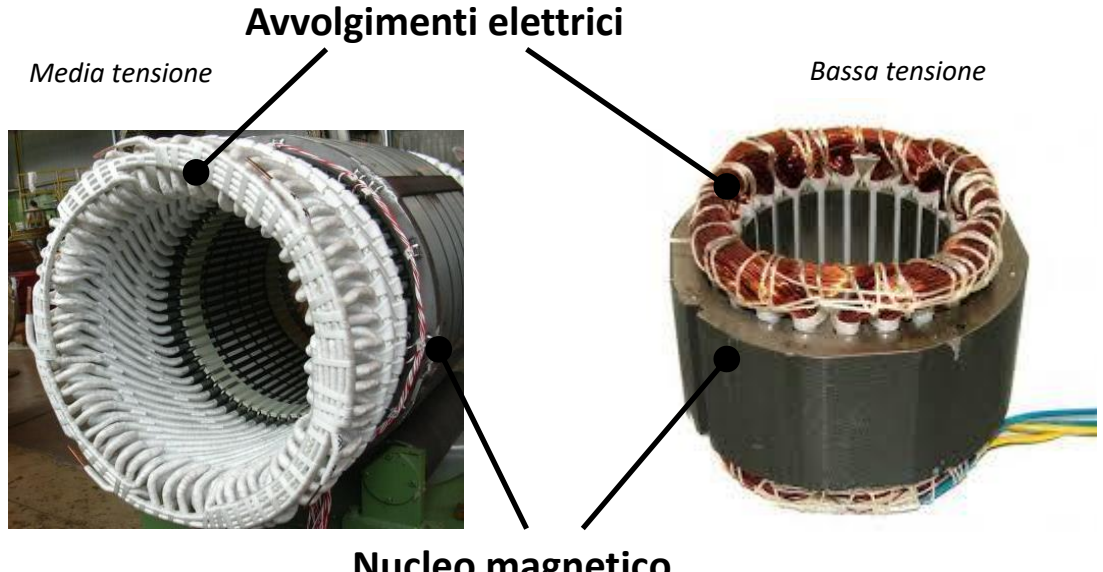
«Carcassa» o «cassa» o involucro con sistema di raffreddamento (es. alette, scambiatore di calore), morsettiera, basamento, scudo con cuscinetti «parti attive» Nucleo magnetico **Statore** Sedi di Avvolgimenti elettrici correnti Macchina elettriche e flussi rotante magnetici utili Nucleo magnetico **Rotore** Altro a seconda del tipo di macchina **Albero** Magneti Avvolgimento di campo Barriere di flusso Cuscinetti Gabbia Avvolgimento di armatura



Nucleo magnetico di rotore



Statori di macchine rotanti in corrente alternata



Tipicamente avvolgimenti elettrici trifase alimentati in corrente alternata

Nucleo magnetico

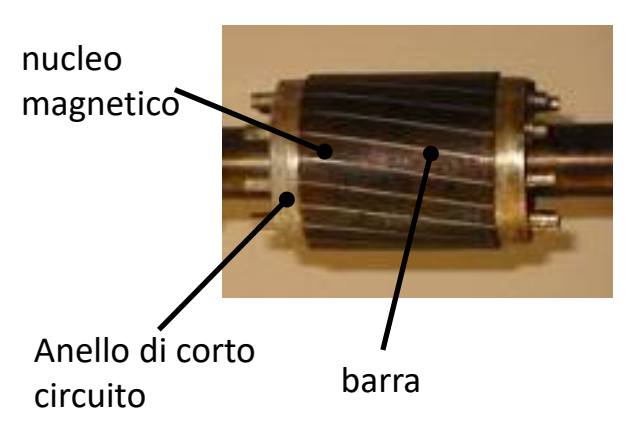
Statore di macchine rotanti in corrente continua

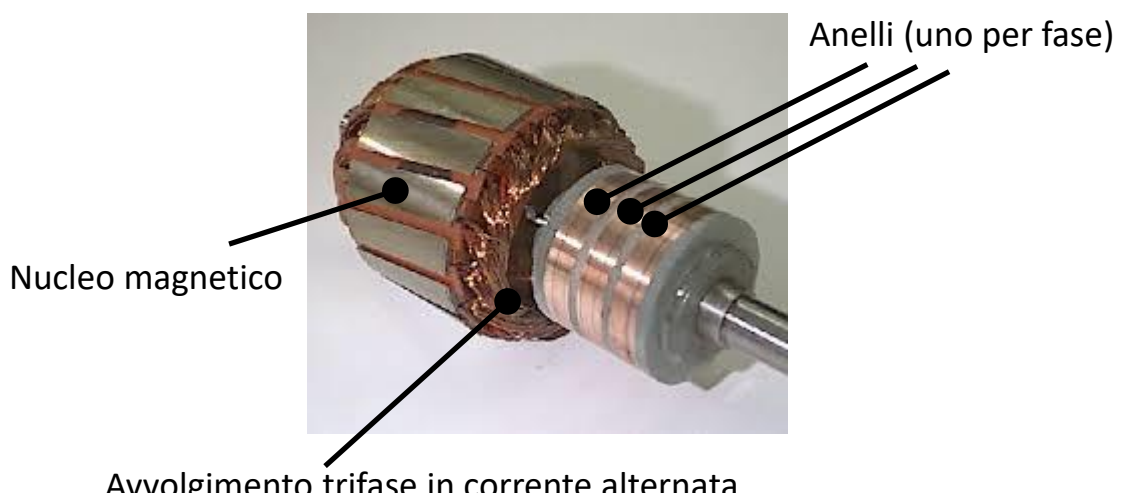


Rotori

Rotore di macchina asincrona a gabbia

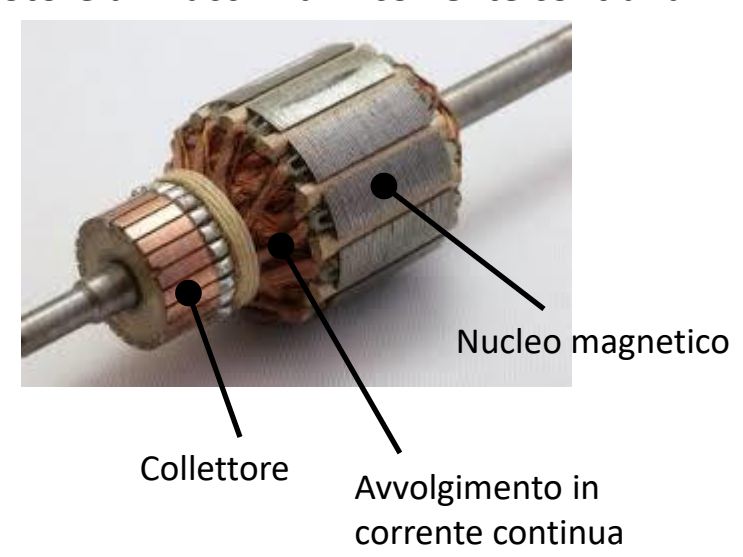
Rotore di macchina asincrona a rotore avvolto



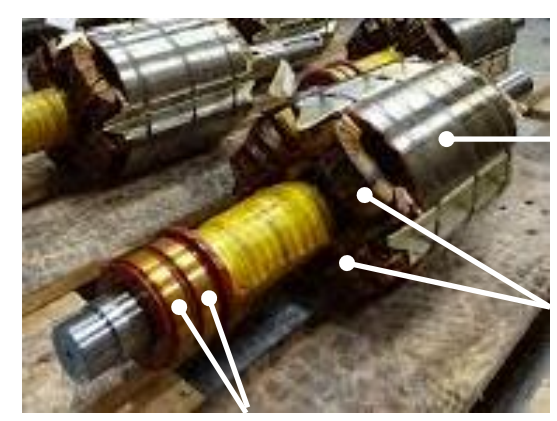


Avvolgimento trifase in corrente alternata

Rotore di macchina in corrente contiuna



Rotore avvolto di macchina sincrona

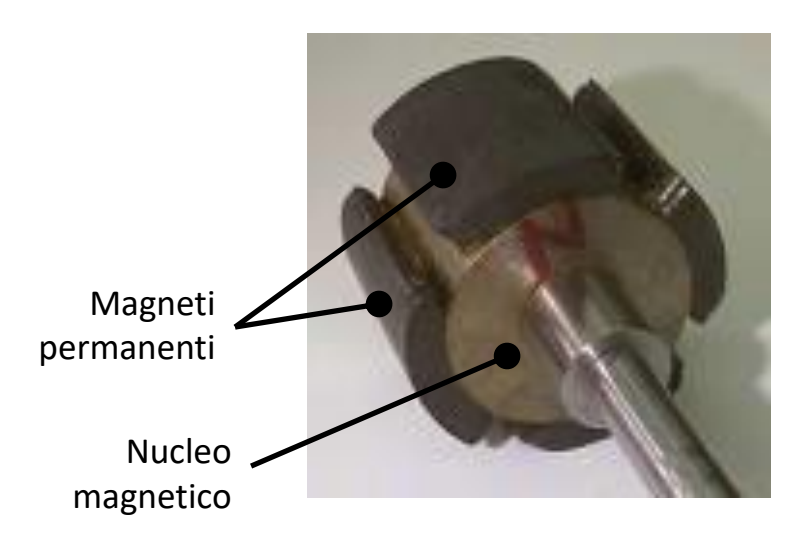


Anelli di alimentazione

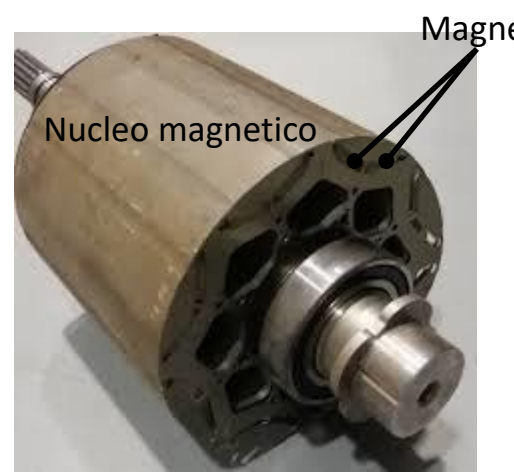
Nucleo magnetico

Avvolgimento di rotore in corrente continua

Rotore di macchina sincrona a magneti permanenti superficiali

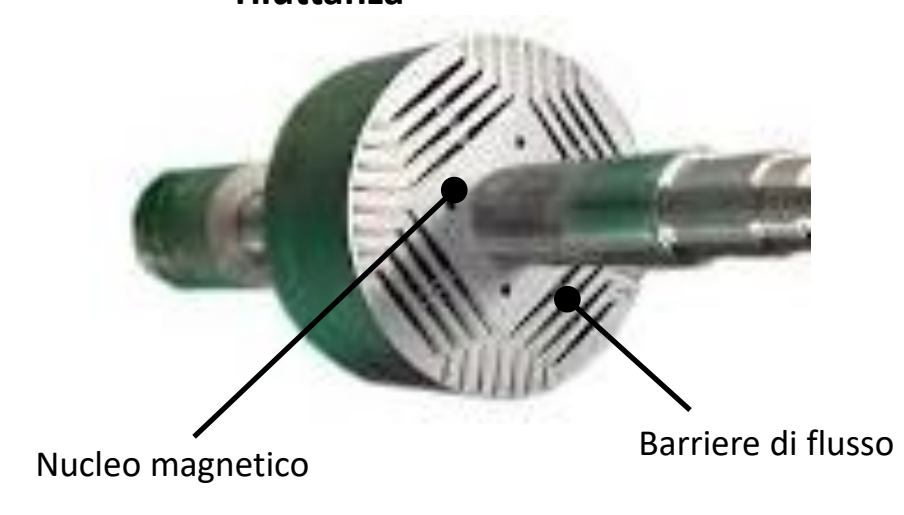


Rotore di macchina sincrona a magneti permanenti interni



Magneti permanenti

Rotore di macchina sincrona a riluttanza



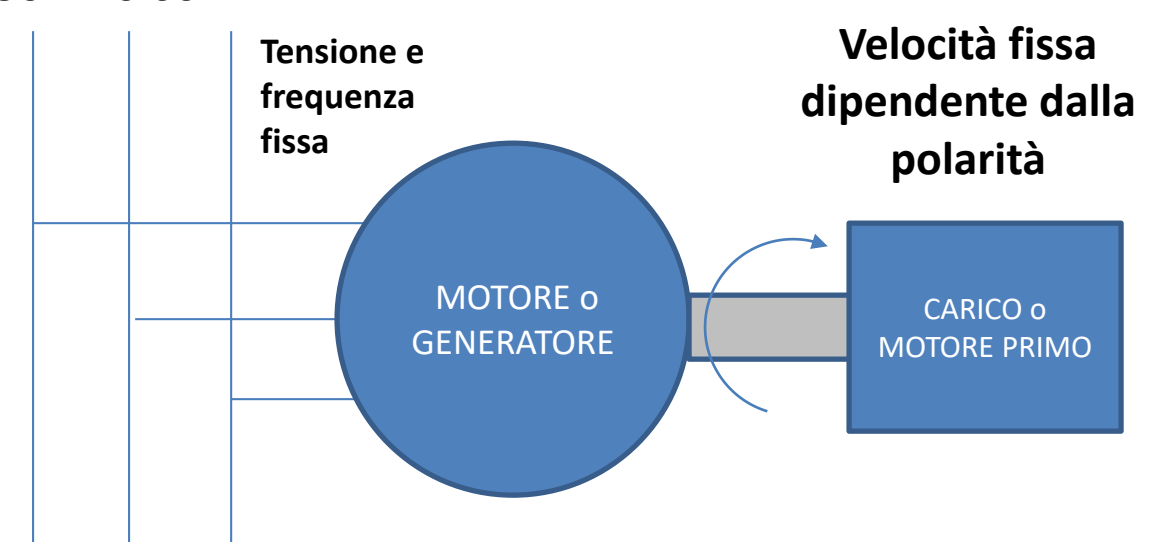
Definzione di regime stazionario

(A meno delle armoniche....)

Macchine rotanti		Trasformatori
In corrente alternata	In corrente continua	
Correnti sinusoidali di ampiezza e frequenza costante nei circuiti in correte alternata	Correnti continue costanti in tutti i circuiti di macchina	Correnti sinusoidali di ampiezza e frequenza costante nei circuiti in correte alternata
Correnti continue costanti nei circuiti in corrente continua		
Velocità di rotazione costante	Velocità di rotazione costante	

50 Hz o 60 Hz

MACCHINE AC UN TEMPO

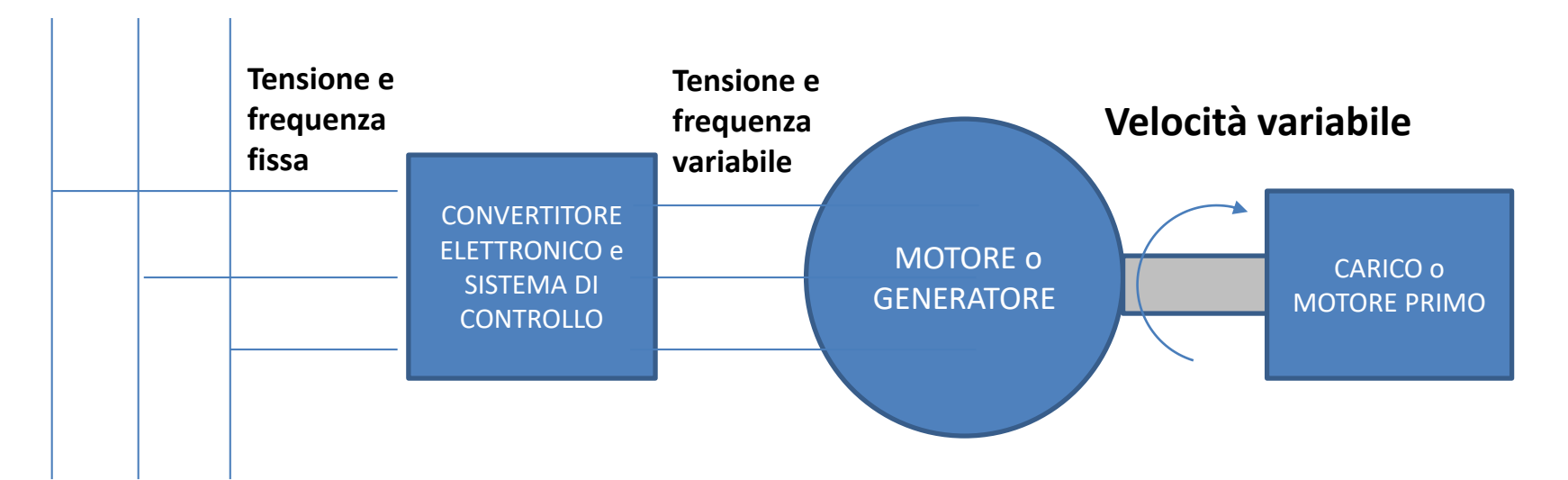


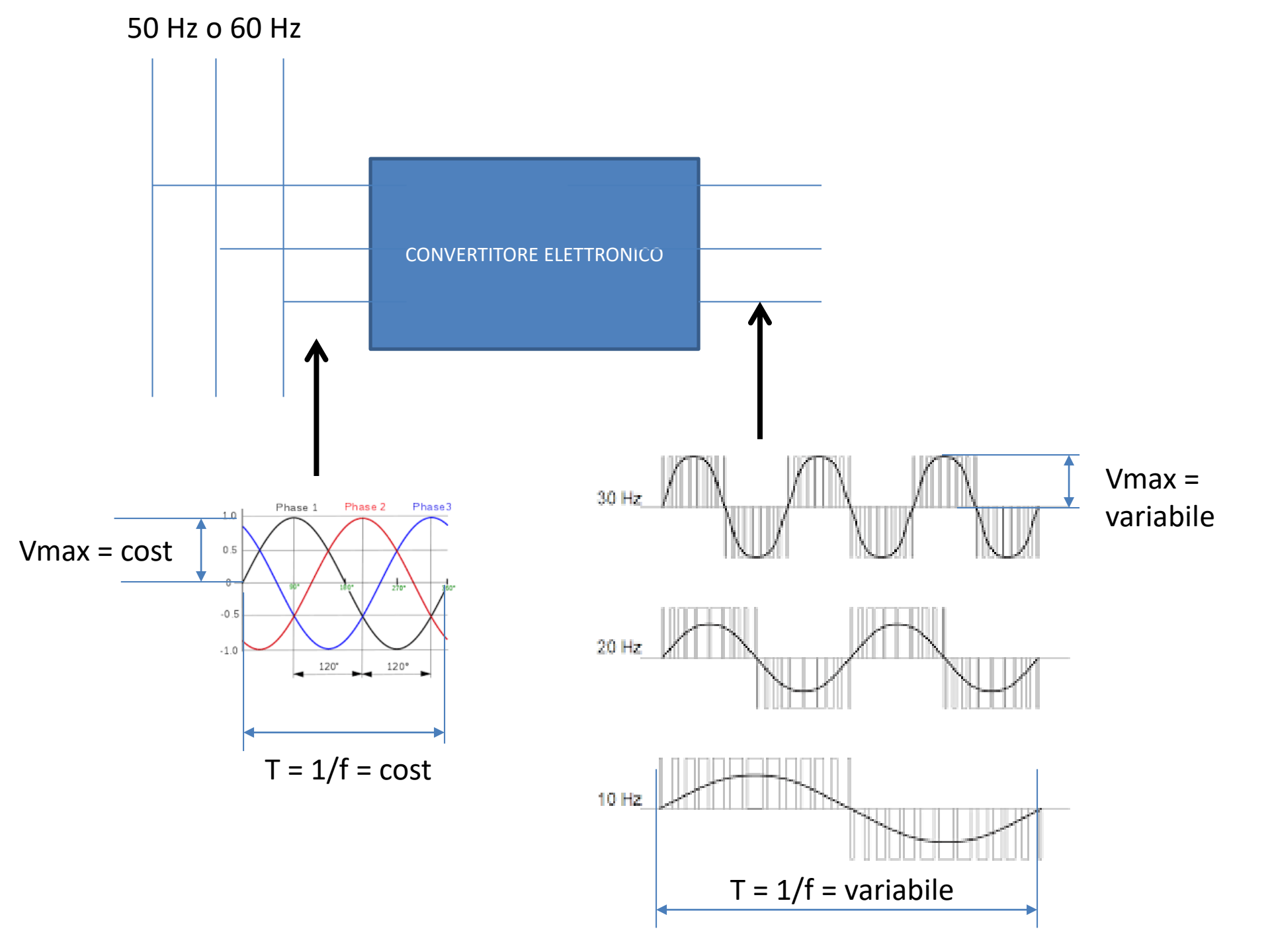
PER AVERE VELOCITA'
VARIABILE SI DOVEVA
RICORRERE ALLA
MACCHIA DC

MACCHINE AC OGGI

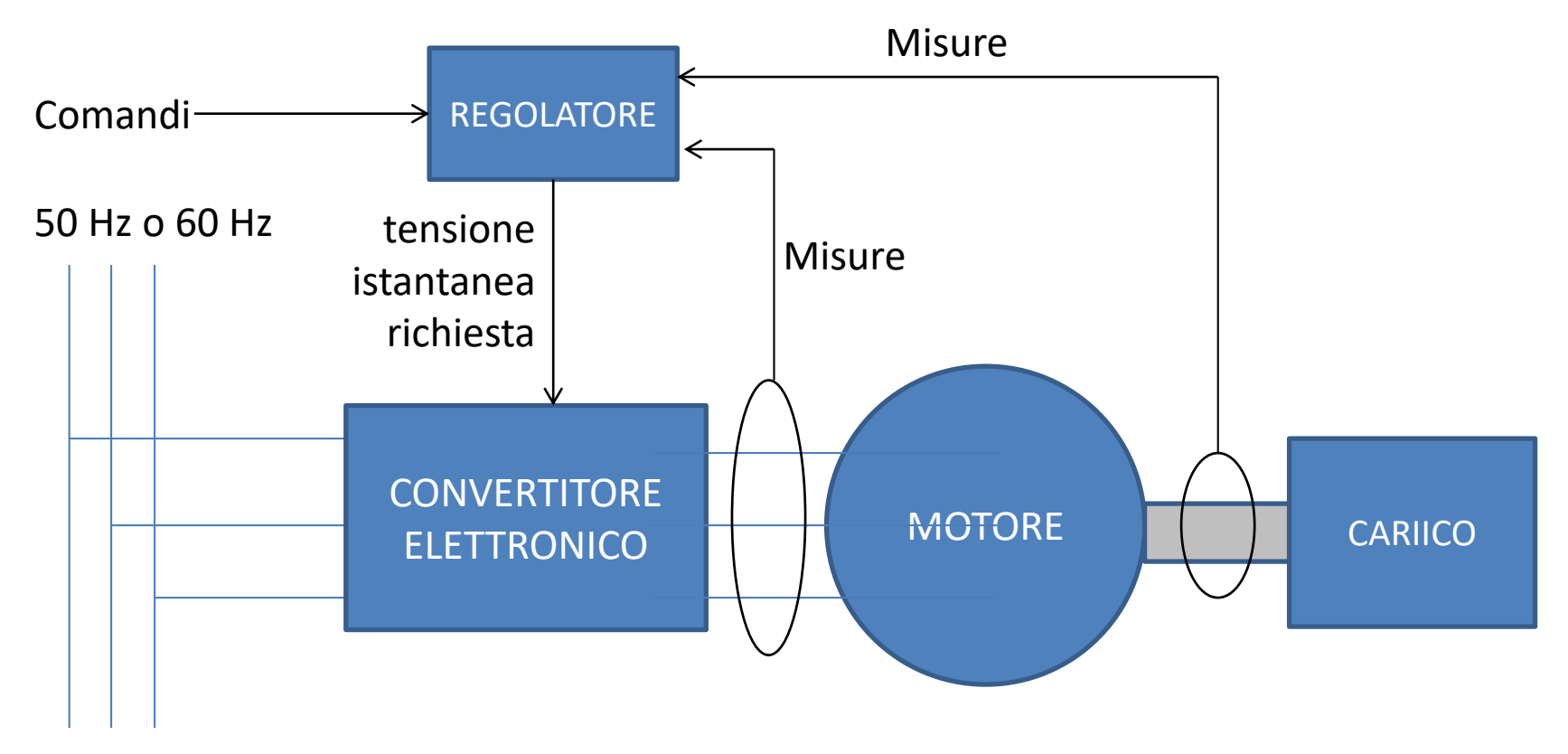
50 Hz o 60 Hz

QUESTA CONFIGURAZIONE STA SOPPIANTANDO LE MACCHINE DC





Il motore elettrico oggi è, in generale, parte di un AZIONAMENTO A VELOCITA' VARIABILE



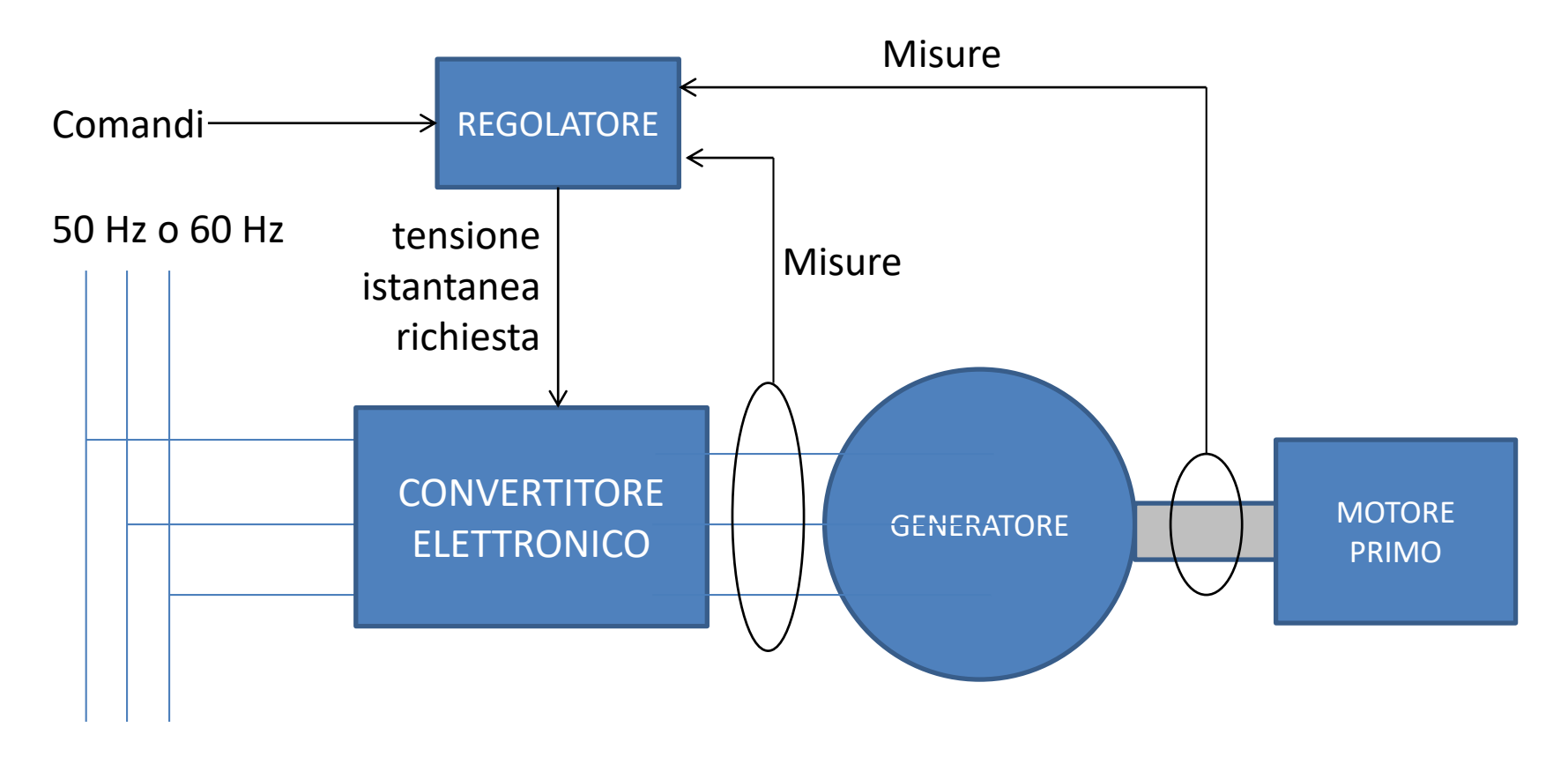
Le MISURE sono, ad esempio e tipicamente: FLUSSI, TENSIONI ATTUALI E CORRENTI

I COMANDI sono impostati dall'esterno e sono ad esempio e tipicamente: VELOCITA' DESIDERATA e FLUSSO DESIDERATO

Il regolatore è un apparato elettronico che implementa algoritmi in grado di decidere, ad ogni istante, la tensione di alimentazione che il convertitore deve generare allo scopo di raggiungere, in tempi accettabili e senza errore a regime, i comandi di velocità e di flusso.

Per progettare o parametrizzare correttamente gli algoritmi implementati dal regolatore serve conoscere il modello dinamico della macchina.

Lo stesso vale, spesso, anche per i generatori, che oggi sono, in molti casi (si pensi alla generazione eolica o idro-elettrica) a velocità variabile.



Il generatore ruota a velocità variabile e genera tensione a frequenza variabile. Il convetitore trasmette la potenza generata alla rete a frequenza fissa.

Il tutto per fare in modo che il motore primo (turbina a gas, turbina eolica, turbina idraulica, ecc.) lavori sempre in prossimità del suo punto di massima potenza o efficienza (MPPT, Maximum Power Point Traxking).

Il COMANDI in questo caso sono, tipicamente, la potenza da generare e la velocità di rotazione.

Dominio fisico



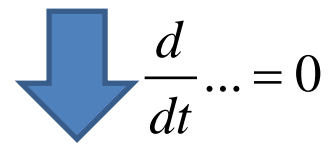
Motore o generatore

<u>Dominio astratto</u> (modellizzazione)

MODELLO DINAMICO

Equazioni differenziali che governano il

funzionamento della macchina, cioè che legano correnti, tensioni, flussi, coppia e velocità



MODELLO STAZIONARIO

Equazioni algebriche che

governano il funzionamento della macchina in regime stazionario <u>Dominio dell'analisi e del</u> <u>controllo</u>

Progetto del REGOLATORE per il controllo

Simulazione del comportamento della macchina nei transitori

Analisi e del comportamento della macchina in condizioni stazionarie

Dominio fisico



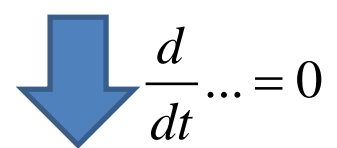
Motore o generatore

Parti coperte dal corso di Macchine Elettriche <u>Dominio astratto</u> (modellizzazione)

MODELLO DINAMICO

Equazioni differenziali che governano il

funzionamento della macchina, cioè che legano correnti, tensioni, flussi, coppia e velocità



MODELLO STAZIONARIO

Equazioni algebriche che governano il funzionamento della macchina in regime

stazionario

<u>Dominio dell'analisi e</u> del controllo

> <u>Progetto</u> del REGOLATORE per il controllo

Simulazione del comportamento della macchina nei transitori

Analisi e del comportamento della macchina in condizioni stazionarie

Dominio fisico



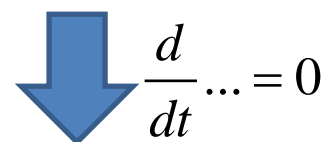
Motore o generatore

<u>Dominio astratto</u> (modellizzazione)

MODELLO DINAMICO

Equazioni differenziali

che governano il funzionamento della macchina, cioà che legano correnti, tensioni, flussi, coppia e velocità



MODELLO STAZIONARIO

Equazioni algebriche che

governano il funzionamento della macchina in regime stazionario <u>Dominio dell'analisi e del</u> <u>controllo</u>

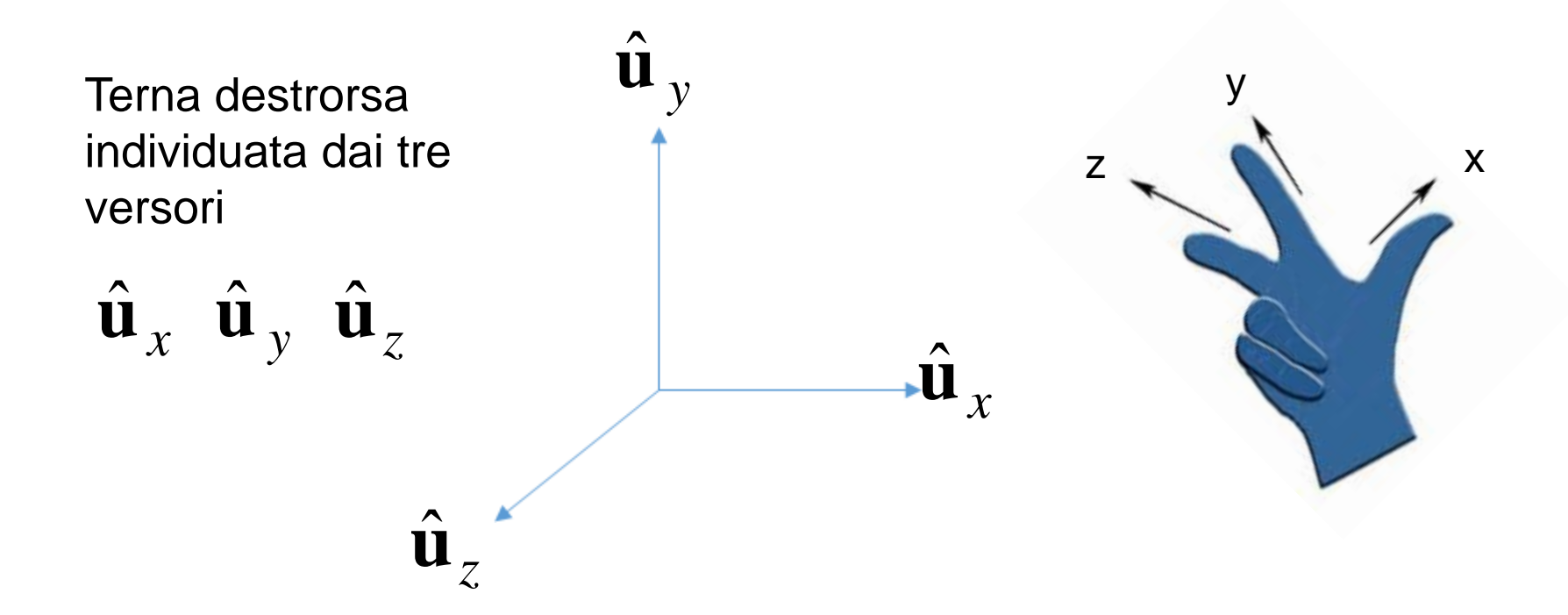
> Automatica Azionamenti Elettrici

<u>Progetto</u> del REGOLATORE per il controllo

Simulazione del comportamento della macchina nei transitori

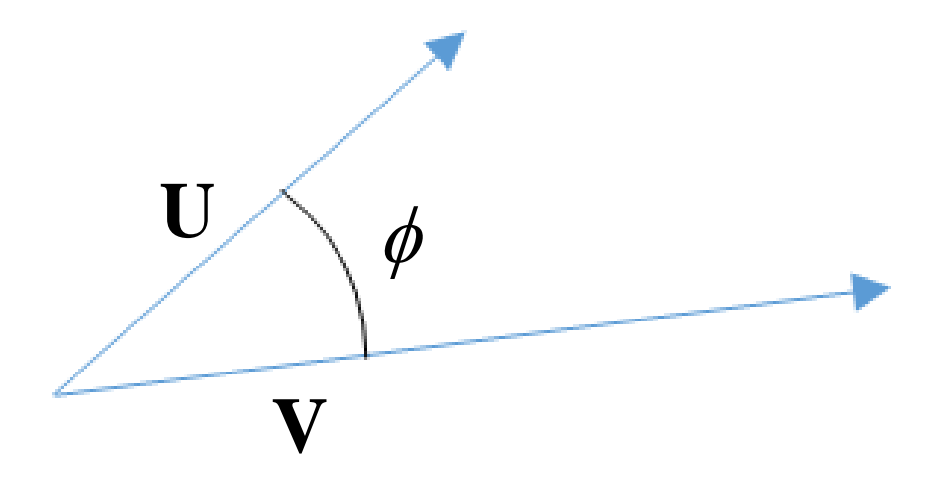
Analisi e del comportamento della macchina in condizioni stazionarie

RICHIAMI DI ELETTROMAGNETISMO



Prodotto scalare di due vettori **U** e **V**:

$$\mathbf{U} \bullet \mathbf{V} = \begin{pmatrix} U_x \\ U_y \\ U_z \end{pmatrix} \bullet \begin{pmatrix} V_x & V_y & V_z \end{pmatrix} = U_x V_x + U_y V_y + U_z V_z$$



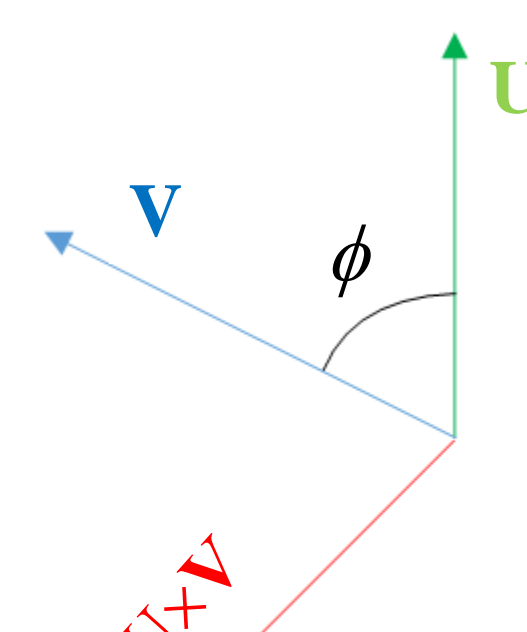
Il prodotto scalare di due vettori **U** e **V** è anche uguale al prodotto dei loro moduli per il coseno dell'angolo tra essi compreso.

$$\mathbf{U} \bullet \mathbf{V} = \|\mathbf{U}\| \|\mathbf{V}\| \cos \phi$$

Prodotto vettoriale di due vettori **U** e **V**:

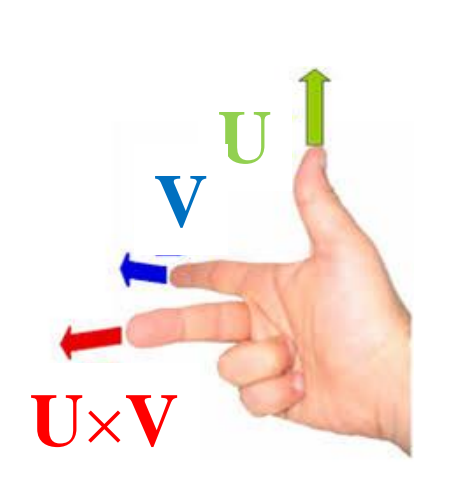
$$\mathbf{U} \times \mathbf{V} = \det \begin{pmatrix} \hat{\mathbf{u}}_{x} & \hat{\mathbf{u}}_{y} & \hat{\mathbf{u}}_{z} \\ U_{x} & U_{y} & U_{z} \\ V_{x} & V_{y} & V_{z} \end{pmatrix} =$$

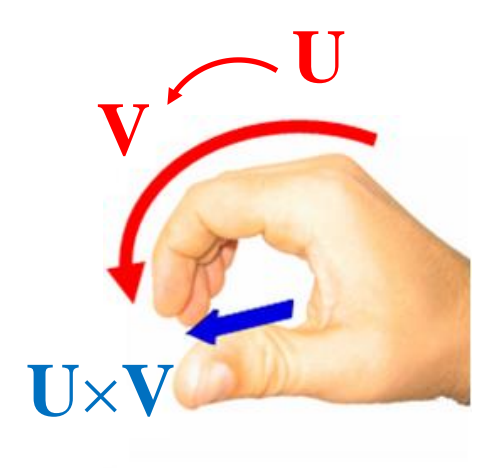
$$= \hat{\mathbf{u}}_{x} \left(U_{y} V_{z} - U_{z} V_{y} \right) - \hat{\mathbf{u}}_{y} \left(U_{x} V_{z} - U_{z} V_{x} \right) + \hat{\mathbf{u}}_{z} \left(U_{x} V_{y} - U_{y} V_{x} \right)$$



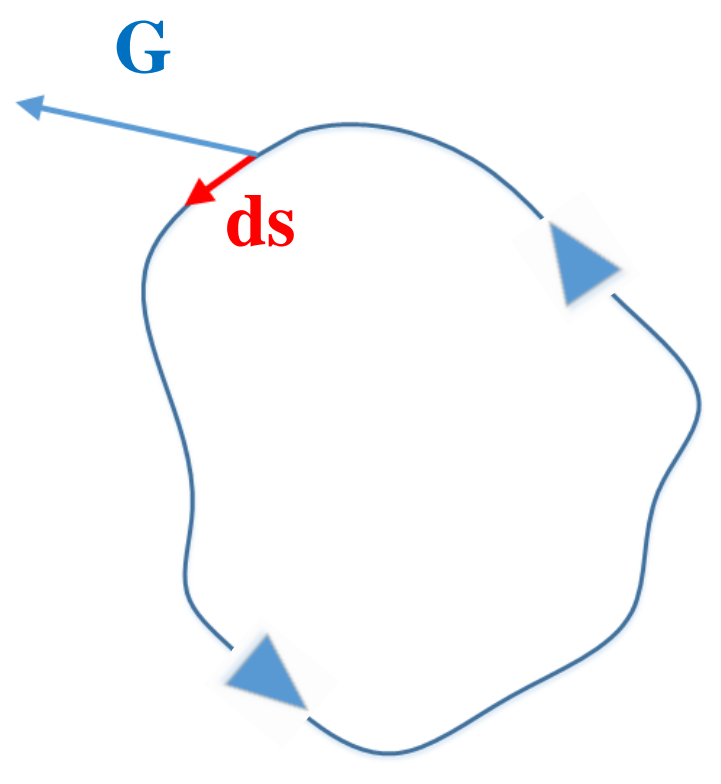
Il prodotto vettoriale ha come modulo il prodotto dei moduli per il seno dell'angolo compreso

$$\|\mathbf{U} \times \mathbf{V}\| = \|\mathbf{U}\| \|\mathbf{V}\| |\sin \phi|$$

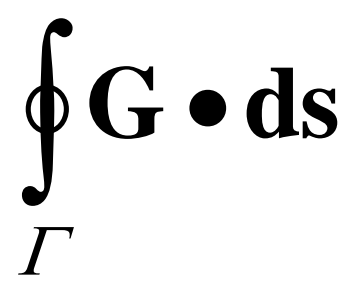




Circuitazione di un campo vettoriale **G** lungo una curva chiusa:

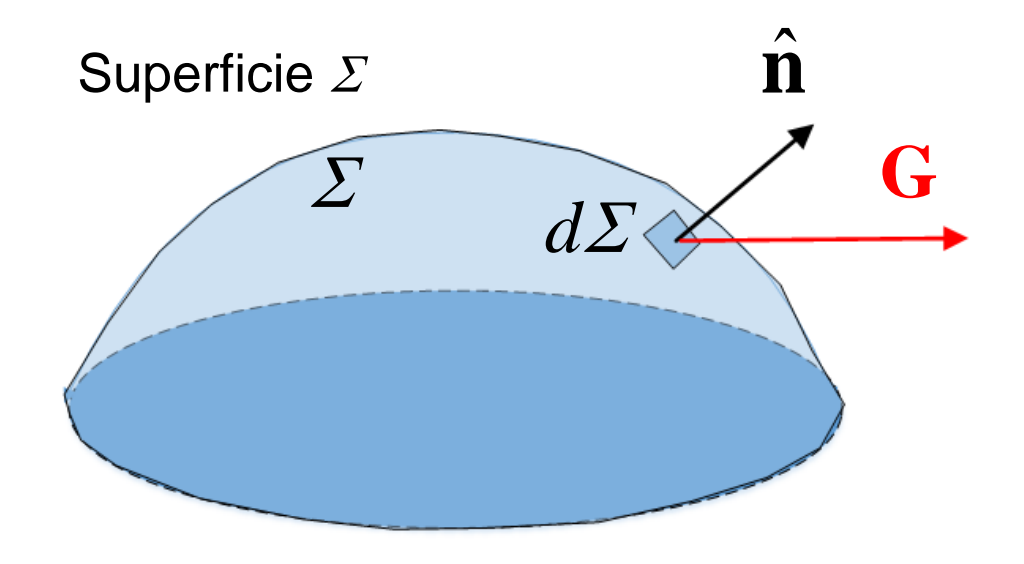


Curva chiusa Γ con orientazione



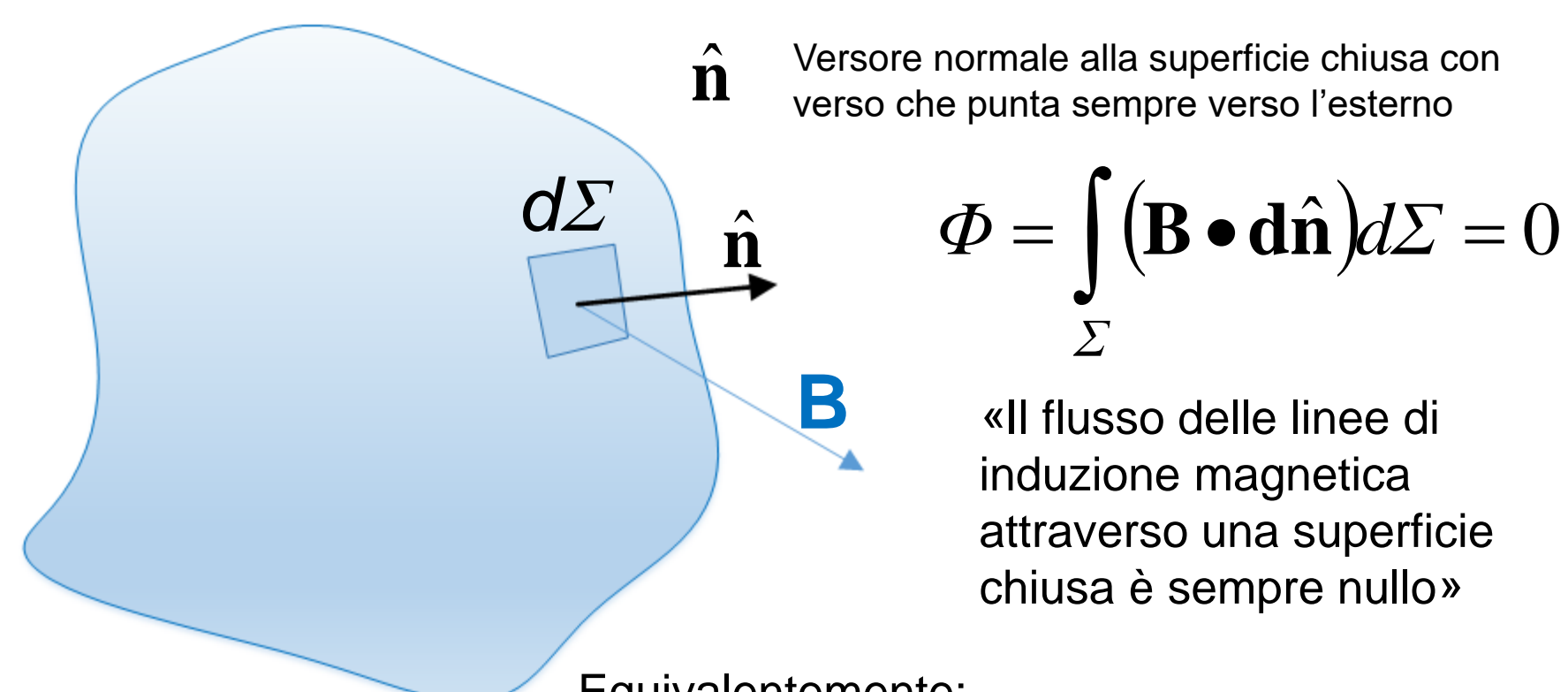
(cambiando l'orientazione, la circuitazione cambia segno)

Flusso di un campo vettoriale **G** attraverso una superficie



$$\boldsymbol{\varPhi} = \int_{\Sigma} (\mathbf{G} \bullet \hat{\mathbf{n}}) d\Sigma$$

Flusso dell'induzione magnetica dell'induzione magnetica attraverso una superficie chiusa. «Solenoidalità» di **B**



Equivalentemente:

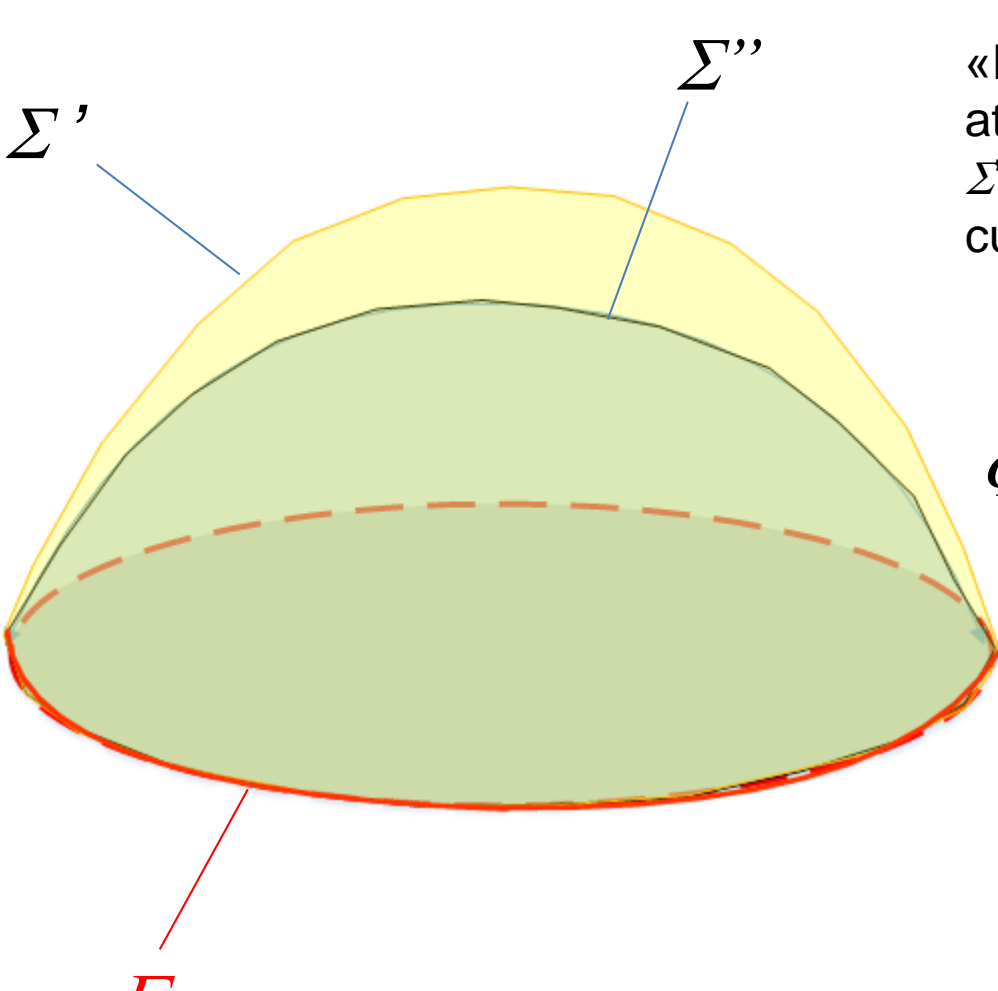
«Il campo di induzione magnetica è solenoidale»

26

Equivalentemente:

«le linee di campo dell'induzione magnetica sono sempre linee chiuse, cioè senza un principio (source) e senza una fine (sink)».

Flusso dell'induzione magnetica attraverso una superficie. Flusso concatenato da una curva chiusa



«Il flusso dell'induzione magnetica attraverso tutte le superfici (come Σ ' e Σ ') che hanno per contorno la stessa curva chiusa Γ è lo stesso».

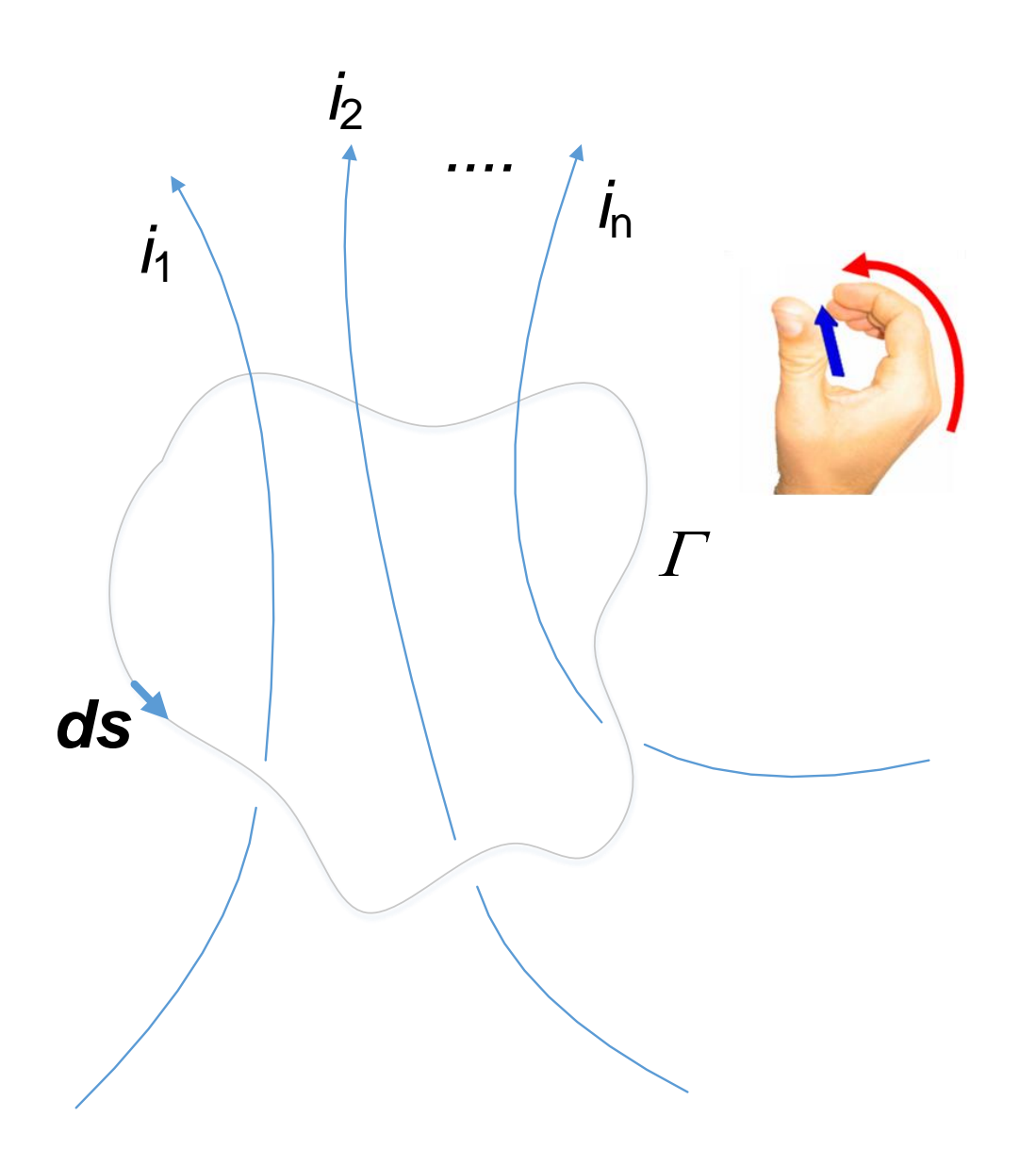
$$\boldsymbol{\varPhi} = \int_{\Sigma'} \mathbf{B} \bullet \hat{\mathbf{n}} d\Sigma = \int_{\Sigma''} \mathbf{B} \bullet \hat{\mathbf{n}} d\Sigma$$

«Il flusso F si definisce come flusso concatenato dalla curva Γ ».

Infatti, l'unione di Σ ' e Σ " è una superficie chiusa (a patto che il versore di Σ ") sia preso con segno opposto.

$$\int_{\Sigma' \cup \Sigma''} \mathbf{B} \cdot \hat{\mathbf{n}} d\Sigma = \int_{\Sigma'} \mathbf{B} \cdot \hat{\mathbf{n}}' d\Sigma + \int_{\Sigma''} \mathbf{B} \cdot (-\hat{\mathbf{n}}'') d\Sigma = \int_{\Sigma'} \mathbf{B} \cdot \hat{\mathbf{n}}' d\Sigma - \int_{\Sigma''} \mathbf{B} \cdot \hat{\mathbf{n}}'' d\Sigma = 0$$

Teorema della circuitazione di Ampere

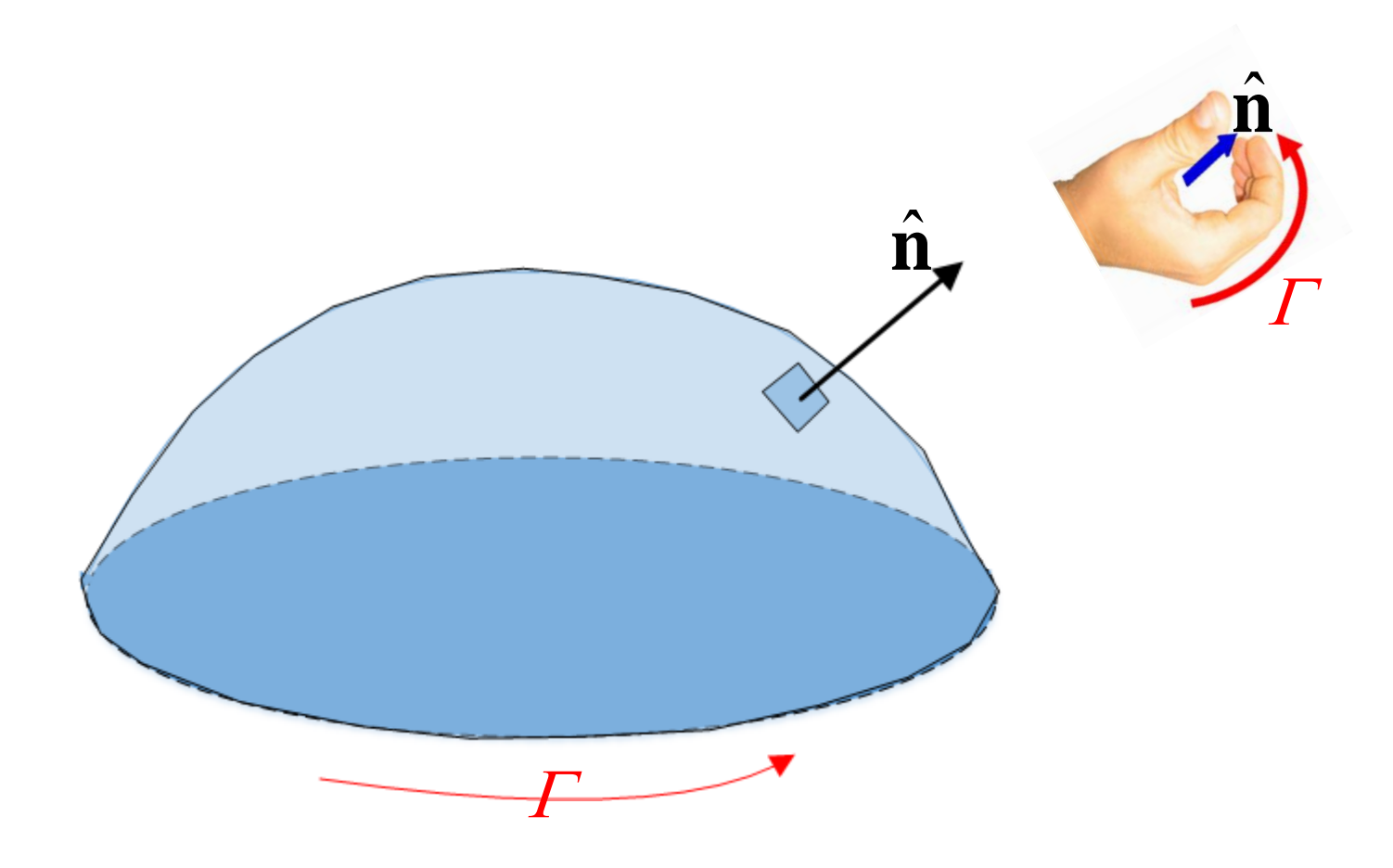


$$\oint_{\Gamma} \mathbf{H} \cdot \mathbf{ds} = \sum_{k=1,2...n} i_{n}$$

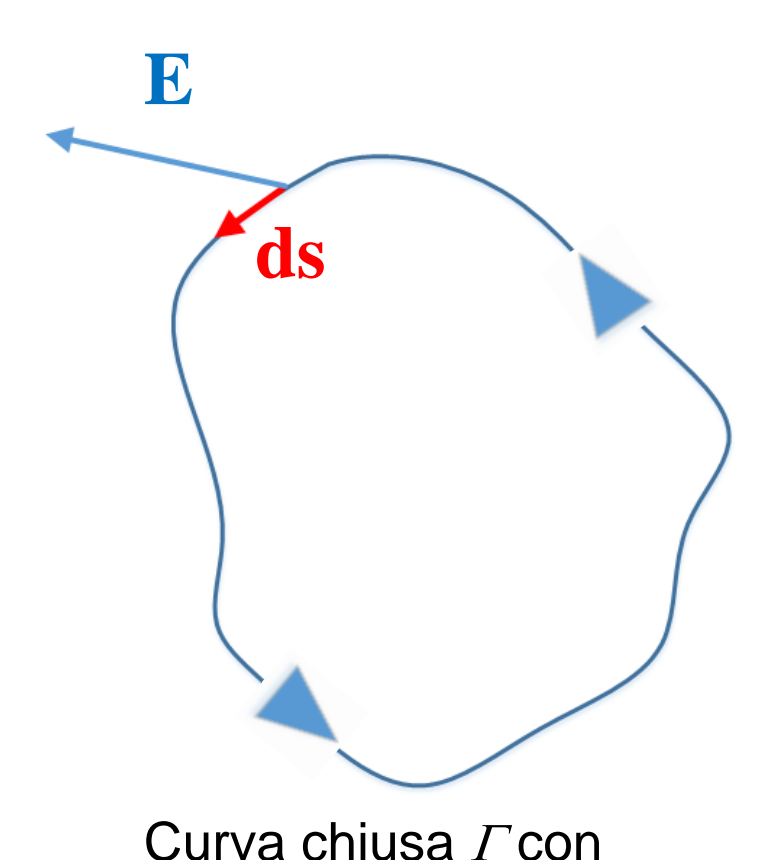
«La circuitazione del campo magnetico \mathbf{H} lungo una curva chiusa Γ è uguale alla corrente concatenata da Γ ».

Il verso delle correnti va preso positivo o negativo in base alla regola della mano destra considerando il senso di percorrenza della curva Γ .

Per convenzione, il verso della curva Γ e il verso del versore normale alla superficie sono legati dalla regola della mano destra.



Forza elettromotrice lungo una curva chiusa

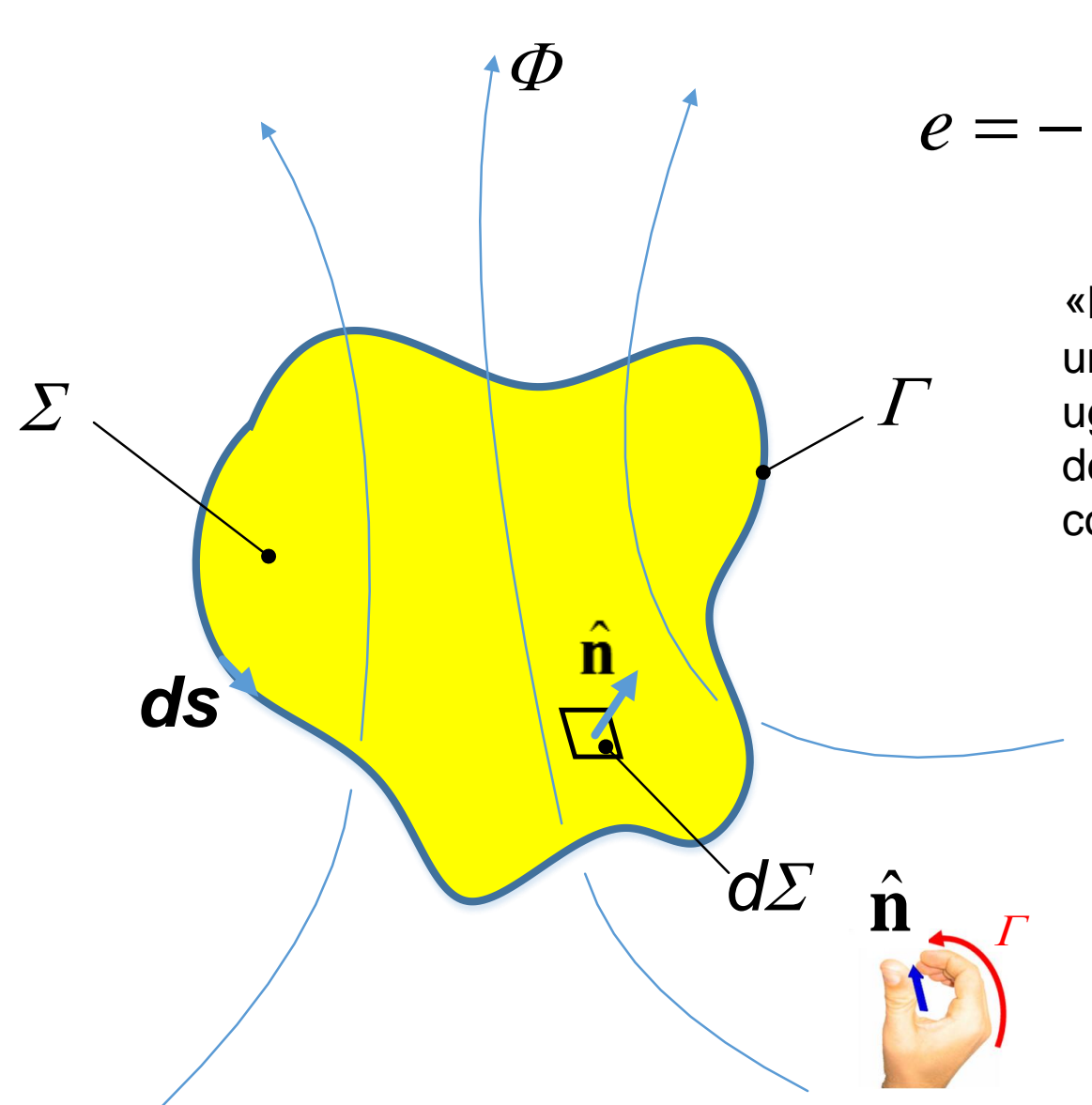


orientazione

$$e = \oint \mathbf{E} \cdot \mathbf{ds}$$

«La forza elettromotrice lungo una curva chiusa (circuito) Γ è la circuitazione del campo elettrico lungo Γ ».

Legge di Faraday - Lenz



$$e = -\frac{d\Phi}{dt}$$

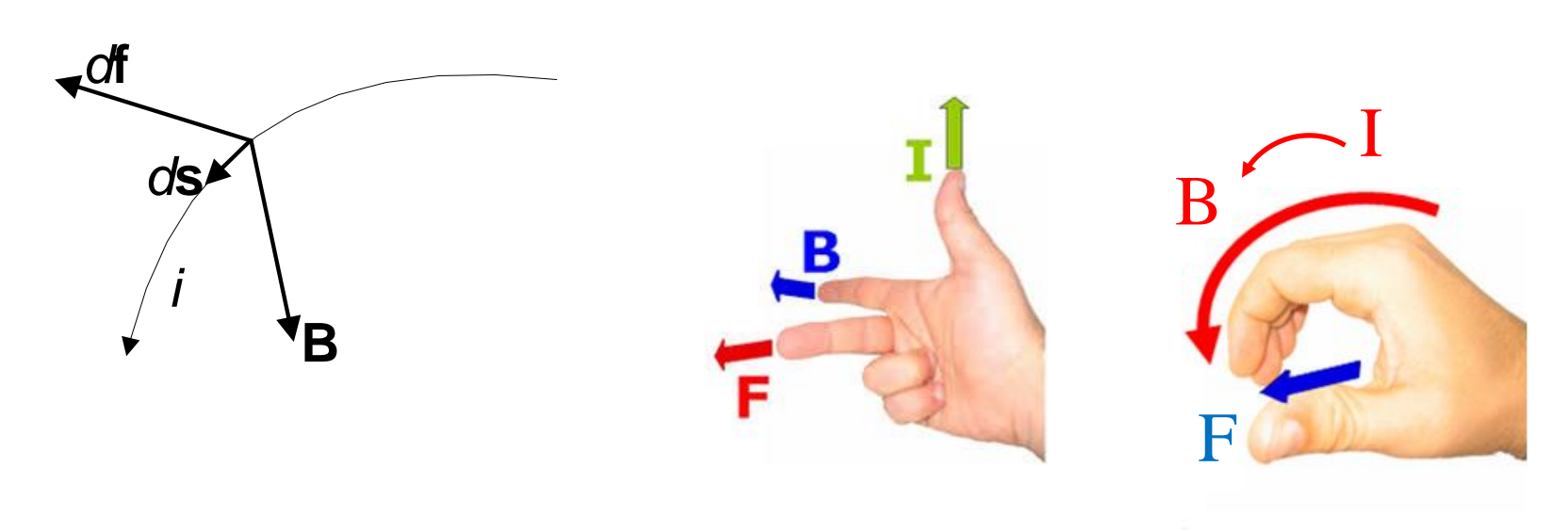
f.e.m. indotta

«La forza elettromotrice lungo una curva chiusa (circuito) Γ è uguale alla derivata nel tempo del flusso magnetico concatenato da Γ ».

$$\boldsymbol{\varPhi} = \int_{\Sigma} (\mathbf{B} \bullet \mathbf{d}\hat{\mathbf{n}}) d\Sigma$$

Il flusso concatenato Φ va preso con il segno derivante dalla legge della mano destra in base all'orientazione della curva Γ .

Legge di Lorentz

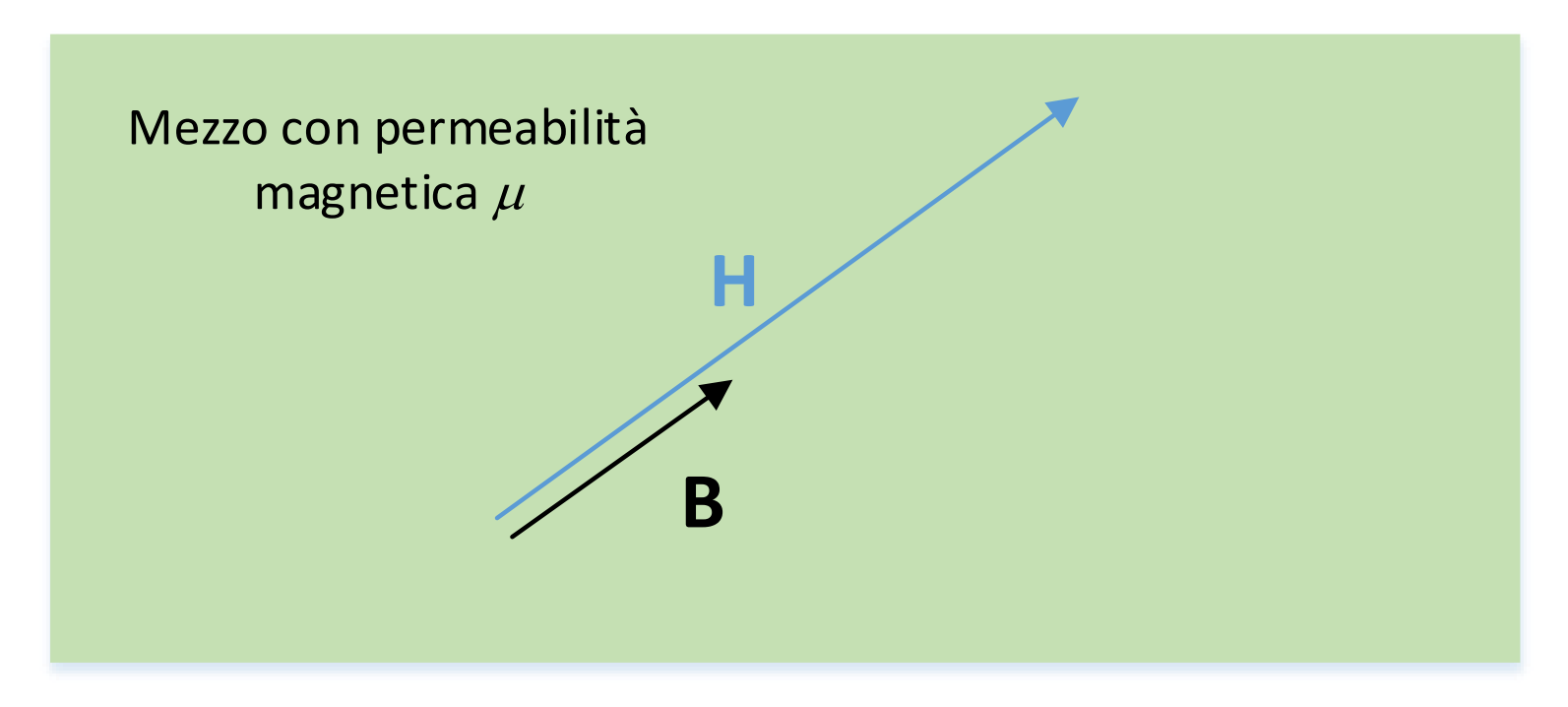


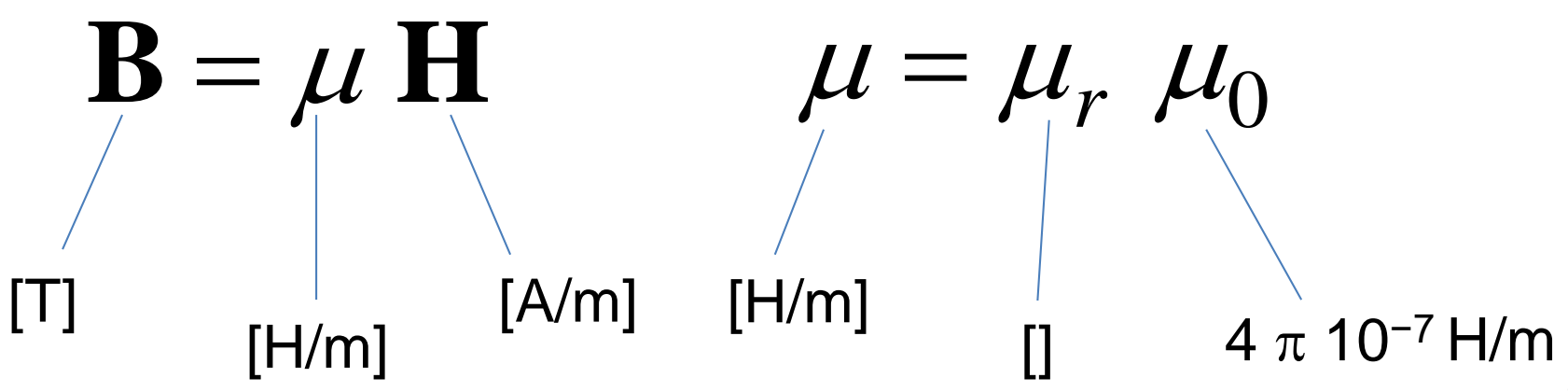
La forza agente su un conduttore elementare di lunghezza *d*s percorso dalla corrente *l* e immerso in un campo di induzione magnetica **B** è data da:

$$\mathbf{df} = i \, \mathbf{ds} \times \mathbf{B}$$

dove il verso e la direzione di **ds** sono quelli della corrente che attraversa il conduttore.

Campo magnetico e induzione magnetica



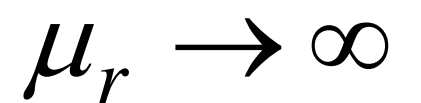


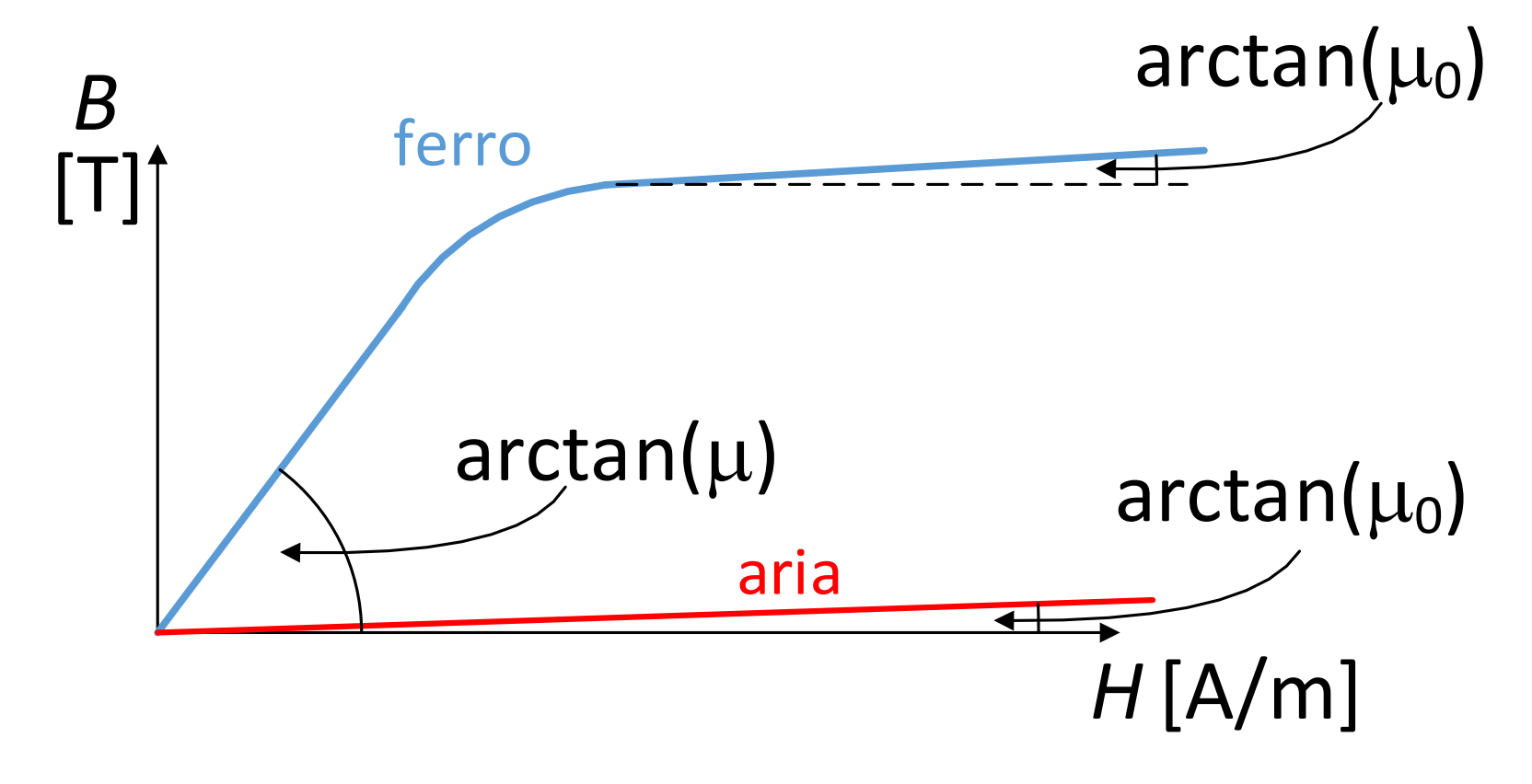
$$\mu = \mu_0$$

$$\mu_r = 1$$

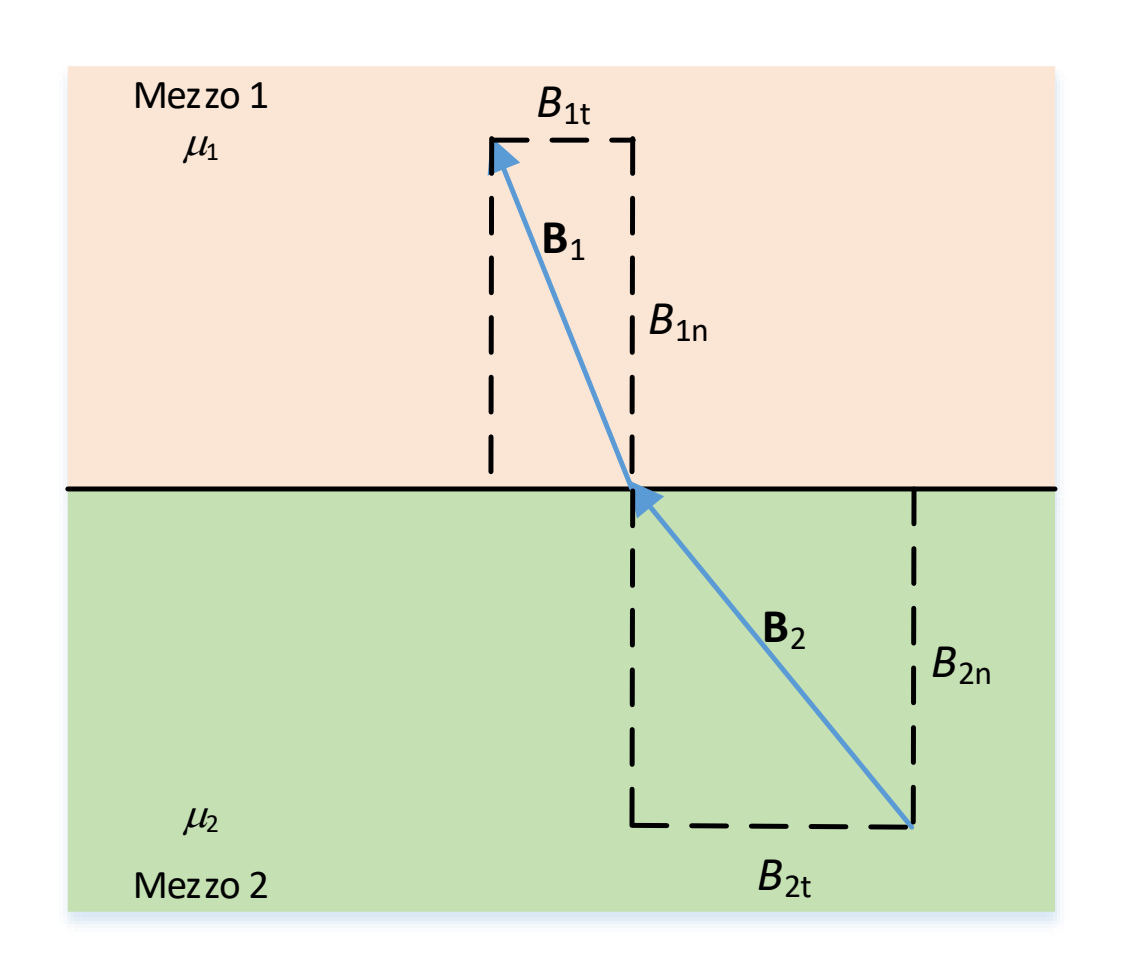
Nei materiali ferromagnetici:

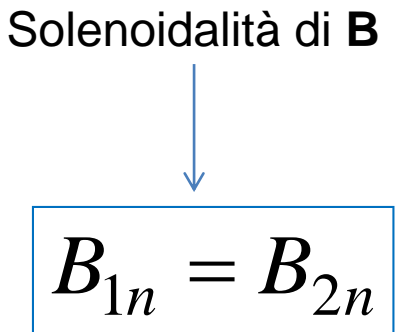
$$(\mu_r \cong 10.000) \quad \mu_r \to \infty$$

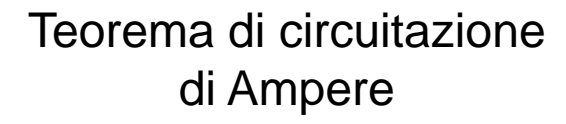




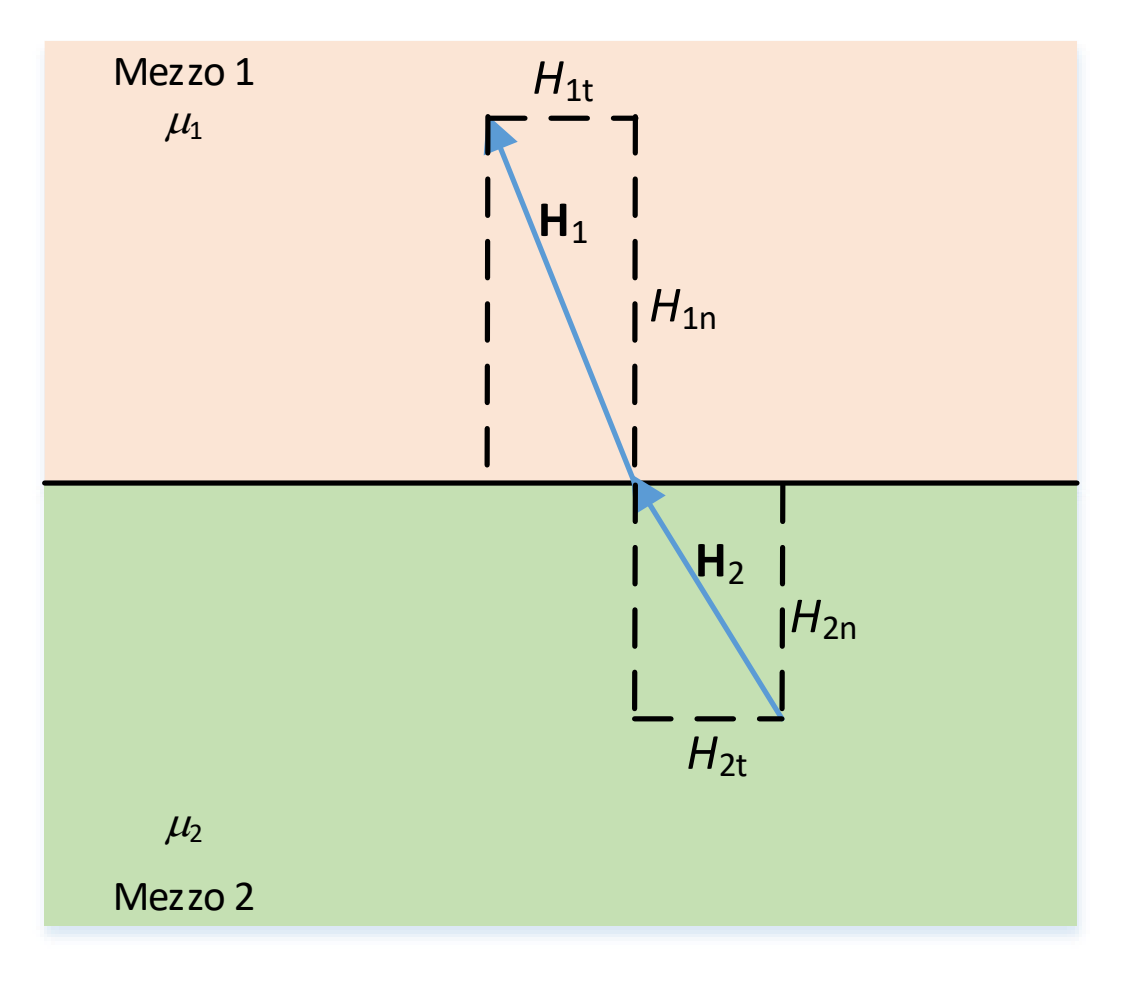
Leggi di rifrazione dei campi B e H

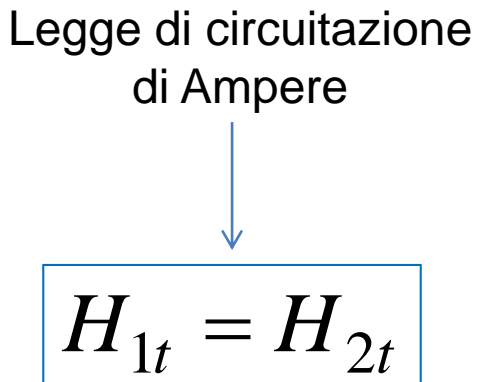


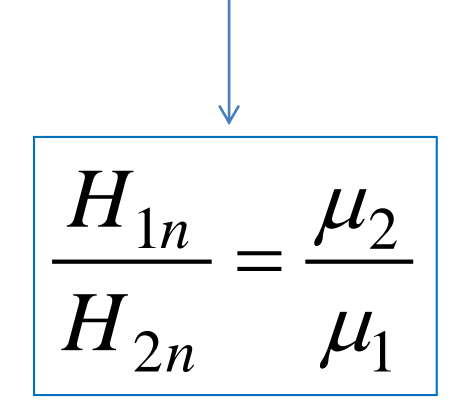




$$\frac{B_{1t}}{B_{2t}} = \frac{\mu_1}{\mu_2}$$







Solenoidalità di B

Caso particolare:

Mezzo 1: aria $\mu_1 = \mu_{aria} = \mu_0$

$$\frac{\mu_2}{\mu_1} = \frac{\mu_{fe}}{\mu_{aria}} = \frac{\mu_0 \mu_{r,fe}}{\mu_0} = \mu_{r,fe} \to \infty \tag{1}$$

$$B_{1n} = B_{2n} \longrightarrow B_{n,aria} = B_{n,ferro}$$
 (2)

Sulla superficie di interfaccia tra aira e ferro, la componente normale del campo si conserva, cioè è la stessa nell'arie e nel ferro

$$\frac{B_{1t}}{B_{2t}} = \frac{\mu_1}{\mu_2} \longrightarrow \frac{B_{aria,t}}{B_{fe,t}} = \frac{\mu_{aria}}{\mu_{fe}} \rightarrow 0 \longrightarrow B_{aria,t} = 0$$

Sulla superficie di interfaccia tra aira e ferro, la componente tangenziale dell'induzione magnetica in aria è nulla, cioè il vettore induzione è puramente ortogonale alla superficie di interfaccia.

$$\frac{H_{1n}}{H_{2n}} = \frac{\mu_2}{\mu_1} \longrightarrow \frac{H_{aria,n}}{H_{fe,n}} = \frac{\mu_{fe}}{\mu_{aria}} \longrightarrow \infty \longrightarrow H_{fe,n} \cong 0$$

$$H_{1t} = H_{2t} \longrightarrow H_{aria,t} = \frac{B_{aria,t}}{\mu_0} = H_{fe,t}$$

In base a (3) sia ha che $B_{aria,t} = 0$, quindi possiamo scrivere:

$$H_{aria,t} = H_{fe,t} \cong 0$$
 (5)

39

Dalle equazioni (4) e (5) si ricava che:

$$H_{fe,n} \cong H_{fe,t} \cong 0 \longrightarrow H_{fe} \cong 0$$
 (6)

Sulla superficie di interfaccia tra aira e ferro, il campo magnetico H all'interno del ferro è approssimabile a zero.

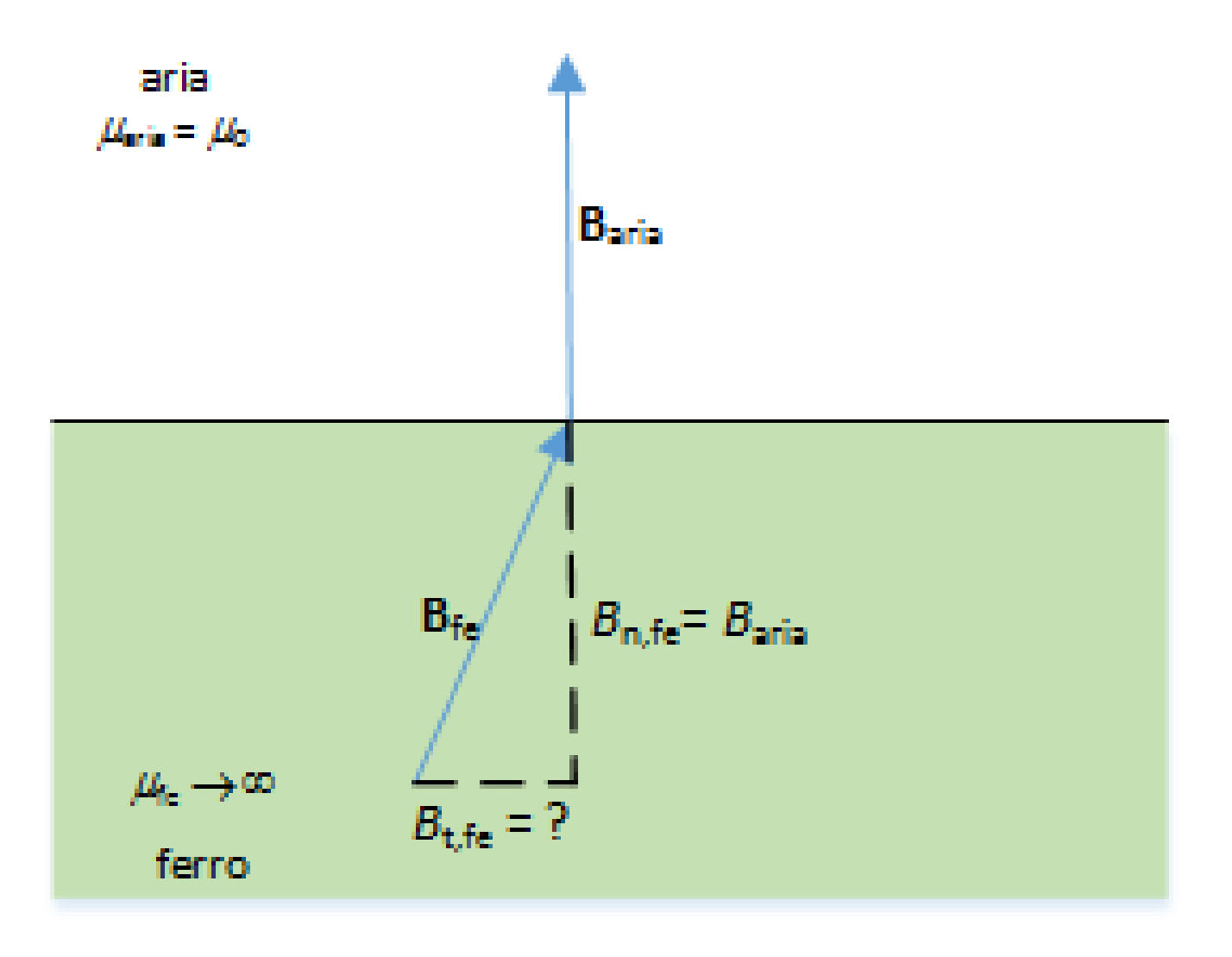
In generale, nulla possiamo dire circa la componente B tangenziale nel ferro (vedi fig. alla slide seguente).

Tuttavia, per motivi di simmetria, se siamo sufficientemente lontani dai «bordi» e quindi possiamo appunto trascurare gli effetti di bordo, considerazioni di simmetria suggeriscono che

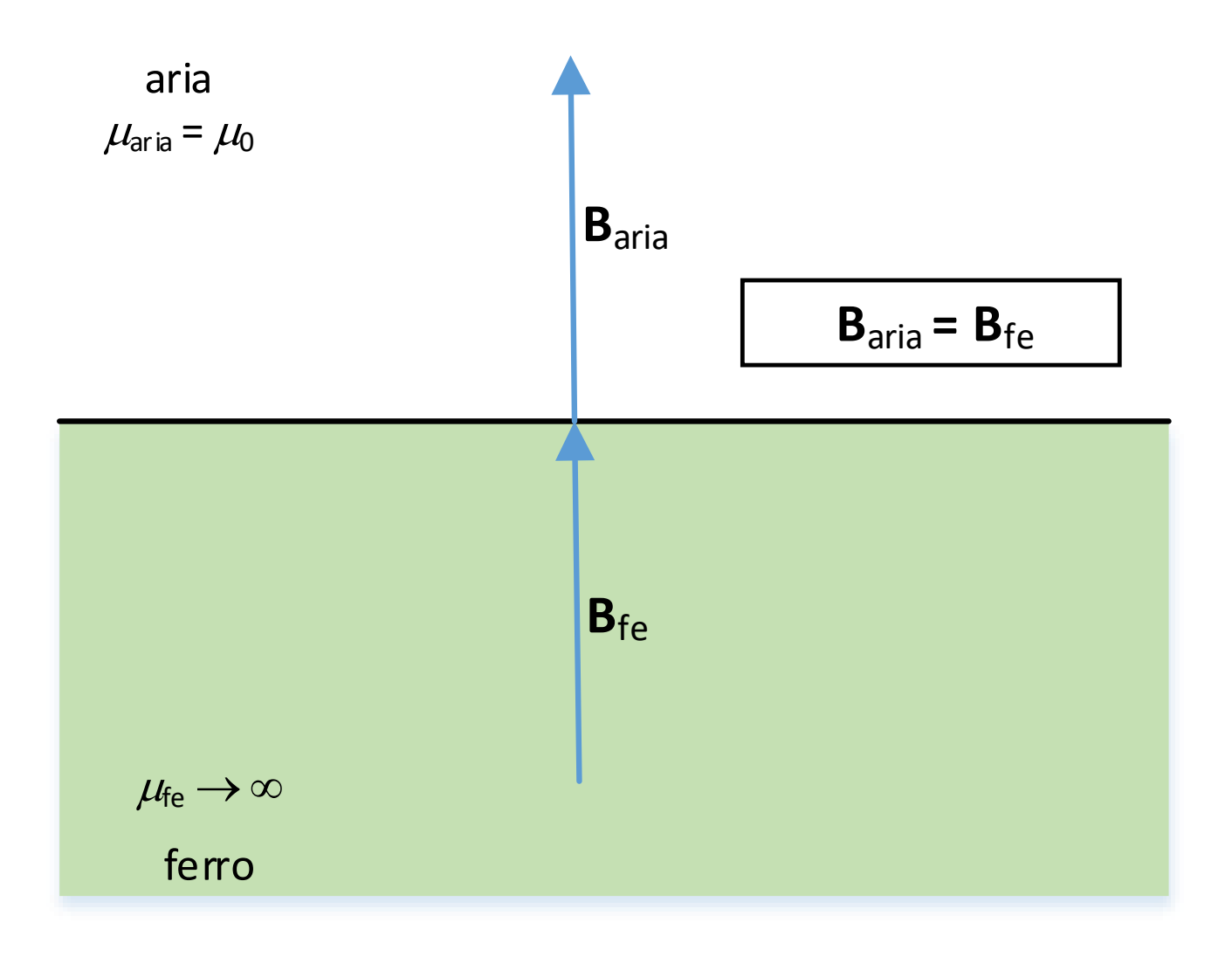
$$B_{fe,t} \cong 0$$

Infatti, se tale valore fosse diverso da zero, dovrebbe assumere un segno positivo o negativo. Ma ciò contrasterebbe con l'ipotesi di trascurare gli effetti di bordo (il sistema è supposto uguale a destra e a sinistra del punto considerato).

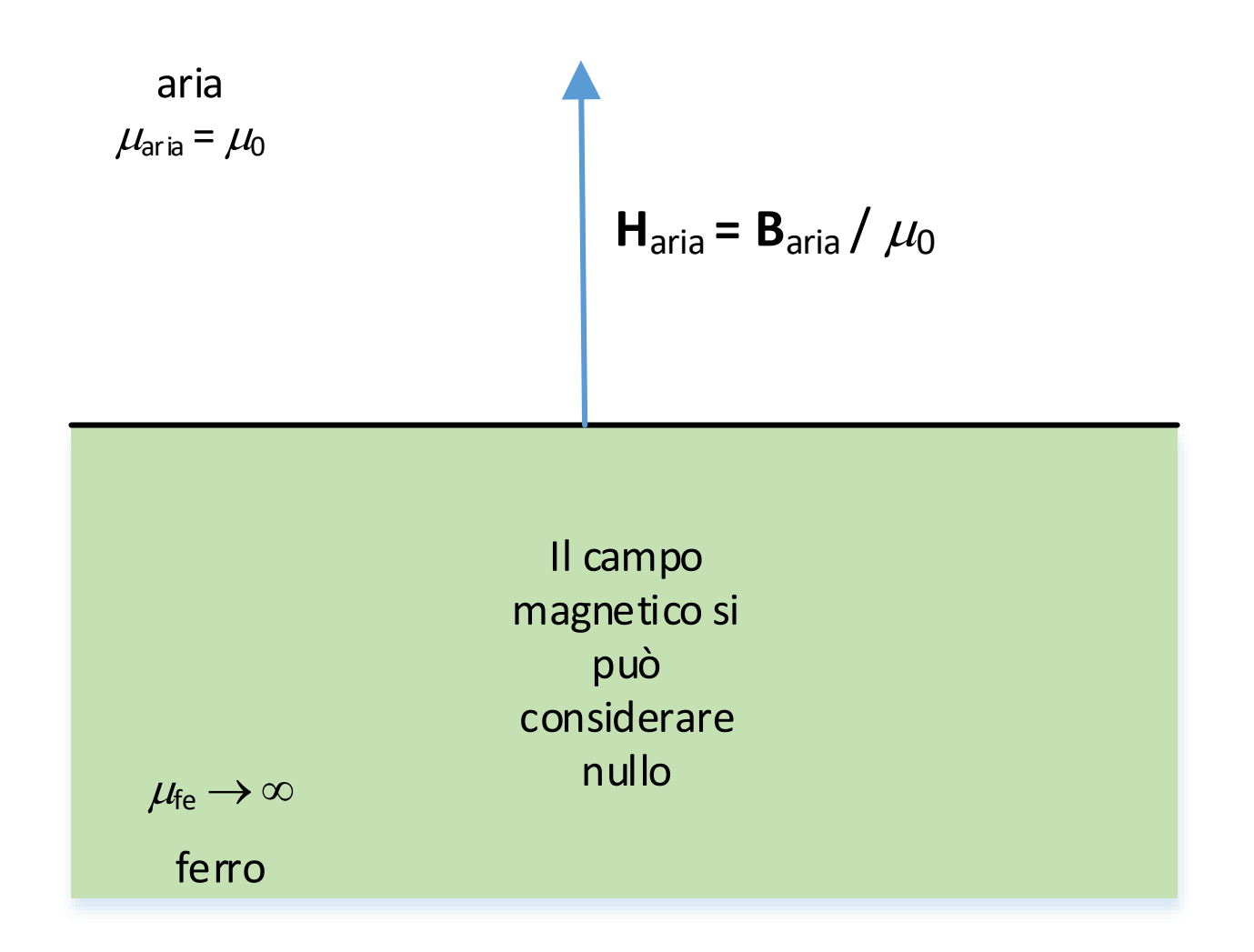
Quindi, in generale, per quanto riguarda l'induzione:



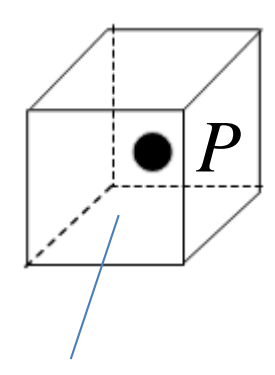
E se si trascurano gli effetti di bordo:



Invece per quanto riguarda il campo magnetico si ha sempre:



Energia magnetica specifica

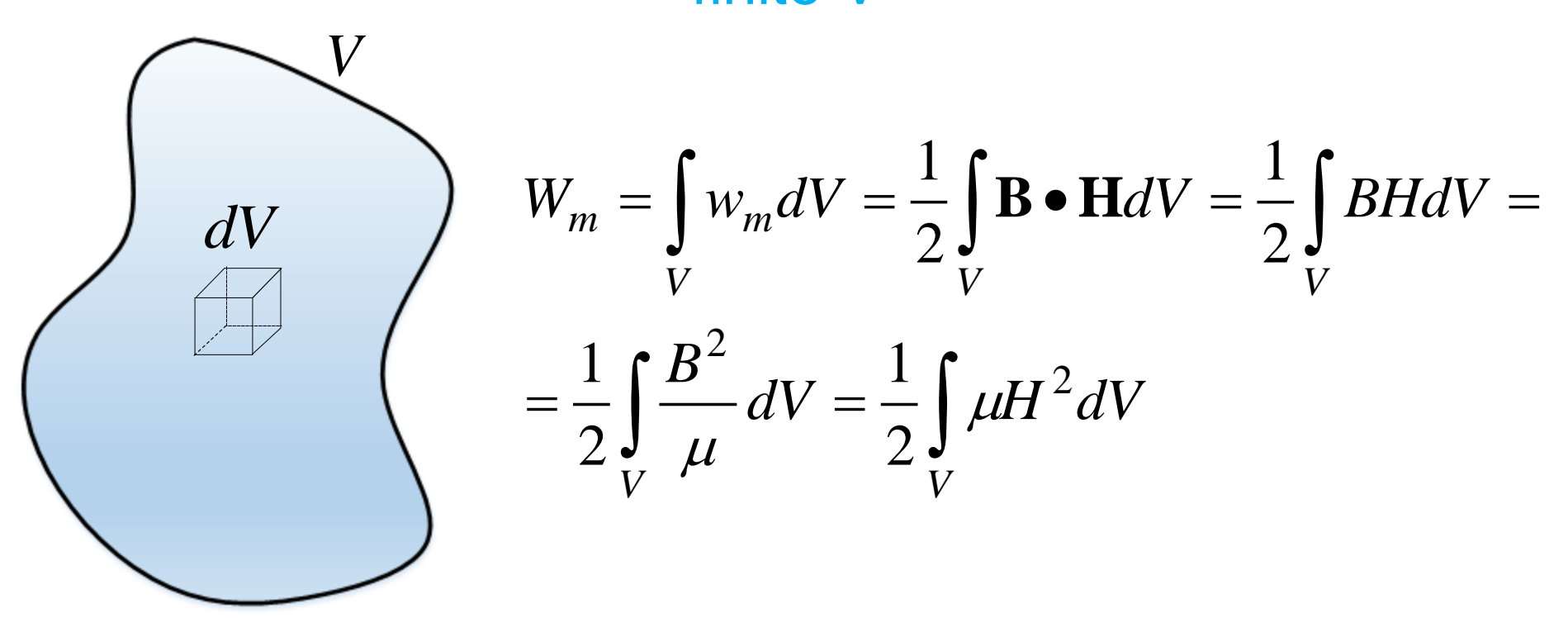


volume elementare dV permeabilità μ

Energia magnetica specifica in *P*:

$$w_m = \frac{dW_m}{dV} = \frac{1}{2}\mathbf{B} \bullet \mathbf{H} = \frac{1}{2}BH = \frac{1}{2}\frac{B^2}{\mu} = \frac{1}{2}\mu H^2$$

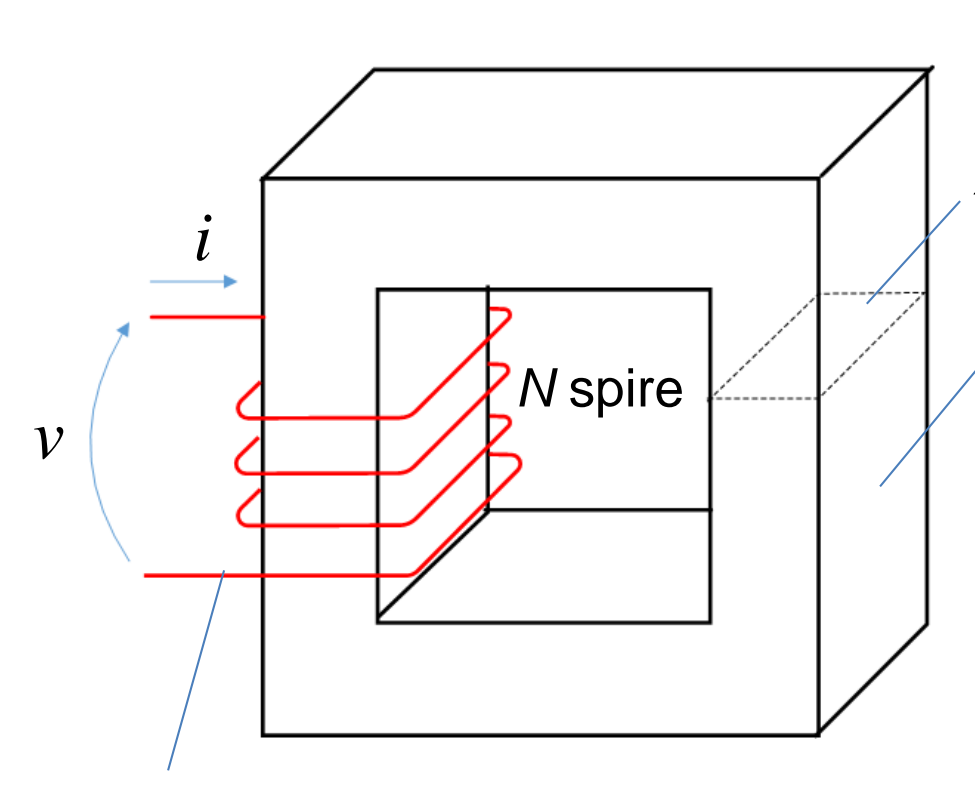
Energia magnetica immagazzinata in un volume finito V



NB: non è detto che la permeabilità magnetica sia uniforme in tutto il volume V. In generale, μ varia da punto a punto:

$$\mu = \mu(x, y, z)$$

Dimostrazione (per un caso particolare)

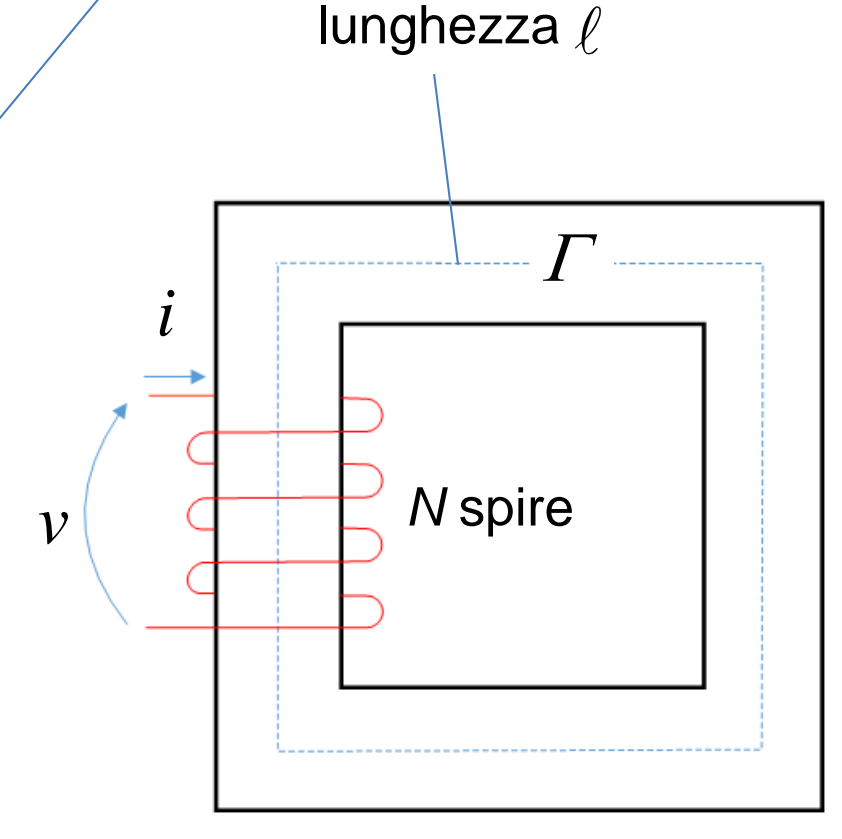


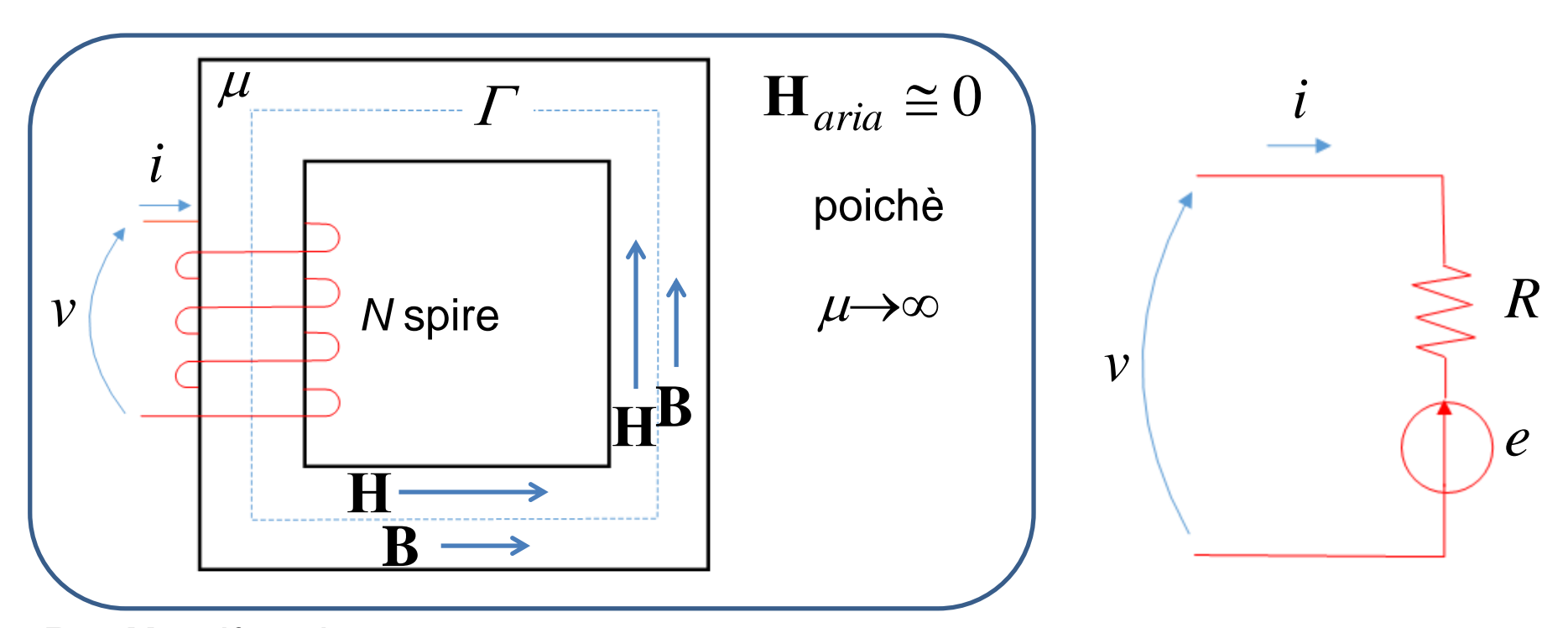
Circuito elettrico con N spire e resistenza R

$$V \cong \Sigma \ell$$

Volume V di materiale omogeneo (nucleo) con permeabilità μ , tale che $\mu \rightarrow \infty$

Curva media di





B e **H** uniformi nel nucleo:

$$\mathbf{B} = \mu \mathbf{H}$$

Flusso attraverso Σ : $\Phi = B \Sigma$

Flusso concatenato col circuito di alimentazione: $\ \lambda = \Phi \, N$

Forza elettromotrice indotta (legge di Faraday Lenz): $e = \frac{\alpha \Psi}{At}$

Legge della circuitazione di Ampere:

$$\int \mathbf{H} \bullet \mathbf{ds} = Ni \quad \Rightarrow \quad H\ell = Ni$$

La legge di Ohm applicata al circuito di alimentazione dà:

$$v = Ri + e = Ri + \frac{d\lambda}{dt}$$



$$vi = Ri^2 + ei = Ri^2 + \frac{d\lambda}{dt}i$$



$$\overrightarrow{vi} dt = Ri^2 dt + ei dt = Ri^2 dt + d\lambda i$$

Energia elettrica entrante nel sistema nel tempo dt

Energia dissipata nel tempo dt per effetto Joule

Energia dW_m immagazzinata nel sistema come energia magnetica nel tempo dt

$$dW_m = d\lambda i$$

$$dW_m = d\lambda \ i = d(\Phi N) \ i = N \ d\Phi \ i =$$

$$= N i d(B \Sigma) = \underbrace{N i}_{U} \Sigma dB = H \underbrace{\ell \Sigma}_{V} dB = V H dB = \mu V H dH \star$$

Assumiamo che, in ogni punto, l'energia magnetica specifica sia effettivamente data (come si vuol dimostrare) da:

$$w_m = \frac{1}{2}BH$$

Allora l'energia magnetica totale (uguale a quella nel nucleo in quanto fuori dal nucleo **H**≅0) è:

$$W_{m} = \int_{V} w_{m} dV = \frac{1}{2} \int_{V} BH dV = \frac{1}{2} BHV = \frac{1}{2} \mu H^{2}V$$

e la variazione (= differenziale) dell'energia nel tempo è:

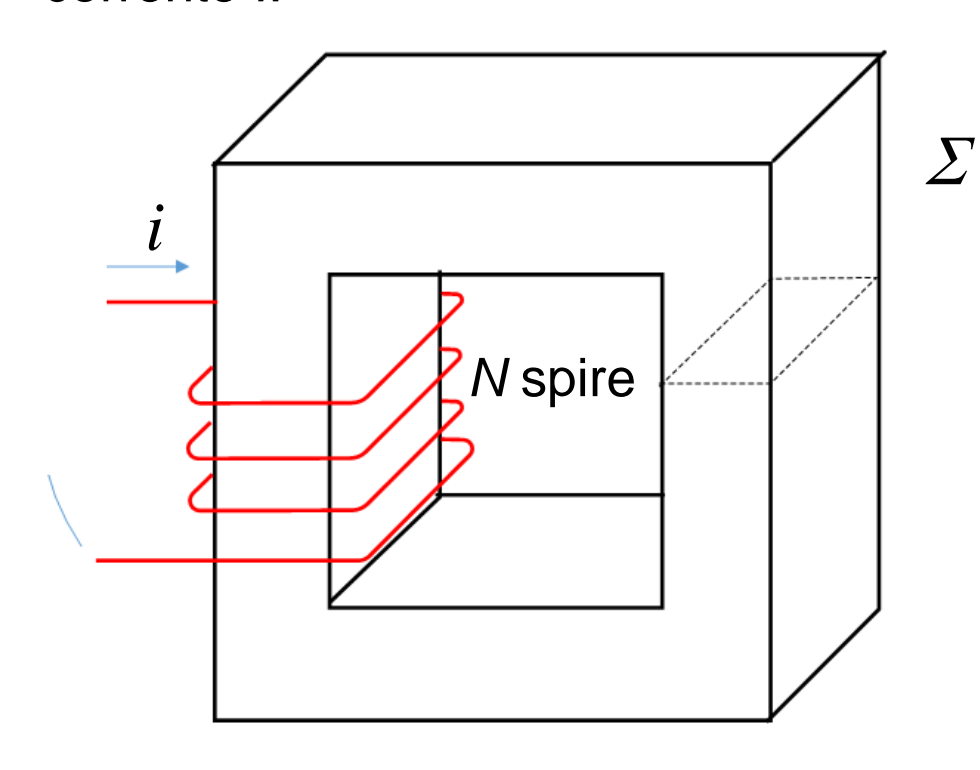
$$dW_m = \frac{dW_m}{dt} dt = \frac{1}{2} \mu \left(\frac{d}{dt} H^2 \right) V dt =$$

$$= \frac{1}{2} \mu \left(2H \frac{dH}{dt} \right) V dt = \mu H dH V \quad \text{che infatti coincide con } \bigstar$$



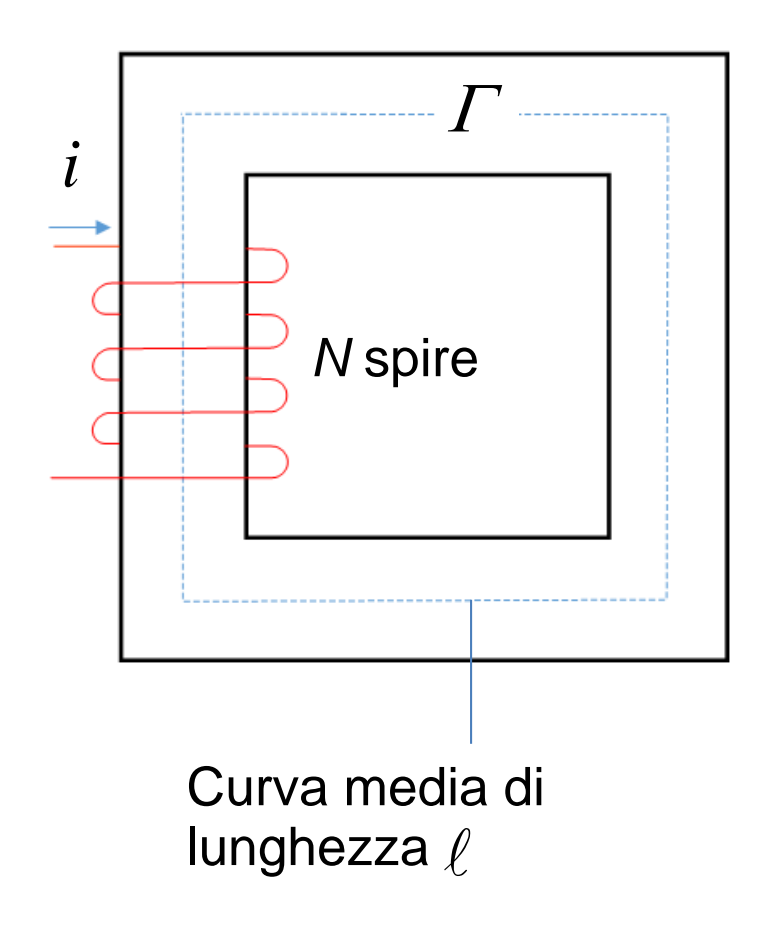
Riluttanza di un circuito magnetico

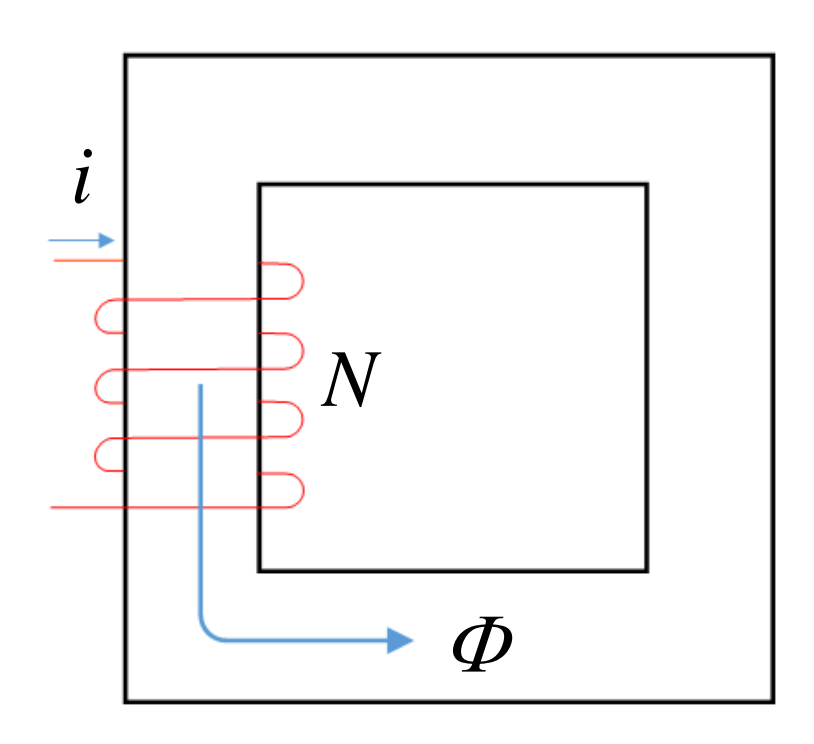
Consideriamo un circuito magnetico eccitato da *N* spire percorse da corrente *I*:



Definizione di riluttanza:

$$\mathcal{R} = \frac{1}{\mu} \frac{\ell}{\Sigma} \qquad [H^{-1}]$$





Il circuito magnetico è caratterizzato da:

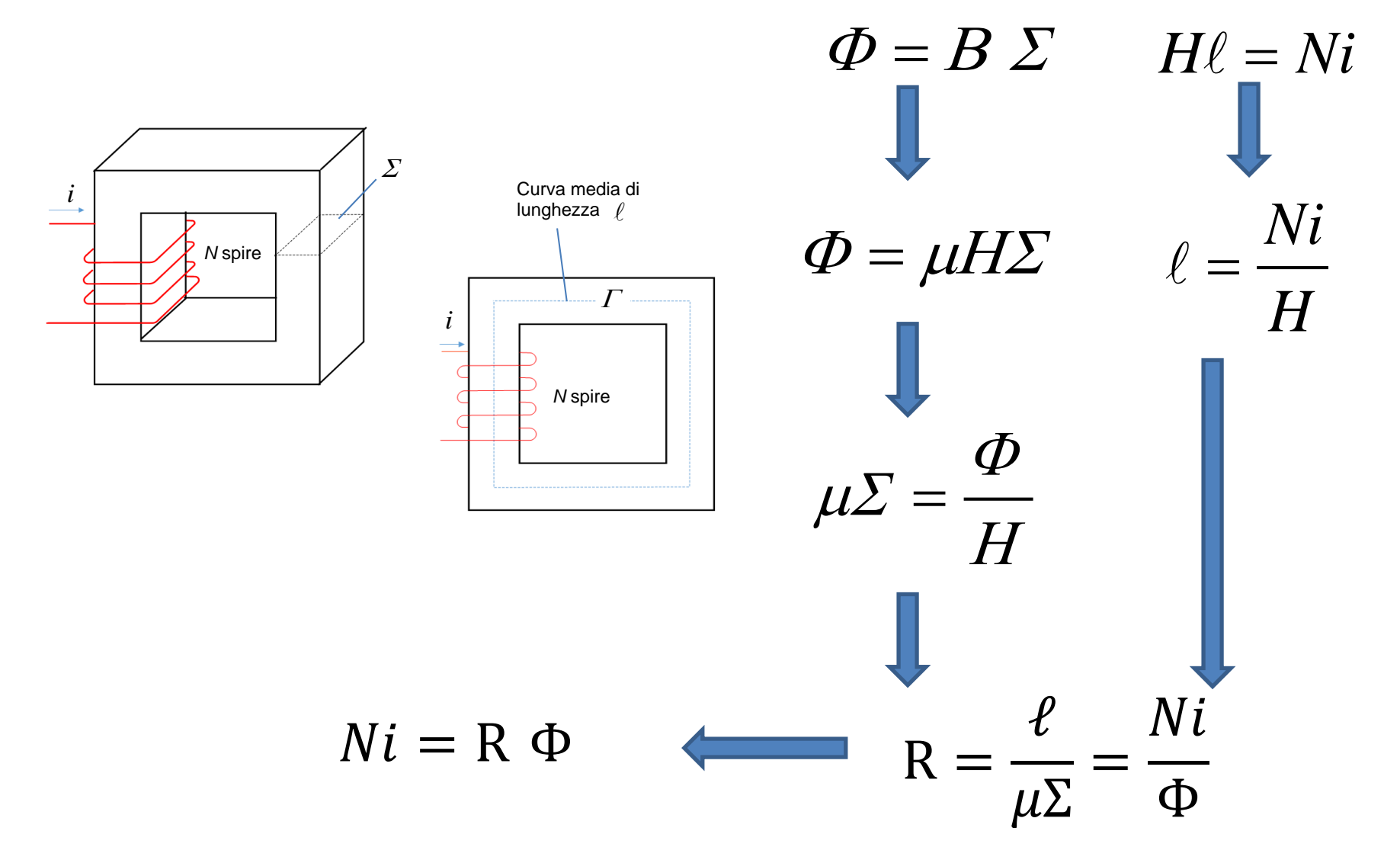
Flusso medio concatenato con ciascuna spira di eccitazione

FMM = NiForza magneto-motrice

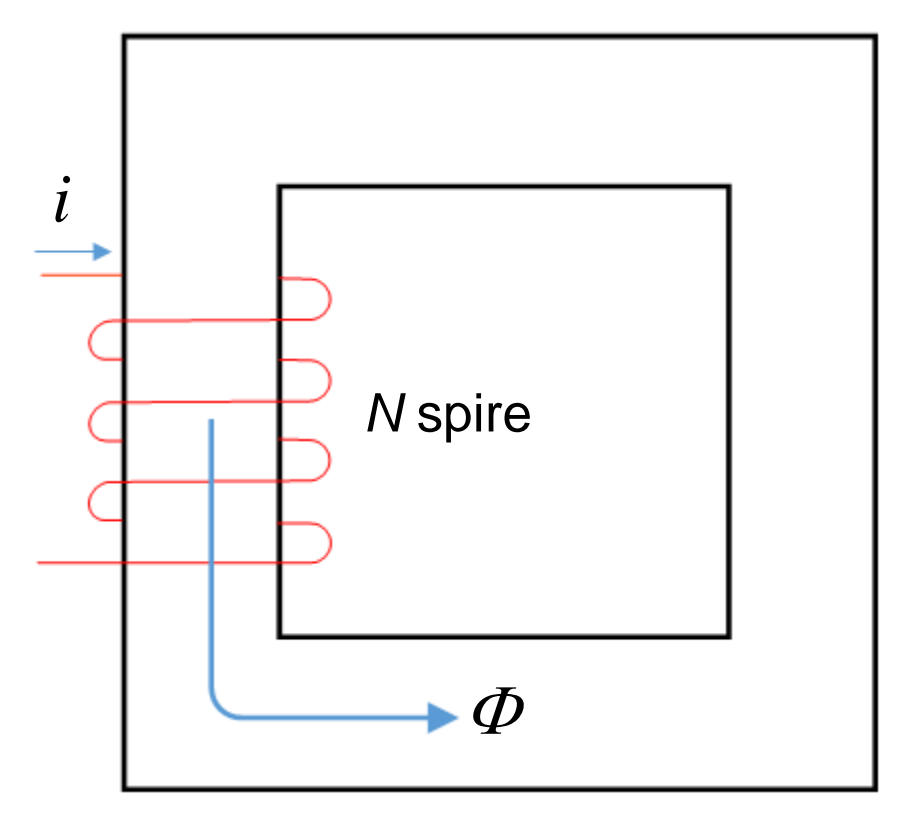
Si può dimostrare che, per un certo circuito magnetico, la riluttanza \mathcal{R} esprime il legame di proporzionalità tra la forza magneto-motrice Ni e il flusso medio Φ concatenato con ciascuna spira di eccitazione.

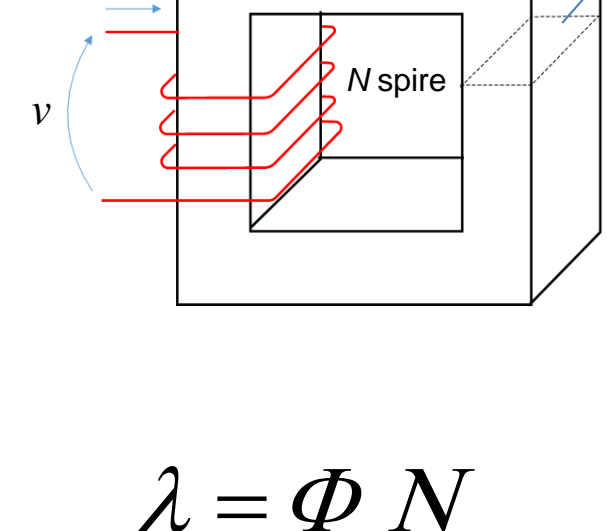
Questo risultato è noto come «legge di Hopkinson».

Legge di Hopkinson



Autoinduttanza di un circuito elettrico che eccita un circuito magnetico





$$L = \frac{\lambda}{i}$$
 [H]

Fusso concatenato con il circuito

Fusso concatenato con ogni spira

Legame tra autoinduttanza di un circuito elettrico e riluttanza del circuito magnetico associato

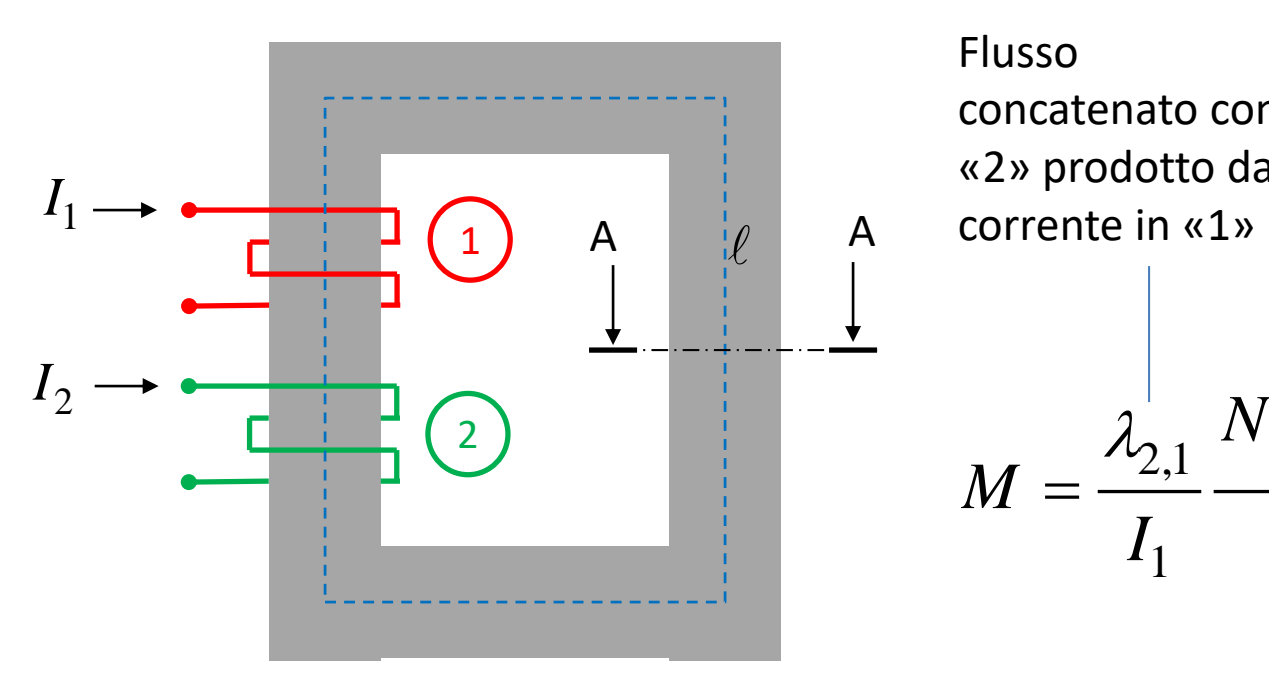
«L'autoniduttanza di un circuito elettrico, composto da *N* spire, che eccita un circuito magnetico è uguale al reciproco della riluttanza del circuito magnetico moltiplicato per il numero di spire *N* al quadrato»

$$L = \frac{N^2}{\mathcal{R}}$$

Infatti:

$$L = \frac{\lambda}{i} = \frac{N\Phi}{i} = \frac{N^2\Phi}{Ni} = \frac{N^2}{\mathcal{R}}$$

Mutua induttanza



concatenato con «2» prodotto da

Flusso concatenato con «1» prodotto da corrente in «2»

$$M = \frac{\lambda_{2,1}}{I_1} \frac{N_2 \Phi|_{I_2=0}}{I_1} = \frac{\lambda_{1,2}}{I_2} \frac{N_1 \Phi|_{I_1=0}}{I_2}$$

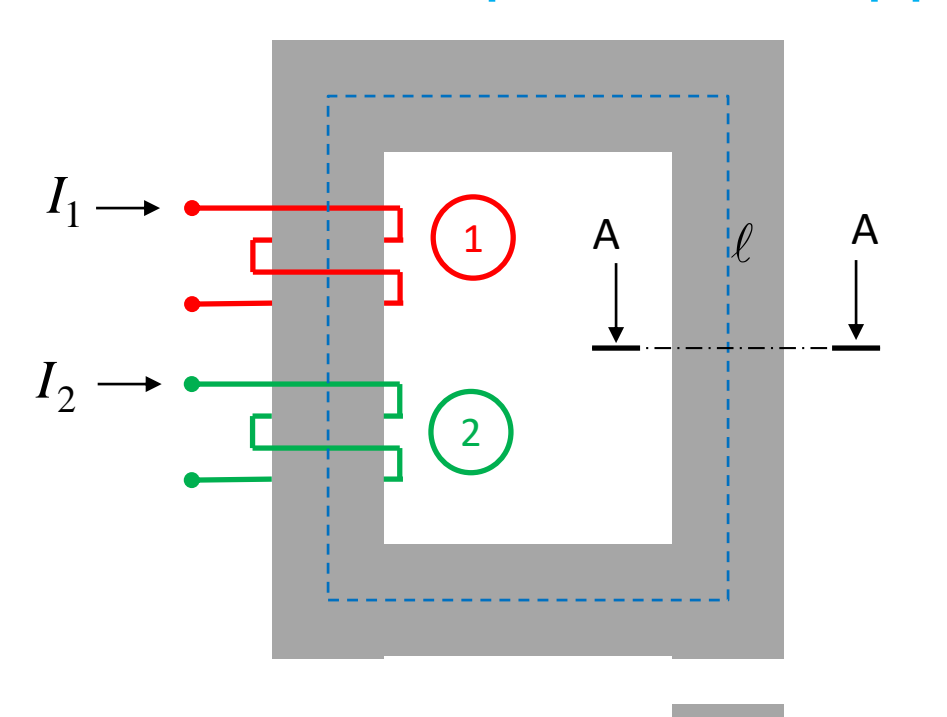
A-A

Teorema di «reciprocità» delle mutue induttanze

$$M = \frac{\lambda_{2,1}}{I_1} \frac{N_2 \Phi\big|_{I_2=0}}{I_1} = \frac{N_2 \left(\mu \frac{N_1 I_1}{\ell} \Sigma\right)}{I_1} = \frac{\mu N_1 N_2 \Sigma}{\ell} = \frac{N_1 N_2}{\mathcal{R}}$$

$$M = \frac{\lambda_{1,2}}{I_2} \frac{N_1 \Phi\big|_{I_1=0}}{I_2} = \frac{N_1 \left(\mu \frac{N_2 I_2}{\ell} \Sigma\right)}{I_2} = \frac{\mu N_1 N_2 \Sigma}{\ell} = \frac{N_1 N_2}{\mathcal{R}}$$

Principio di sovrapposizione degli effetti



Se il mezzo è lineare ed agisce solo il circuito (1):

$$\Phi_1 = \Sigma B_1 = \Sigma \mu H_1 = \Sigma \mu \frac{N_1 I_1}{\ell}$$

Se il mezzo è lineare ed agisce solo il circuito $(1_1=0)$:

$$\Phi_2 = \Sigma B_2 = \Sigma \mu H_2 = \Sigma \mu \frac{N_2 I_2}{\ell}$$

A-A

Se il mezzo è lineare ed agiscono entrambi i circuiti:

$$\Phi = \Sigma B = \Sigma \mu H = \Sigma \mu \frac{N_1 I_1 + N_2 I_2}{\ell} = \Sigma \mu \frac{N_1 I_1}{\ell} + \Sigma \mu \frac{N_2 I_2}{\ell} = \Sigma B_1 + \Sigma B_2 = \Phi_1 + \Phi_2$$

<u>Cioè nell'ipotesi di linearità</u> il flusso dovuto a diverse correnti agenti simultaneamente è pari alla somma dei flussi dovuti alle singole correnti agenti singolarmente.

Se il mezzo ha una caratteristica B=B(H) non lineare, questo non è, in generale, più vero:

Solo circuito «1» alimentato

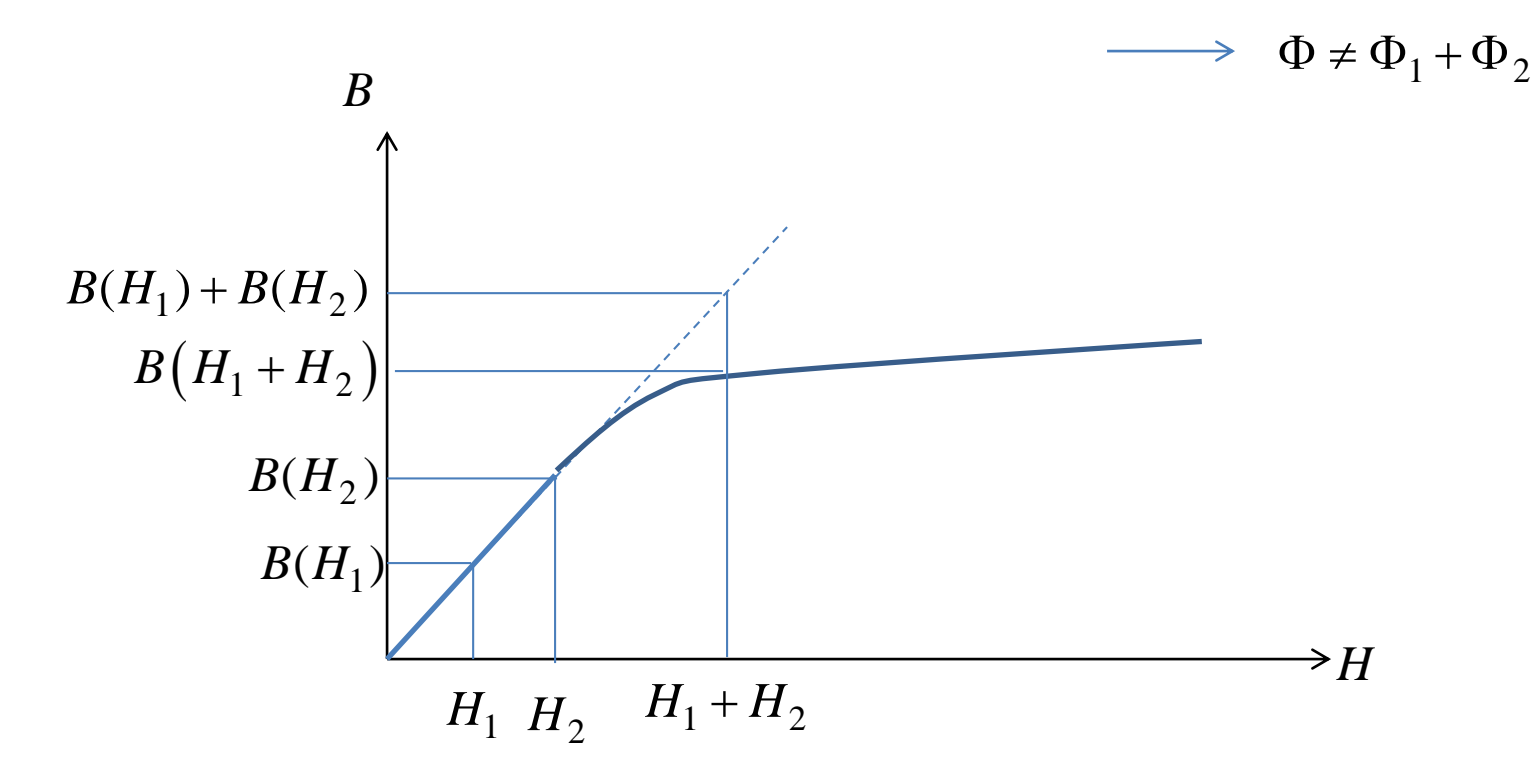
$$\Phi_1 = \sum B(H_1) = \sum B\left(\frac{N_1 I_1}{\ell}\right)$$

Solo circuito «2» alimentato

$$\Phi_2 = \Sigma B(H_2) = \Sigma B\left(\frac{N_2 I_2}{\ell}\right)$$

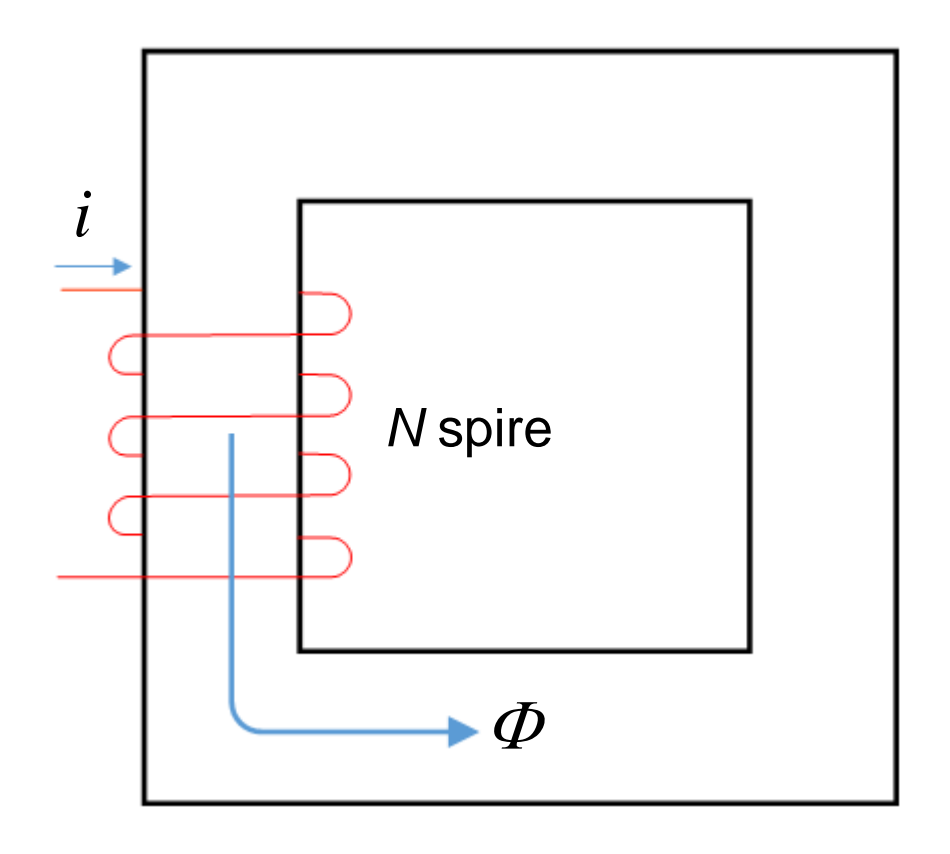
Entrambi i circuiti alimetati

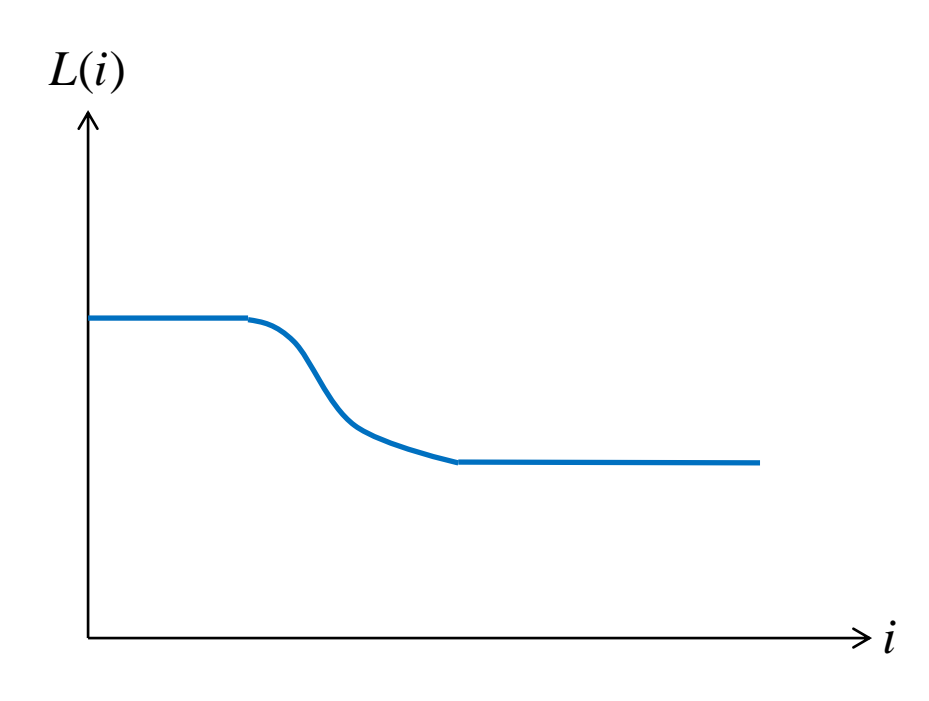
$$\Phi = \Sigma B(H) = \Sigma B\left(\frac{N_1 I_1 + N_2 I_2}{\ell}\right) = \Sigma B(H_1 + H_2)$$



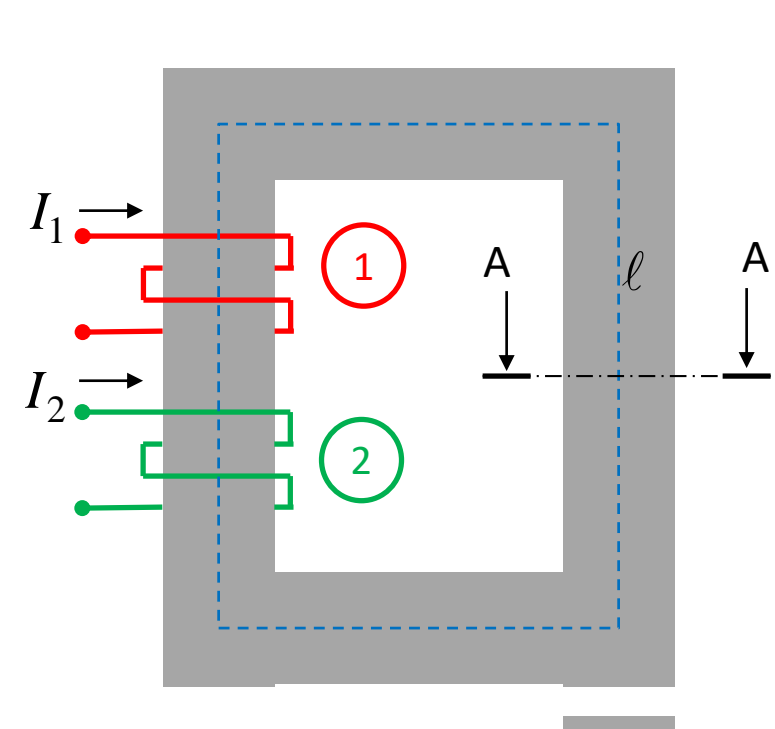
Quindi in regime non lineare anche le induttanze non sono costanti ma dipendono dalle correnti.

$$L = \frac{\lambda}{i} = \frac{N\Phi}{i} = \frac{N\Sigma B(H)}{i} = \frac{N\Sigma B\left(\frac{Ni}{\ell}\right)}{i} = L(i)$$





Legame tra induttanze (auto e mutue) ed energia magnetica in regime di linearità



$$W_{m1}=\frac{1}{2}\,\mu H_1^{\ 2}V=\frac{1}{2}\,\mu H_1^{\ 2}\Sigma\ell= {
m Solo\ circuito\ «1» alimentato}$$

$$A = \frac{1}{2} \mu \left(\frac{N_1 I_1}{\ell} \right)^2 \Sigma \ell = \frac{1}{2} \mu N_1^2 I_1^2 \frac{\Sigma}{\ell} = \frac{1}{2} \mu N_1^2 I_$$

$$= \frac{1}{2} \frac{N_1^2}{\Re} I_1^2 = \frac{1}{2} L_1 I_1^2$$

$$W_{m1} = \frac{1}{2} L_1 I_1^2$$

$$W_{m2} = \frac{1}{2} \mu H_2^2 V = \frac{1}{2} \mu H_2^2 \Sigma \ell = \frac{\text{Solo circuito } \text{``2}}{\text{alimentato}}$$

A-A
$$= \frac{1}{2} \mu \left(\frac{N_2 I_2}{\ell} \right)^2 \Sigma \ell = \frac{1}{2} \mu N_2^2 I_2^2 \frac{\Sigma}{\ell} =$$

$$=\frac{1}{2}\frac{N_2^2}{\Re}I_2^2=\frac{1}{2}L_2I_2^2$$

$$W_{m2} = \frac{1}{2} L_2 I_2^2$$

Entrambi i circuiti alimentati

$$\begin{split} W_{m} &= \frac{1}{2} \mu (H_{1} + H_{2})^{2} \Sigma \ell = \\ &= \frac{1}{2} \mu H_{1}^{2} \Sigma \ell + \frac{1}{2} \mu H_{2}^{2} \Sigma \ell + \mu H_{1} H_{2} \Sigma \ell = \frac{1}{2} L_{1} I_{1}^{2} + \frac{1}{2} L_{2} I_{2}^{2} + \mu \left(\frac{N_{1} I_{1}}{\ell} \frac{N_{2} I_{2}}{\ell} \right) \Sigma \ell = \\ &= \frac{1}{2} L_{1} I_{1}^{2} + \frac{1}{2} L_{2} I_{2}^{2} + \mu N_{1} N_{2} \frac{\Sigma}{\ell} I_{1} I_{2} = \frac{1}{2} L_{1} I_{1}^{2} + \frac{1}{2} L_{2} I_{2}^{2} + M I_{1} I_{2} \\ &= \frac{1}{2} L_{1} I_{1}^{2} + \frac{1}{2} L_{2} I_{2}^{2} + \mu N_{1} N_{2} \frac{\Sigma}{\ell} I_{1} I_{2} = \frac{1}{2} L_{1} I_{1}^{2} + \frac{1}{2} L_{2} I_{2}^{2} + M I_{1} I_{2} \end{split}$$

In generale, per circuito magnetico alimentato da n circuiti, con correnti $l_1, l_2, ..., l_n$, si ha:

$$W_m = \frac{1}{2} \sum_{k=1,2,\dots,n} L_k I_k^2 + \frac{1}{2} \sum_{k,h=1,2,\dots,n} M_{hk} I_h I_k \qquad \qquad \left(\begin{array}{c} M_{hk} = M_{kh} \end{array} \right)$$
 Teorema di reciprocità

Autoinduttanza circuito k

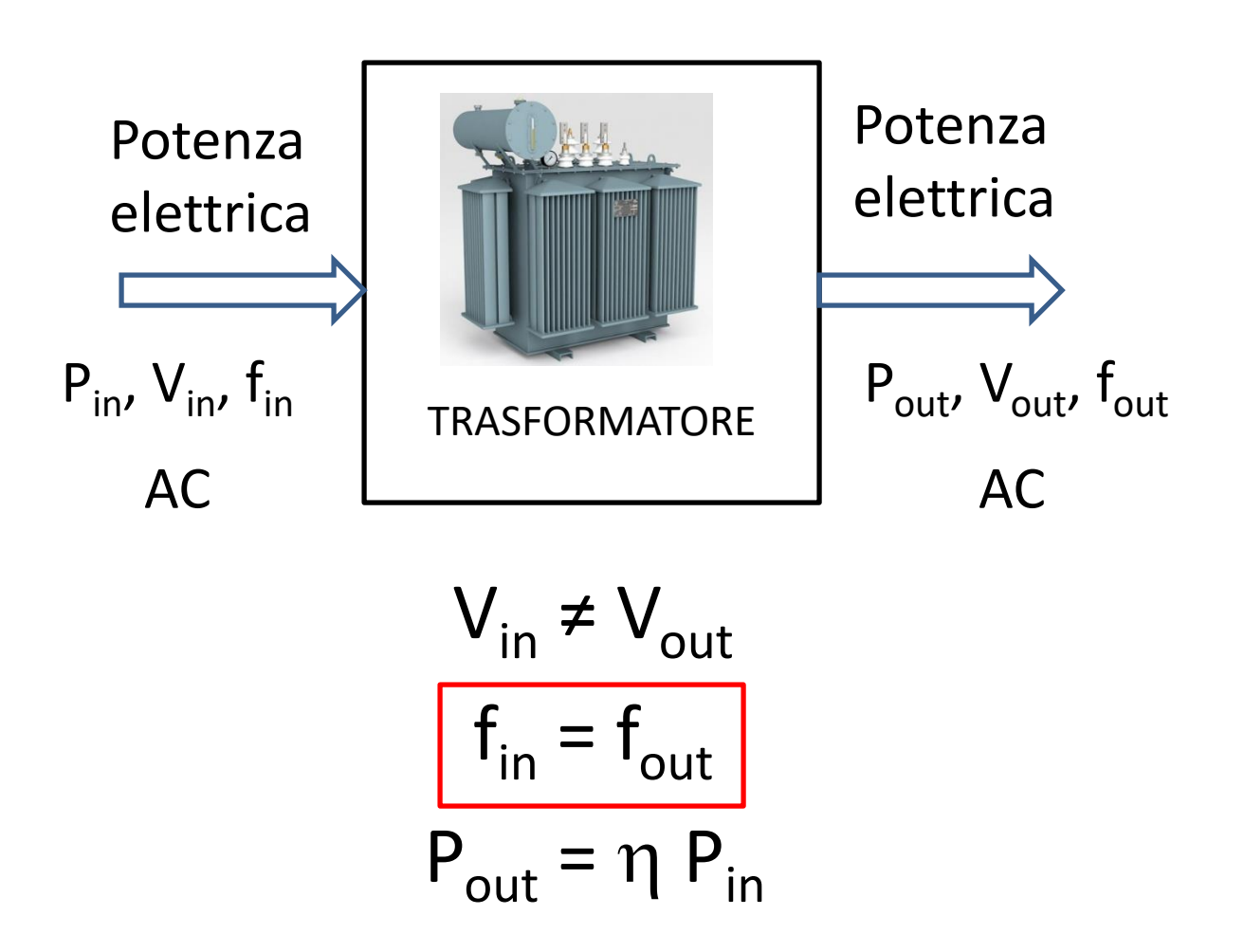
Mutua induttanza tra circuiti h e k

Convenzioni per scrittura di formule in testi tecnici e scientifici

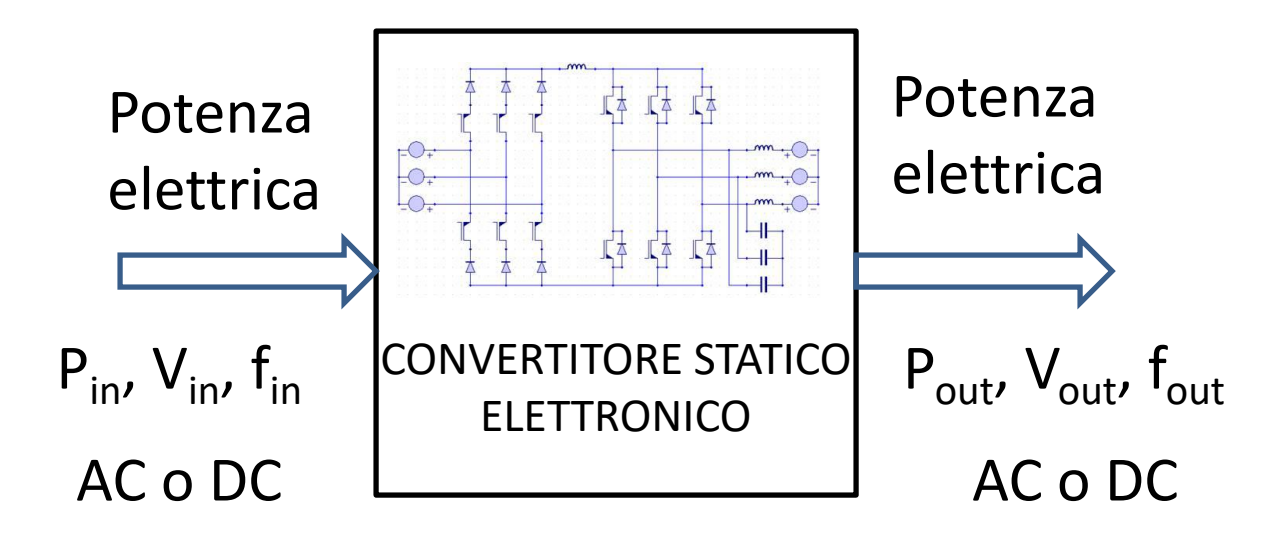
Tipo di grandezza	Stile («font»)	Esempi
Vettore	Dritto grassetto	v
Matrice	Dritto grassetto (di solito lettera maiuscola)	M
Variabile scalare	Corsivo	x
Costante numerica	Dritto	3
Unità di misura	Dritto	m³/s
Funzione	Dritto	$\sin(2x)$
Numero complesso (scalare)	Corsivo sopralineato	\bar{x}
Vettore complesso	Grassetto sopralineato	$\overline{\mathbf{v}}$
Matrice complessa	Grassetto sopralineato	$\overline{\mathbf{M}}$

La macchina elettrica come convertitore di energia

Il trasformatore (convertitore statico non-elettronico)



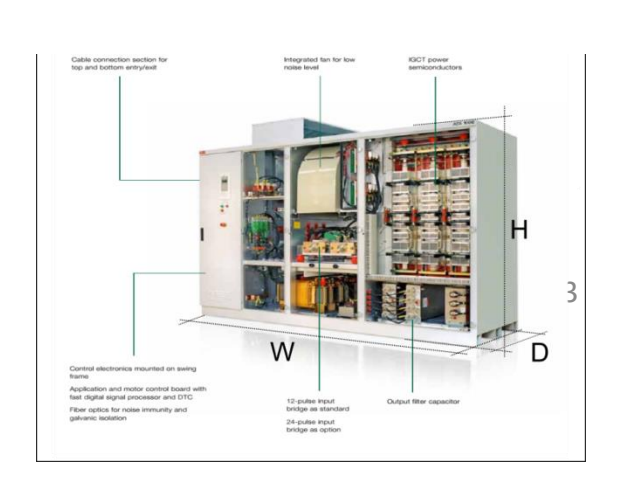
Il convertitore statico - elettronico



$$V_{in} \neq V_{out}$$

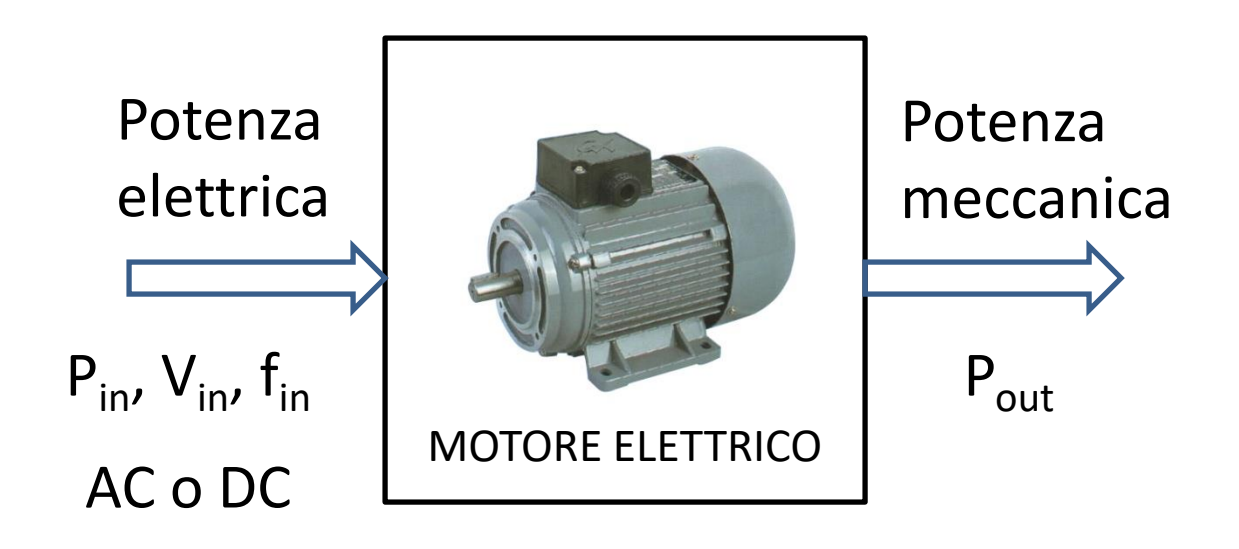
$$f_{in} \neq f_{out}$$

$$P_{out} = \eta P_{in}$$



Le macchine elettriche rotanti (convertitori elettromeccanici)

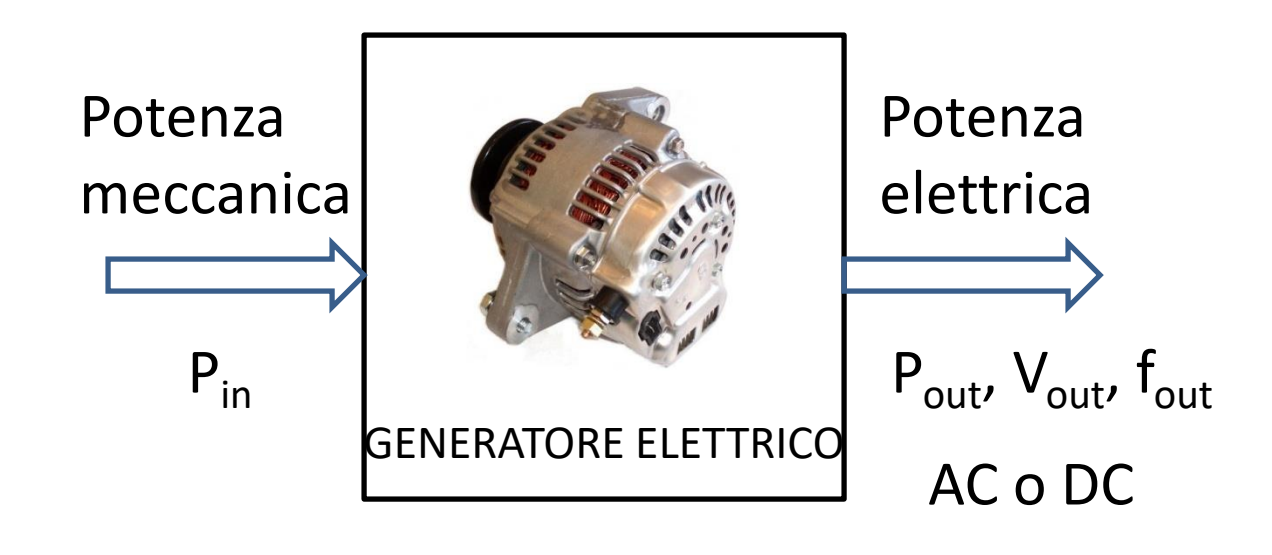
Il motore elettrico



DC
$$P_{in} = V_{dc} I_{dc}$$
 $P_{out} = \eta P_{in}$ AC $P_{in} = \sqrt{3} V I$ $P_{out} = T \omega$ [W] [Nm] [rad/s] voltage

Le macchine elettriche rotanti (convertitori elettromeccanici)

Il generatore elettrico



$$P_{in} = T \omega$$

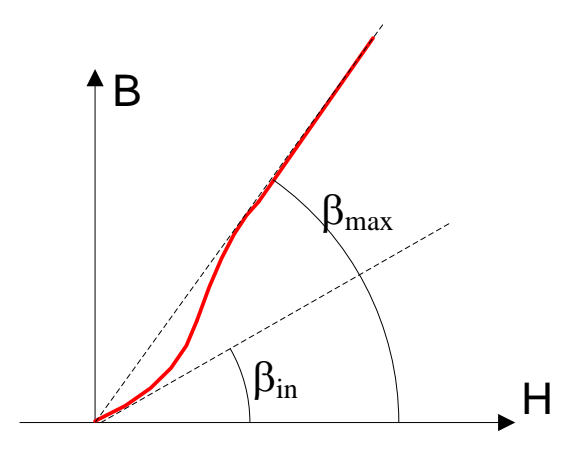
$$[W] \quad [Nm] \quad [rad/s]$$

$$P_{out} = V I$$

$$P_{out} = \sqrt{3} V I$$

$$(AC)$$

Materiali ferromagnetici per le macchie elettriche



Dettaglio della curva di prima magnetizzazione nei pressi dell'origine. Distinguiamo:

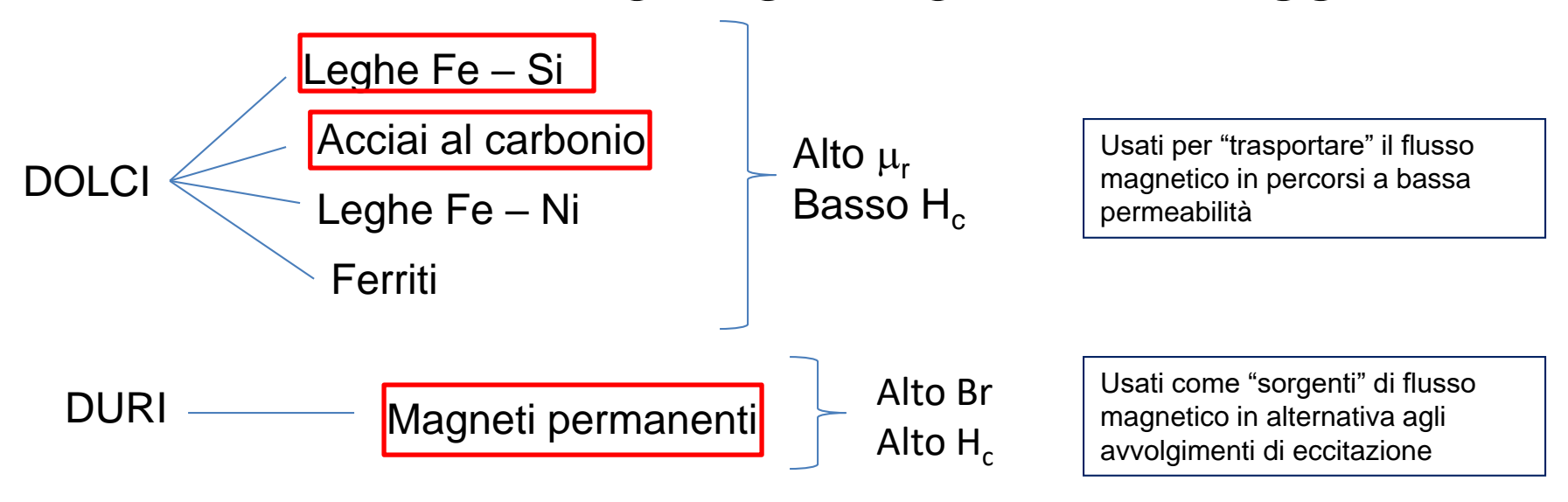
$$\mu_{in} = \tan(\beta_{in})$$

Permeabilità magnetica iniziale

$$\mu_{\text{max}} = \tan(\beta_{\text{max}})$$

 $\mu_{\text{max}} = \tan(\beta_{\text{max}})$ Permeabilità magnetica massima

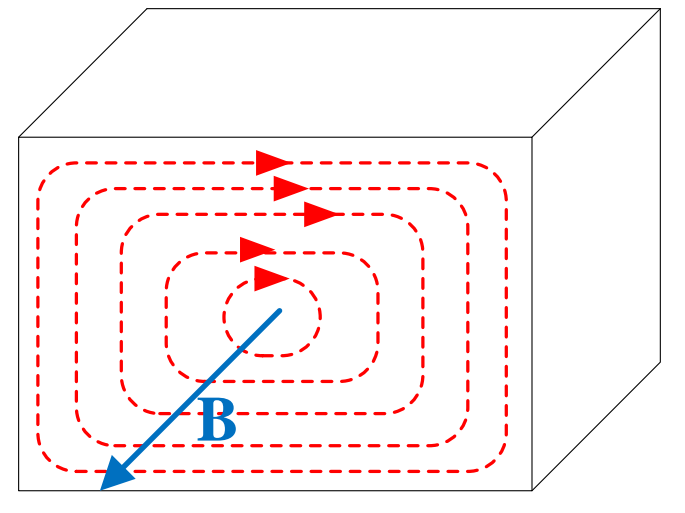
MATERIALI FERROMAGNETICI DI INTERESSE



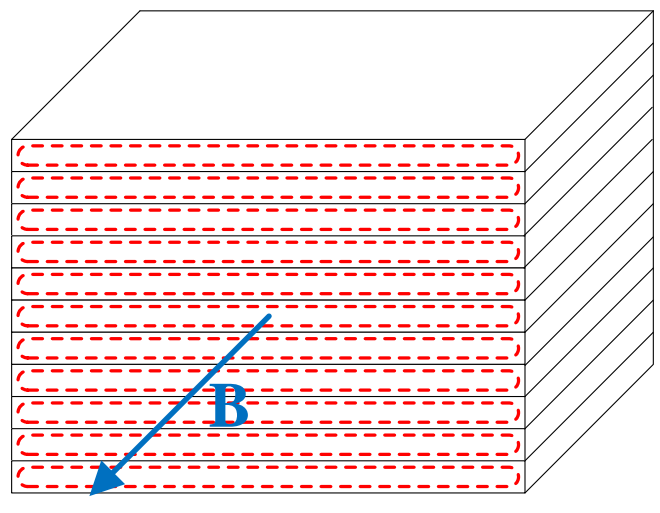
Nella costruzione delle macchine elettriche, i materiali ferromagnetici di interesse sono le leghe Fe-Si e i magneti permanenti (di questi ultimi si tratterà parlando delle macchine a magneti permanenti).

ACCIAI AL SILICIO E NUCLEI LAMINATI

Sono utilizzati per la realizzazione dei nuclei magnetici laminati che costituisce il percorso a bassa riluttanza per il passaggio del flusso di macchina.



Nel caso di nucleo magnetico massiccio, percorso da induzioni magnetiche alternate, avrei forti correnti di Focault ("eddy currents") e conseguenti perdite inaccettabili.



Si ricorre quindi alla <u>laminazione</u> dei nuclei magnetici, che sono formati dall'impaccaggio di sottili <u>lamierini</u> magnetici tra loro isolati. <u>Per evitare di incontrare un traferro tra lamierini successivi, il vettore induzione deve sempre giacere nel piano di laminazione</u>.

Gli acciai al silicio sono leghe ferrose contenenti **silicio** in diverse possibili percentuali.

In generale, all'aumentare del tenore in silicio:

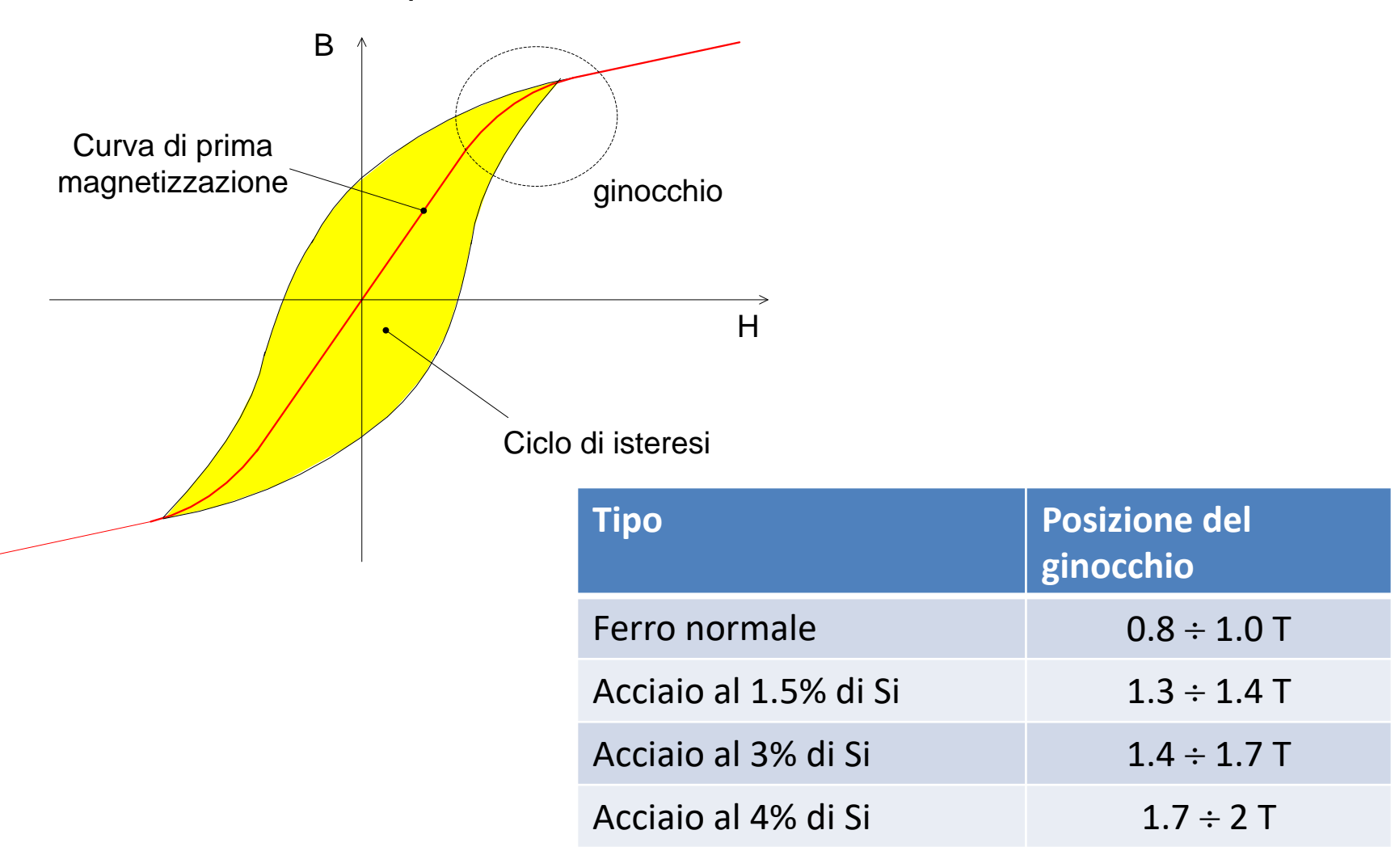
- aumentare la resistività
- si riduce l'area del ciclo di isteresi.
- si alza il ginocchio della caratteristica B-H ——— Nuclei più piccoli
- Aumentare la fragilità (quindi peggiorare la lavorabilità).

Quindi c'è la convenienza ad aumentare il tenore di silicio fino a che la lavorabilità lo consente.

Minori perdite

	Denominazione del lamierino	% di silicio
Usati nelle macchine rotanti Usato solo nei trasformatori a causa della fragilità, che consente la tranciatura ma non la punzionatura	Non-legato	0.5 ÷ 1.5 %
	Semi-legato	1.5 ÷ 2.5 %
	Legato	2.5 ÷ 3.5 %
	Extra-legato	3.5 ÷ 5.0 %
	A grani orientati	~ 3 %

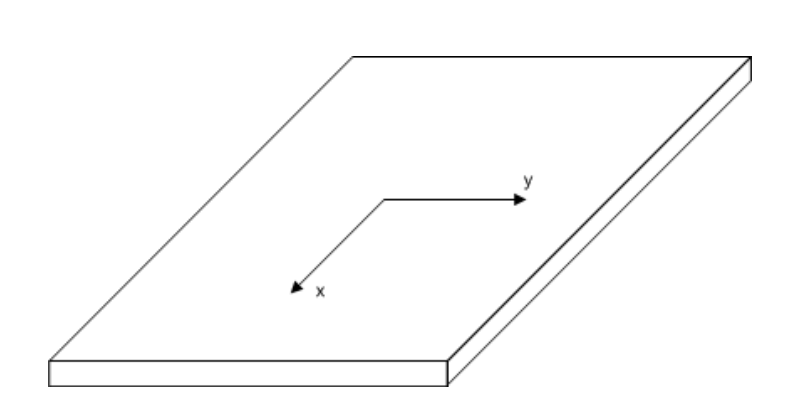
A seconda del tenore di silicio si modifica anche la caratteristica B-H, in particolare <u>si restringe il ciclo di isteresi</u> e si <u>sposta il "ginocchio"</u>, dove si colloca normalmente il punto di lavoro.



Lamierini Fe-Si a grani orientati

Nei trasformatori, oltre ai lamierini extralegati normali, si usano spesso <u>lamierini a grani</u> <u>orientati</u> (o <u>a cristalli orientati</u>).

Questi lamierini sono ottenuti per laminazione a caldo e poi sono sottoposti a più cicli di laminazione a freddo, con particolari trattamenti termici tra un ciclo e l'altro. Il risultato è che i domini magnetici (cristalli) tendono ad orientarsi secondo una direzione preferenziale, che è quella di laminazione.



In un lamierino normale la permeabilità magnetica è uguale in tutte le direzioni nel piano di laminazione (isotropia magnetica), cioè in particolare:

$$\mu_x = \mu_y$$

Nei lamierini a cristalli orientati, esiste una sola direzione x (direzione di laminazione) lungo la quale la permeabilità è elevata.

$$\mu_x \gg \mu_y$$

Quindi ha senso usare il lamierino a grani orientati solo in quei casi in cui il campo magnetico (seppure alternato) conserva la stessa direzione, che deve coincidere con la direzione di laminazione.

Ciò rende proibitivo l'uso dei lamierini a grani orientati nelle macchine rotanti, dove appunto il campo è rotante (cambia direzione nel tempo in ogni punto). L'uso è invece indicato nei trasformatori.

I lamierini a cristalli orientati hanno normalmente uno <u>spessore di 0.35 mm</u> e un <u>tenore di silicio del 3%</u> (quindi inferiore al lamierino extralegato).

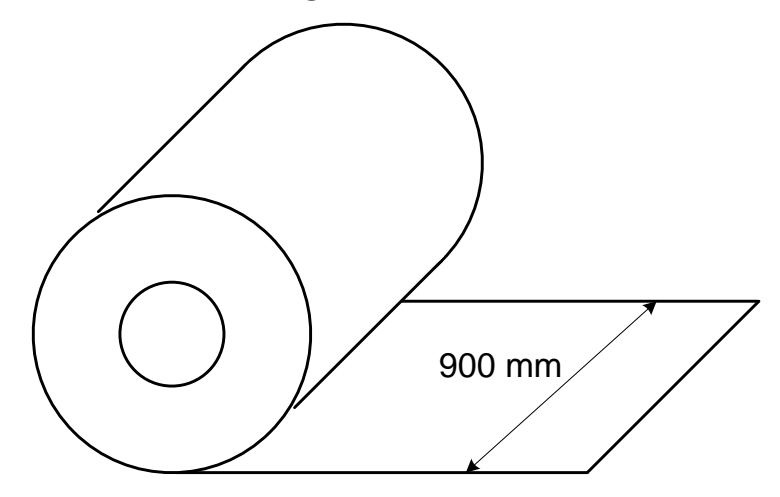
I lamierini a grani orientati portano a due vantaggi fondamentali:

- Riduzione delle perdite per isteresi ("ciclo di isteresi stretto")
- Elevati valori di induzione magnetica in corrispondenza del ginocchio della caratteristica B-H.

Tecnologia di lavorazione del lamierino magnetico Fe-Si



Il lamierino è usualmente disponibile in rotoli (bobine), con larghezza tipica di 900 mm.



Il lamierino è già <u>isolato</u> su una delle due facce (strato di <u>ossido</u> naturale, specie per piccoli trasformatori, oppure apposite <u>vernici</u>).

Per isolare i lamierini, si possono usare anche vernici "incollanti", le quali, oltre all'isolamento elettrico tra lamierini adiacenti, danno i seguenti vantaggi:

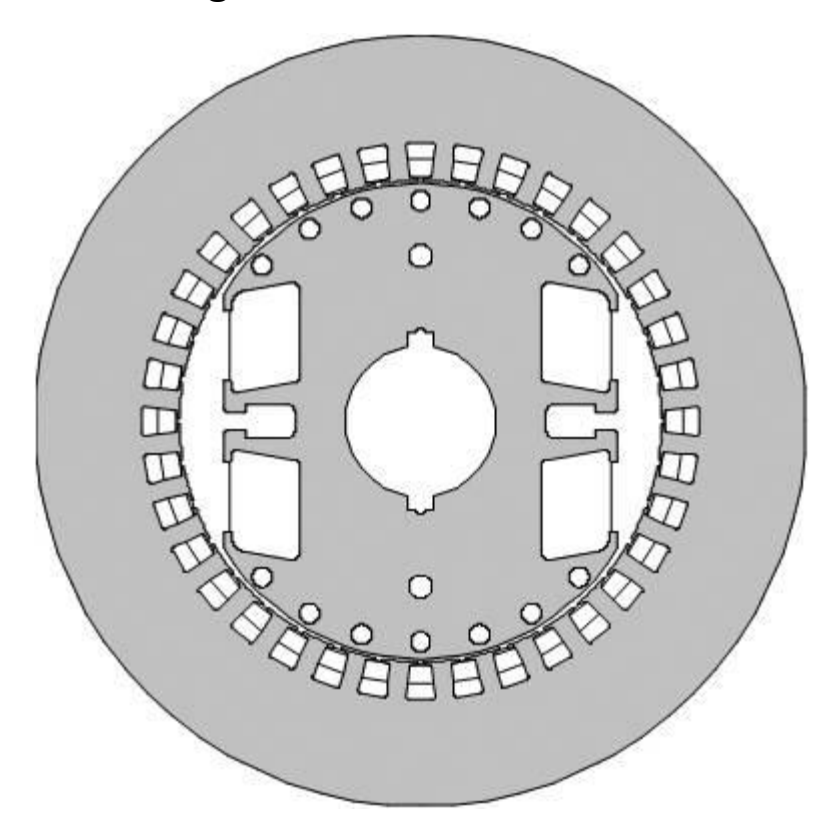
- consentendo di ottenere pacchi di per sè compattati che quindi possono non necessitare di sistemi di pressatura meccanica (piastre di pressione, tiranti, v. oltre).
- Riducono le vibrazioni del pacco e relativo rumore (aspetto importante specie nel caso dei trasformatori).

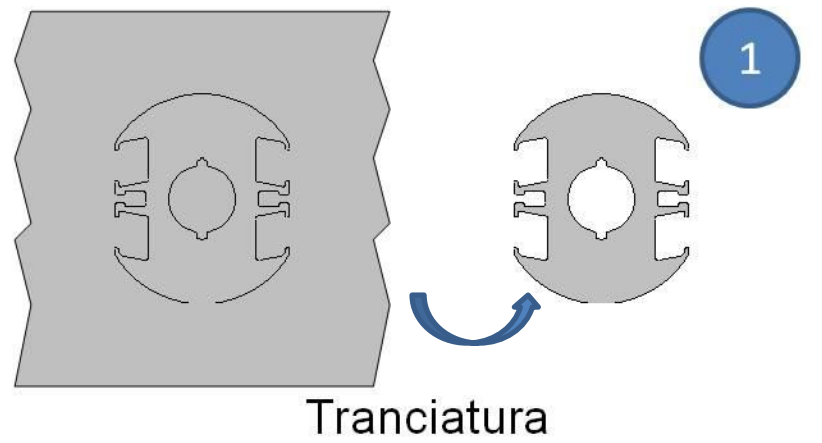
72

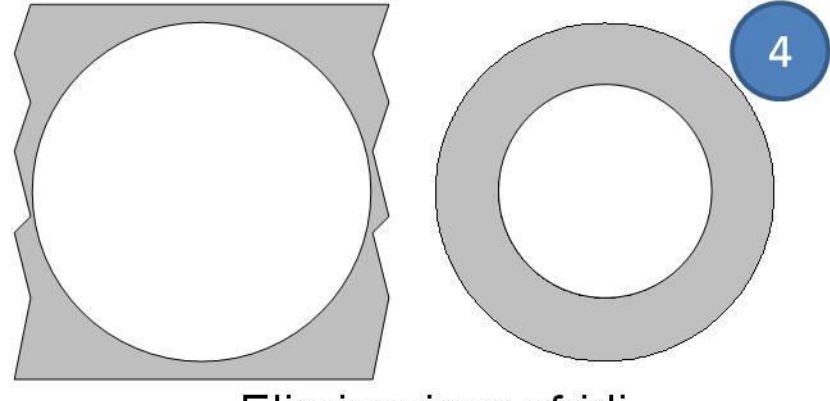
La lavorazione del lamierino per la realizzazione dei nuclei laminati prevede i seguenti processi tecnologici principali:

- Tranciatura
- Punzonatura Tipico in macchine rotanti per cave, di
- Impaccaggio solito non usata nei trasformatori
- Consolidamento strutturale del pacco Può non essere necessario nel caso di lamierini isolati con resine incollanti.

Prendiamo ad esempio la realizzazione dei pacchi laminati di statore e rotore per un generatore sincrono avente la seguente sezione trasversale.



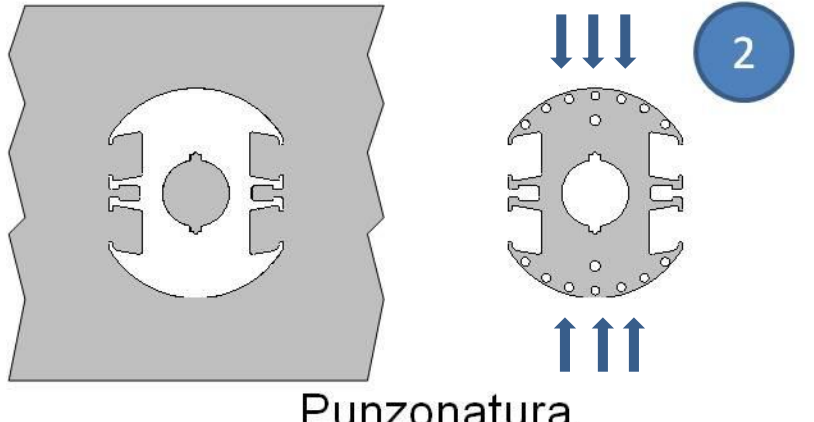


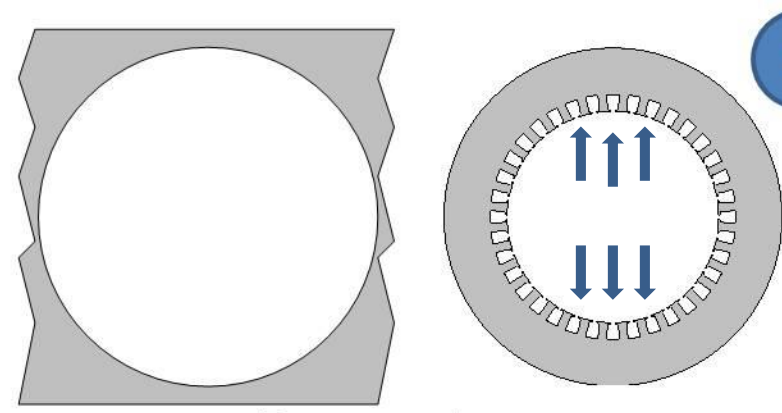






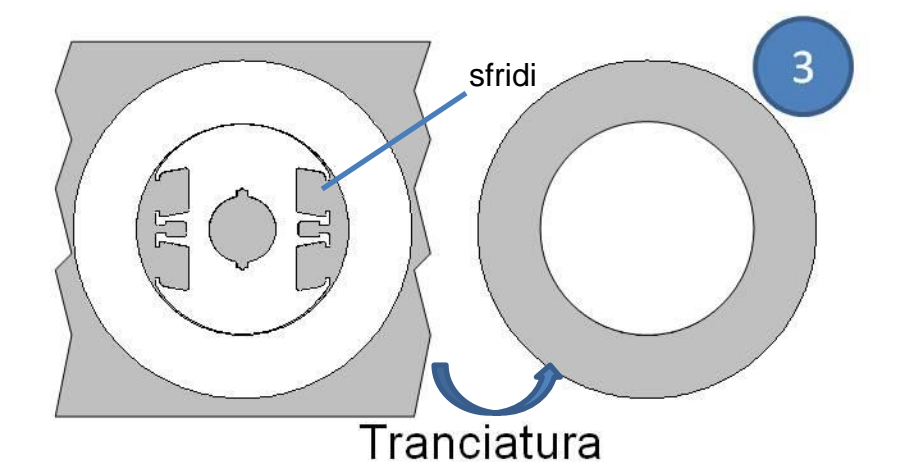
Eliminazione sfridi





Punzonatura

Punzonatura

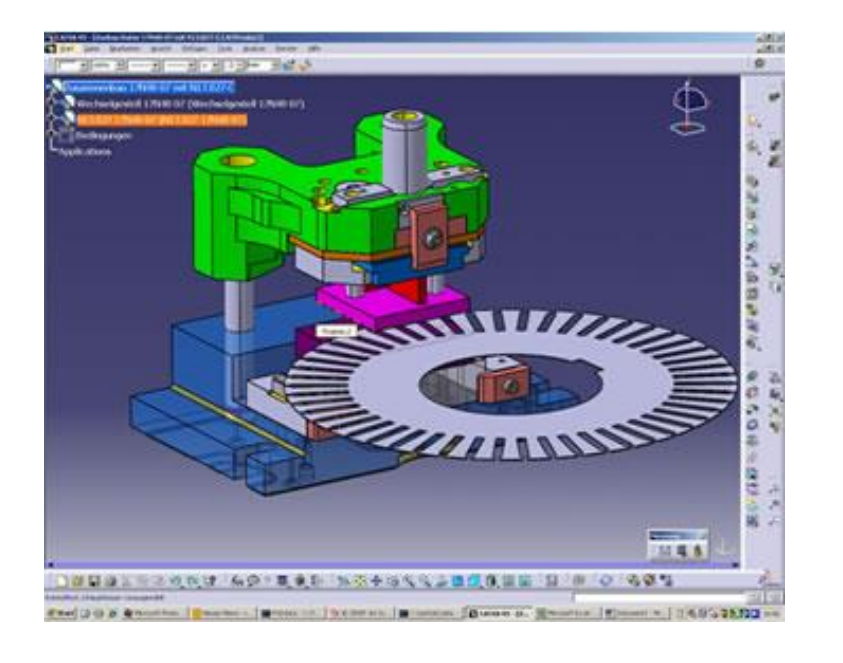






La tranciatura prevede di attrezzare la macchina operatrice (tranciatrice) con uno <u>stampo</u> che riproduce la forma del lamierino.

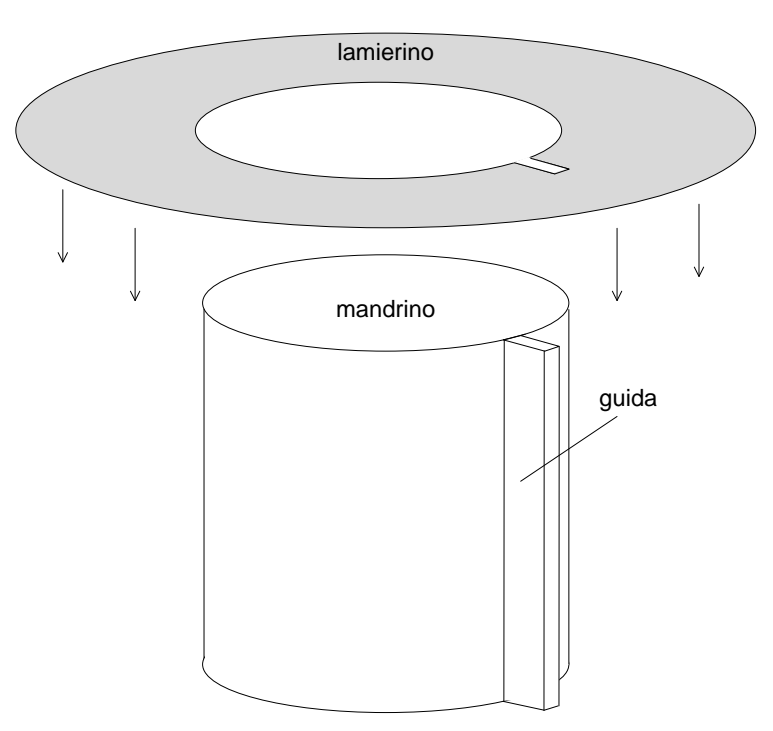
Analogamente, la punzonatura prevede di attrezzare la macchina operatrice (punzonatrice) con un punzone che riproduce la forma della cava o del foro da praticare nel lamierino.



La realizzazione di un nuovo punzone o di un nuovo stampo incide in modo importante sul costo di produzione, specie se si tratta di produrre poche macchine. Pertanto, dove possibile, il progettista è indotto ad usare forme (di cava, di statore, di rotore, ecc.) già usate per macchine precedenti e per le quali si dispone quindi già degli stampi e punzoni necessari.

Una volta tranciati e punzonati, i lamierini vengono <u>impilati</u> per formare il pacco laminato. Tale operazione prende il nome di <u>impaccaggio</u> e fa uso di particolari <u>mandrini</u> che consentono il posizionamento corretto dei lamierini.



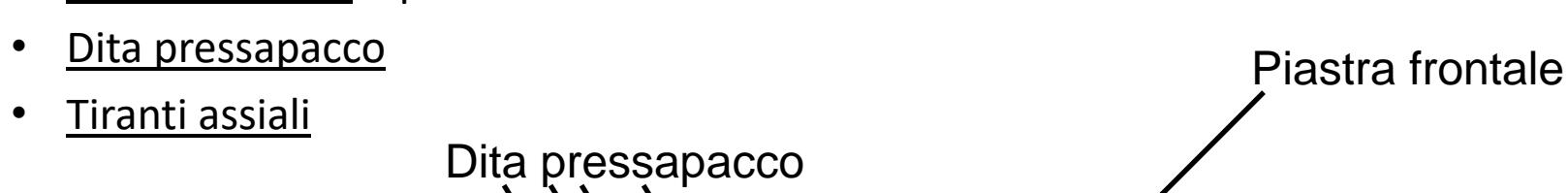




E' fondamentale che l'impaccaggio avvenga allineando esattamente le cave in modo che le pareti di queste non abbiano irregolarità. Si usano allo scopo guide posizionate assialmente sui mandrini. L'uso di guide inclinate consente la realizzazione di pacchi a cave inclinate.

Il consolidamento del pacco avviene di solito mediante strutture in acciaio amagnetico, quali:

• <u>Piastre frontali</u> di pressione

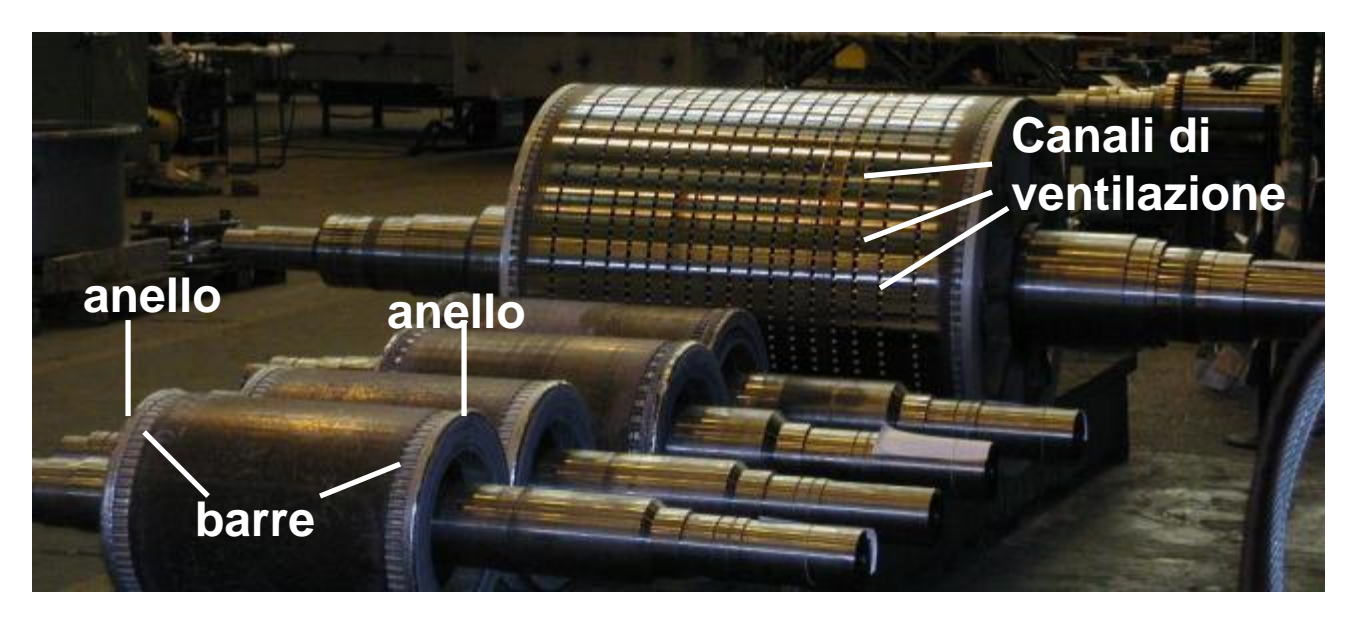


Saldatura piastra-tirante

Canali — radiali di ventilazione



. tirante



Nei pacchi rotorici di macchine asincrone è la stessa gabbia che può fare da struttura di consolidamento, cioè gli anelli fungono da piastre di pressione frontali e le barre da tiranti.

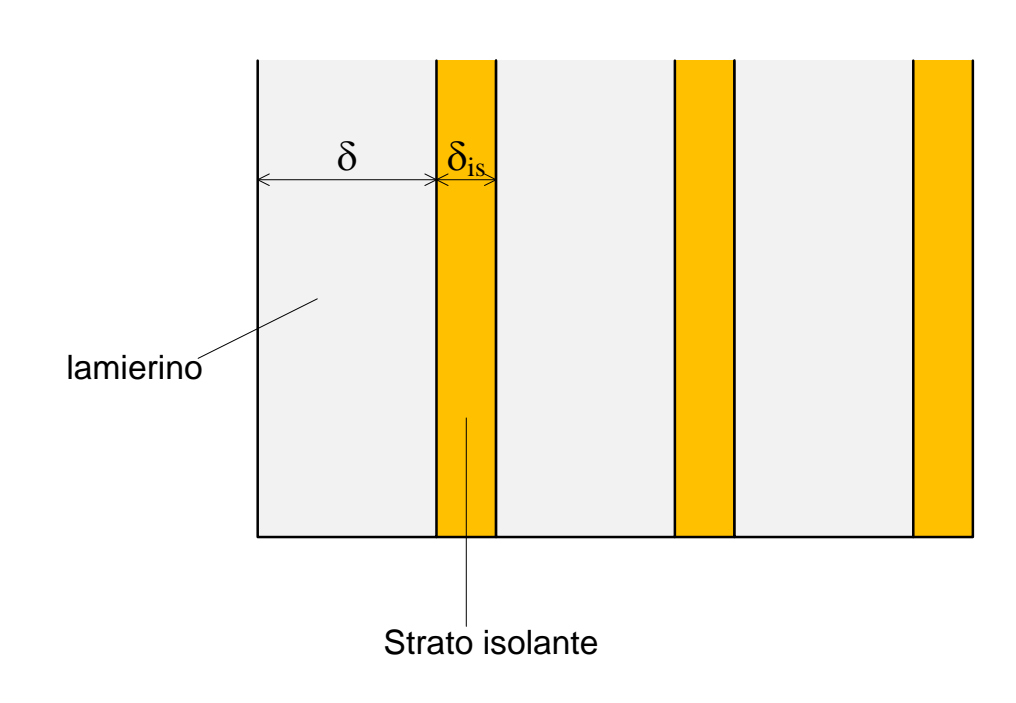


Il pacco laminato di statori e rotori può essere suddiviso in pacchetti elementari separati da zone d'aria che servono come <u>canali radiali</u> di ventilazione, cioè consentono all'aria di raffreddamento di fluire in senso radiale dal centro della macchina verso la periferia dello statore.

I pacchetti sono separati da profilati ad "I" disposti radialmente e usati come distanziatori.

Spessori di lamierino, densità e coefficienti di stipamento per pacchi laminati Fe-Si

Tipo di macchina	Spessore δ	Densità
Trasformatore	0.35 mm	7.55 g/dm ³
Generatore	0.35 ÷ 0.5 mm	$7.55 \div 7.70 \text{ g/dm}^3$
Motore asincrono	0.5 mm	7.70 g/dm ³
Macchina in c.c.	0.5 ÷ 1 mm	7.75 g/cm ³



$$k_{st} = \frac{\delta}{\delta + \delta_{is}}$$

Coefficiente di stipamento

Valori tipici:

$$k_{st} = 0.92 \div 0.96$$

Significa che solo il 92-96% della lunghezza del pacco è effettivamente utile al passaggio del flusso.

Perdite nei lamierini magnetici

La presenza di un <u>campo magnetico alternato siunsoidale</u> attraverso un pacco laminato determina perdite per due fenomeni:

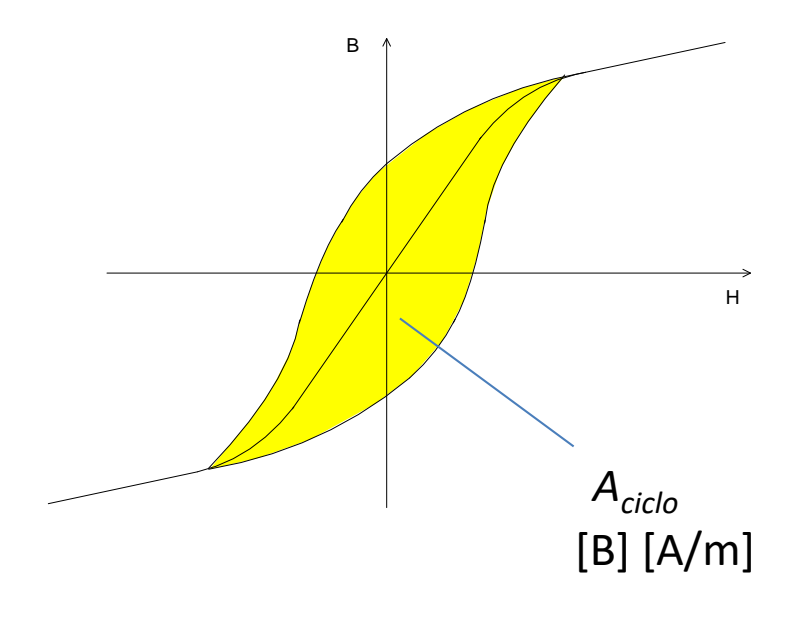
- 1) Isteresi magnetica
- 2) Correnti parassite



con:

- B_{max} induzione massima in T
- f frequenza in Hz

Perchè perdite «per isteresi»?



Si può dimostrare che:

$$P_{ist} / V_{fe} = A_{ciclo} f$$
 [W/m³]

Cioè la presenza di un ciclo di isteresi provoca perdite specifiche (per unità di volume) pari all'area del ciclo per la frequenza.

$$A_{ciclo} \propto B^y$$
 con

$$y \cong 2$$

da cui l'espressione delle perdite per isteresi.

Nell'ipotesi semplificativa

$$y = 2$$

$$p_{fe} = p_{fe,ist} + p_{fe,cp} = k_{ist} B_{\text{max}}^{2} f + k_{cp} B_{\text{max}}^{2} f^{2} =$$

$$= B_{\text{max}}^{2} \left(k_{ist} f + k_{cp} f^{2} \right)$$

Cioè le perdite specifiche per unità di massa sono proporzionali al quadrato dell'induzione.

Nella pratica si definisce a volta una cifra di perdita C_p [W/kg] come il valore delle perdite specifiche per

$$B_{\text{max}} = 1 \text{ T}$$
 $f = 50 \text{ Hz}$
 $C_p \triangleq 1^2 (k_{ist} 50 + k_{cp} 50^2) = k_{ist} 50 + k_{cp} 50^2$

cosicchè, se la macchina lavora a 50 Hz:

$$p_{fe} = B_{\text{max}}^2 C_p$$

In pratica le perdite reali in un pacco laminato sono maggiori di quelle «teoriche» a causa di imprefetto isolamento tra lamierini dovuto ai processi di lavorazione meccanica. Se ne tiene conto con un «coefficiente di lavorazione» maggiore di uno (di solito dell'ordine di 1.2):

$$p_{fe} = \left(k_{ist}B_{\text{max}}^{y}f + k_{cp}B_{\text{max}}^{2}f^{2}\right)k_{L}$$

Coefficiente di lavorazione da determinare empiricamente

Infatti, la presenza di «ponti conduttivi» tra un lamierino e l'altro (dovuti a difetti di lavorazione), offre alle correnti parassite percorsi a minore resistenza di quelli che si avrebbero nell'ipotesi di perfetto isolamento tra lamierini, dando origine ad un aumento delle perdite per correnti parassite.